

UNIVERSIDADE ESTADUAL DE CAMPINAS

INSTITUTO DE QUÍMICA

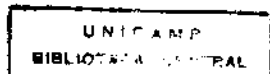


Estudo por Espectroscopia Vibracional dos  
Hidróxidos de Níquel e Magnésio e de  
Soluções Sólidas  $Mg_x Ni_{1-x} (OH)_2$ .

Ester Figueiredo de Oliveira

Tese de Doutorado

Março, 1995



|              |               |
|--------------|---------------|
| UNIDADE      | TG            |
| N.º CHAMADA: | T/UNICAMP     |
|              | OL4e          |
| DATA:        | 26/01/95      |
| PERÍODO:     | 14:30 / 15:15 |
| C            | D             |
| PREFD:       | R. P. LIMA    |
| DATA:        | 26/01/95      |
| N.º CPD:     | 0000795400    |

Oliveira, Ester Figueiredo de

Estudo por espectroscopia vibracional do hidroxídos de níquel e magnesio e de soluções sol  
T/UNICAMP/OL4e

(26010/95)

A minha família, em especial a  
minha querida filha Natália.  
Dedico o esforço do meu trabalho.

### Agradecimentos

Gostaria de Expressar meu agradecimento a várias pessoas que me deram sua ajuda, contribuindo de alguma forma para que este trabalho se realizasse. Seria impossível mencionar a todas. Entretanto, estou especialmente grata:

- Ao Prof. Dr. Yoshiyuki Hase pela orientação e pelas valiosas discussões em torno de questões fundamentais de espectroscopia vibracional.
- Aos Profs. Drs. Oswaldo Sala e Márcia A. Temperini, pela obtenção dos espectros Raman
- Aos Profs. Drs. Yuji Takahata, Rogério Custódio e Yoshiyuki Hase, meus professores neste instituto, pela contribuição na minha formação.
- Edgard Moreira Ganzarolli, pela valiosa contribuição em serviços de laboratório.
- Aos funcionários da Biblioteca do Instituto de Química, pelo apoio na parte bibliográfica.
- Aos meus amigos do Instituto de Química que muito contribuiram com sugestões e incentivo.
- Ao CNPq e UNICAMP, pelas bolsas de estudos concedidas e auxílios financeiros a este projeto.

## RESUMO

Visando um entendimento dos dados observados nos espectros no infravermelho de soluções sólidas, foram aplicados métodos de análise vibracional aos  $Mg(OH)_2$  e  $Ni(OH)_2$  e investigado o comportamento espectral no infravermelho das soluções sólidas  $Mg_xNi_{1-x}(OH)_2$ .

Os compostos  $Mg(OH)_2$ ,  $Mg(OD)_2$ ,  $Mg(OH,D)_2$ ,  $Ni(OH)_2$ ,  $Ni(OH,D)_2$ ,  $Co(OH)_2$ , bem como dez soluções sólidas  $Mg_xNi_{1-x}(OH)_2$ , foram sintetizados e medidos seus espectros no infravermelho e os espectros Raman do  $Ni(OH)_2$ ,  $Mg(OH)_2$ ,  $Co(OH)_2$  e  $Mg(OD)_2$ , todos de amostras policristalinas.

Os dados espectrais observados dos  $Ni(OH)_2$  e  $Mg(OH)_2$  foram discutidos através da análise de grupo de fator, regras isotópicas H/D para o estado sólido, bem como, a análise de coordenadas normais, considerando a aproximação do oscilador harmônico. O espectro no infravermelho do  $Mg(OH,D)_2$  foi utilizado para investigar o deslocamento da vibração interna no campo de força cristalino. O efeito isotópico H/D foi muito importante para discutir o acoplamento dos modos translacionais e rotacionais da espécie  $E_g$ . Os resultados da análise de coordenadas normais mostram que, os números de onda calculados com correção da anarmonicidade concordam melhor com os fundamentais observados do que sem a correção, a interação entre os sítios O-H é efetiva e que o íon metálico não contribui para o modo vibracional interno.

O comportamento espectral dos  $Mg_xNi_{1-x}(OH)_2$  foi discutidos baseando-se na análise vibracional dos hidróxidos puros. Os resultados mostram para todas as bandas observadas uma relação linear da variação do número de onda com o teor de Mg.

## ABSTRACT

In order to understand the observed infrared spectra data on solid solutions, it was applied the vibrational analysis methods for the  $Mg(OH)_2$  and  $Ni(OH)_2$ , and investigate the infrared spectra behaviour of the  $Mg_xNi_{1-x}(OH)_2$ .

The following samples were prepared  $Mg(OH)_2$ ,  $Ni(OH)_2$ ,  $Mg(OH,D)_2$ ,  $Mg(OD)_2$ ,  $Ni(OH,D)_2$  and  $Co(OH)_2$  and ten solid solutions  $Mg_xNi_{1-x}(OH)_2$ , in the interval  $0.00 < x < 1.00$ . and infrared spectra were recorded and their Raman spectra for the  $Mg(OH)_2$ ,  $Ni(OH)_2$ ,  $Mg(OD)_2$  and  $Co(OH)_2$ , for all sample polycrystalline.

The observed data have been discussed based on factor group analysis, isotopic rules H/D for solid state and normal coordinate analysis, done under the harmonic oscillator approximation. The infrared spectrum of the  $Mg(OH,D)_2$  was used to investigate the internal vibration shift due crystal force field. The H/D isotope effect was very important to discuss the coupling between species E<sub>g</sub> rotational lattice modes and translational ones. Results of the normal coordinate analysis show that, the calculated wavenumber with correction of the anharmonicity are closer to the observed fundamentals outcomes than those without corrections and the interaction among the O-H site is effective and also that the metallic ion do not contribute to internal vibrational mode.

The observed spectral data from  $Mg_xNi_{1-x}(OH)_2$  compounds was discussed based on vibrational analysis results of the magnesium and nickel hydroxide. The results show that all the bands present a linear relationship between the wavenumber with the magnesium content.

## INDICE GERAL

|   |    |
|---|----|
| CAPÍTULO I - INTRODUÇÃO .....   | 1  |
| 1.1 - Considerações Prévias .....   | 1  |
| 1.2 - Objetivos .....   | 2  |
| <br>  |    |
| CAPÍTULO II - PARTE EXPERIMENTAL .....  | 4  |
| 2.1 - Introdução .....  | 4  |
| 2.2 - Reagentes e Solventes .....   | 6  |
| 2.3 - Métodos de Preparação .....   | 6  |
| 2.4 - Espectros no Infravermelho .....  | 8  |
| 2.5 - Espectros Raman .....   | 9  |
| <br>  |    |
| CAPÍTULO III - ANÁLISE VIBRACIONAL DOS HIDRÓXIDOS DE<br>NIQUEL E DE MAGNESIO .....                              | 10 |
| 3.1 - Revisão dos Trabalhos Correlatos .....  | 10 |
| 3.2 - Considerações Gerais de Análise<br>dos Modos Vibracional .....  | 19 |
| 3.2.1 - Estrutura Cristalina .....  | 20 |
| 3.2.2 - Análise de Grupo de Fator .....   | 20 |
| 3.2.3 - Atribuição de bandas .....  | 23 |
| 3.2.4 - Análise de Coordenadas Normais .....  | 27 |
| 3.3 - Resultados e Discussão .....  | 33 |
| <br>  |    |
| CAPÍTULO IV - COMPORTAMENTO DOS ESPECTROS NO INFRAVERMELHO DAS<br>SOLUÇÕES SÓLIDAS $Mg_x Ni_{1-x} (OH)_2$ ..... | 86 |
| 4.1 - Considerações Gerais .....  | 86 |

|  |     |
|--|-----|
| 4.2 - Resultados e Discussão .....                       | 89  |
| CAPÍTULO V - CONCLUSÃO E PERSPECTIVAS .....              | 108 |
| BIBLIOGRAFIA .....                                       | 111 |
| APÊNDICE - PARTICIPAÇÃO EM CONGRESSOS E PUBLICAÇÕES .... | 117 |

## INDICE DE FIGURAS

|   |    |
|---|----|
| Figura 1 - Estrutura Cristalina dos $M(OH)_2$ .....   | 21 |
| Figura 2 - Estrutura Cristalina do $M(OH)_2$ projetada<br>ao longo do eixo-c .....            | 22 |
| Figura 3 - Enumeração dos Átomos .....  | 30 |
| Figura 4 - Espectro no infravermelho ( $4000 - 3280 \text{ cm}^{-1}$ )<br>do $Mg(OH)_2$ ..... | 40 |
| Figura 5 - Espectro no infravermelho ( $4000 - 3280 \text{ cm}^{-1}$ )<br>do $Ni(OH)_2$ ..... | 41 |
| Figura 6 - Espectro no infravermelho ( $4000 - 3280 \text{ cm}^{-1}$ )<br>do $Co(OH)_2$ ..... | 42 |
| Figura 7 - Espectro no infravermelho ( $4000 - 2350 \text{ cm}^{-1}$ )<br>do $Mg(OH)_2$ ..... | 43 |
| Figura 8 - Espectro no infravermelho ( $690 - 200 \text{ cm}^{-1}$ )<br>do $Mg(OH)_2$ .....   | 44 |
| Figura 9 - Espectro no infravermelho ( $700 - 200 \text{ cm}^{-1}$ )<br>do $Ni(OH)_2$ .....   | 45 |
| Figura 10 - Espectro no infravermelho ( $710 - 200 \text{ cm}^{-1}$ )<br>do $Co(OH)_2$ .....  | 46 |
| Figura 11 - Espectro no infravermelho ( $690 - 200 \text{ cm}^{-1}$ )<br>do $Mg(OH)_2$ .....  | 47 |

|  |  |    |
|--|--|----|
| <b>Figura 12 - Deconvolução das bandas experimentais do</b>                              |  |    |
| <b>Mg(OH)<sub>2</sub> (690 - 262 cm<sup>-1</sup>) .....</b>                              |  | 50 |
| <b>Figura 13 - Deconvolução das bandas experimentais do</b>                              |  |    |
| <b>Ni(OH)<sub>2</sub> (700 - 297 cm<sup>-1</sup>) .....</b>                              |  | 51 |
| <b>Figura 14 - Deconvolução das bandas experimentais do</b>                              |  |    |
| <b>Mg(OD)<sub>2</sub> (690 - 243 cm<sup>-1</sup>) .....</b>                              |  | 52 |
| <b>Figura 15 - Espectro Raman (4000 - 500 cm<sup>-1</sup>) do Mg(OD)<sub>2</sub> ..</b>  |  | 56 |
| <b>Figura 16 - Espectro Raman (4000 - 3420 cm<sup>-1</sup>) do Ni(OH)<sub>2</sub> ..</b> |  | 57 |
| <b>Figura 17 - Espectro Raman (700 - 140 cm<sup>-1</sup>) do Ni(OH)<sub>2</sub> ...</b>  |  | 58 |
| <b>Figura 18 - Espectro no infravermelho (3960 - 2430 cm<sup>-1</sup>)</b>               |  |    |
| <b>do Mg(OH,D)<sub>2</sub> .....</b>   |  | 63 |
| <b>Figura 19 - Espectro no infravermelho do Mg(OH,D)<sub>2</sub> comparado</b>           |  |    |
| <b>com o Mg(OH)<sub>2</sub> (3960 - 3390 cm<sup>-1</sup>) e</b>                          |  |    |
| <b>com o Mg(OD)<sub>2</sub> (2810 - 2480 cm<sup>-1</sup>) .....</b>                      |  | 64 |
| <b>Figura 20 - Espectro no infravermelho (4000 - 3300 cm<sup>-1</sup>)</b>               |  |    |
| <b>do Ni(OH,D)<sub>2</sub> comparado com o Ni(OH)<sub>2</sub> .....</b>                  |  | 65 |
| <b>Figura 21 - Espectro no infravermelho (4000 - 800 cm<sup>-1</sup>)</b>                |  |    |
| <b>do Ni(OH,D)<sub>2</sub> .....</b>   |  | 66 |
| <b>Figura 22 - Correlações do número de onda do</b>                                      |  |    |
| <b>estiramento O-H com d(M-O) e h<sub>inter</sub></b>                                    |  |    |
| <b>descrito por Brindley e Kao (Ref. 67) .....</b>                                       |  | 68 |
| <b>Figura 23 - Distâncias O..O nos M(OH)<sub>2</sub> .....</b>                           |  | 69 |
| <b>Figura 24 - Variação dos números de onda dos</b>                                      |  |    |
| <b>estiramentos O-H em função da</b>   |  |    |

|  |            |
|--|------------|
| distância O...O ( d <sub>4</sub> ) .....   | 71         |
| <b>Figura 25 - Variação do número de onda do estiramento O-H e O-D nos Mg(OH)<sub>2</sub>, Mg(DH)<sub>2</sub> e Mg(OH.D)<sub>2</sub> em função da Constante de Interação k<sub>7</sub> .....</b>                           | <b>84</b>  |
| <b>Figura 26 - Vibração do Estiramento O-H de Talcos Sintéticos MgNi (Ref. 103) .....</b>  | <b>87</b>  |
| <b>Figura 27 - Espectro no infravermelho do Ni<sub>x</sub>Zn<sub>1-x</sub>(OH)<sub>2</sub> ...</b>   | <b>88</b>  |
| <b>Figura 28 - Espectros no infravermelho (4000 - 400 cm<sup>-1</sup>) dos: Mg(OH)<sub>2</sub> + Ni(OH)<sub>2</sub>, Mg<sub>0,60</sub>Ni<sub>0,40</sub>(OH)<sub>2</sub>, Mg(OH)<sub>2</sub> e Ni(OH)<sub>2</sub> .....</b> | <b>91</b>  |
| <b>Figura 29 - Espectro no infravermelho de uma mistura de Mg(OH)<sub>2</sub> + Ni(OH)<sub>2</sub> (3800 - 3465 cm<sup>-1</sup>) e (500 - 260 cm<sup>-1</sup>) comparado com os hidróxidos puros .....</b>                 | <b>92</b>  |
| <b>Figura 30 - Espectro no infravermelho do Mg<sub>0,13</sub>Ni<sub>0,87</sub>(OH)<sub>2</sub> (3800 - 3390 cm<sup>-1</sup>) comparado com os hidróxidos puros .....</b>   | <b>93</b>  |
| <b>Figura 31 - Gráfico da variação do número de onda do estiramento O-H (3700 - 3620) dos Mg<sub>x</sub>Ni<sub>1-x</sub>(OH)<sub>2</sub> em função do teor de Mg (x) .....</b>   | <b>96</b>  |
| <b>Figura 32 - Espectro no infravermelho (700 - 250 cm<sup>-1</sup>) do Mg<sub>0,99</sub>Ni<sub>0,01</sub>(OH)<sub>2</sub> .....</b>   | <b>99</b>  |
| <b>Figura 33 - Espectro no infravermelho (690 - 200 cm<sup>-1</sup>) do Mg<sub>0,51</sub>Ni<sub>0,49</sub>(OH)<sub>2</sub> .....</b>   | <b>100</b> |
| <b>Figura 34 - Espectro no infravermelho (700 - 250 cm<sup>-1</sup>) do Mg<sub>0,19</sub>Ni<sub>0,87</sub>(OH)<sub>2</sub> .....</b>   | <b>101</b> |

|  |     |
|--|-----|
| <b>Figura 35 - Espectro no infravermelho (710 - 290 cm<sup>-1</sup>)</b>   |     |
| do $Mg_{0,51}Ni_{0,49}(OH)_2$ comparado com os hidróxidos puros .....  | 102 |
| <b>Figura 36 - Espectro no infravermelho (710 - 290 cm<sup>-1</sup>)</b>   |     |
| do $Mg_{0,19}Ni_{0,87}(OH)_2$ na comparado com os hidróxidos puros .....   | 103 |
| <b>Figura 37 - Gráfico da variação do número de onda (570 - 440 cm<sup>-1</sup>) da vibração externa (<math>A_{zu}</math>) dos <math>Mg_xNi_{1-x}(OH)_2</math> em função do teor de Mg (x) .....</b> | 104 |
| <b>Figura 38 - Gráfico da variação do número de onda (600 - 300 cm<sup>-1</sup>) das vibrações externas (<math>E_u</math>) dos <math>Mg_xNi_{1-x}(OH)_2</math> em função do teor de Mg (x) .....</b> | 106 |
| <b>Figura 39 - Espectro no infravermelho (4000 - 2960 cm<sup>-1</sup>)</b>   |     |
| do estiramento O-H de duas soluções sólidas $Mg_{0,36}Ni_{0,64}(OH)_2$ e duas $Mg_{0,19}Ni_{0,87}(OH)_2$ mostrando a reprodutibilidade dos dados .....   | 107 |

## INDICE DE TABELAS

|   |    |
|---|----|
| Tabela 1 - Resultados da Análise Gravimétrica dos<br>$Mg_x Ni_{1-x} (OH)_2$ .....   | 5  |
| Tabela 2 - Resumo dos Dados Espectrais Vibracionais<br>de Rede dos $M(OH)_2$ M = Mg, Ni e Co<br>Descritos na Literatura .....                           | 16 |
| Tabela 3 - Resultado da Análise de Grupo de Fator<br>dos $M(OH)_2$ .....  | 24 |
| Tabela 4 - Efeito Isotópicos H/D e Descrição Aproximada<br>dos Movimentos de Vibração Puros, Não Acoplados<br>e Acoplados dos $M(OH)_2 / M(OD)_2$ ..... | 26 |
| Tabela 5 - Coordenadas Cartesianas Simetrizadas .....   | 29 |
| Tabela 6 - Definição das Coordenadas Internas .....   | 31 |
| Tabela 7 - Definição das Constantes de Força .....  | 34 |
| Tabela 8 - Elementos das Matrizes $G_{op}^{cs}$ e $F_{op}^{cs}$ .....   | 36 |
| Tabela 9 - Resultado Final da Deconvolução das<br>Bandas Experimentais dos<br>$Mg(OH)_2$ , $Mg(OD)_2$ e $Ni(OH)_2$ .....                                | 54 |
| Tabela 10 - Dados Espectrais Observados nos $Mg(OH)_2$ , $Mg(OD)_2$ ,<br>$Mg(OH,D)_2$ , $Ni(OH)_2$ , $Ni(OH,D)_2$ e $Co(OH)_2$ .....                    | 59 |
| Tabela 11 - Razões Isotópicas H/D Experimentais<br>$Mg(OH)_2 / Mg(OD)_2$ .....  | 60 |

|  |           |
|--|-----------|
| <b>Tabela 12 - Dados Espectrais e Cristalográficos<br/>dos <math>M(OH)_2</math></b> .....  | <b>70</b> |
| <b>Tabela 13 - Números de Onda (<math>\text{cm}^{-1}</math>) Calculados<br/>e Observados</b> .....   | <b>78</b> |
| <b>Tabela 14 - Valores das Constantes de Força (<math>\text{md}/\text{\AA}^2</math>)</b> .....   | <b>79</b> |
| <b>Tabela 15 - Elementos da Matriz <math>L_{cs}^{-1}</math> dos<br/><math>Mg(OH)_2</math> e <math>Ni(OH)_2</math></b> .....  | <b>80</b> |
| <b>Tabela 16 - Distribuição da Matriz Energia Potencial<br/>para Constantes de Força <math>Mg(OH)_2</math> e <math>Ni(OH)_2</math></b> ...   | <b>81</b> |
| <b>Tabela 17 - Números de Onda Calculados: <math>Mg(OH)_2</math> com <math>\mu_{Mg}</math><br/>e <math>\mu_{Ni}</math>, <math>Ni(OH)_2</math> com <math>\mu_{Mg}</math> e <math>\mu_{Ni}</math></b> .....                    | <b>83</b> |
| <b>Tabela 18 - Números de Onda e Intensidades Relativas dos<br/><math>Mg_x Ni_{1-x}(OH)_2</math> a <math>0,00 \leq x \leq 1,00</math> e de uma<br/>mistura mecânica: <math>Mg(OH)_2</math> e <math>Ni(OH)_2</math></b> ..... | <b>90</b> |
| <b>Tabela 19 - Parâmetros Estruturais do<br/><math>Co_x Ni_{1-x}(OH)_2</math> (Ref. 18)</b> .....  | <b>95</b> |
| <b>Tabela 20 - Distâncias entre dois oxigênios entre<br/>camadas (<math>d_4(0..0)</math>) nos <math>Mg_x Ni_{1-x}(OH)_2</math></b> .....   | <b>97</b> |

## - CAPÍTULO I -

### INTRODUÇÃO

#### 1.1 - Considerações Prévias

A espectroscopia vibracional tem sido reconhecida como uma metodologia importante na obtenção de informações relativa à natureza das ligações químicas, à simetria e outras propriedades de interesse químico. No decorrer dos anos, esta metodologia tem apresentado notáveis progressos, tanto a nível instrumental, como nos conceitos teóricos.

A nível instrumental, o progresso de maior destaque nos últimos anos, foi o desenvolvimento tecnológico dos espectrômetros de infravermelho que utilizam os princípios interferométricos ocorrido a partir da década de setenta. Este desenvolvimento deve-se à facilidade de uso de computadores, juntamente com a descoberta de um novo algoritmo de transformada de Fourier rápida (FFT), desenvolvido por dois matemáticos, Cooley e Tukey em 1965 [1], que aumentou consideravelmente a velocidade computacional.

Os equipamentos com transformada de Fourier possuem duas vantagens básicas em relação aos instrumentos dispersivos: a vantagem de Fellgett ou multiplexação e a de Jacquinot ou totalidade de energia aproveitada. Fellgett [2] chamou atenção para o fato de que os instrumentos dispersivos examinam um elemento de resolução no tempo em que o espectro é varrido, enquanto que o interferômetro vê todos os comprimentos de onda presentes, durante todo o tempo de varredura, portanto, a razão sinal/ruído é grande. Outra vantagem foi indicada por Jacquinot [3], ou seja, nos aparelhos interferométricos não temos a presença de fendas, o aumento da razão sinal/ruído (s/r) se verifica quando é observado

um grande número de elementos de resolução (acumulação de espectros). Se um certo tempo é gasto coletando dados espectrais, o interferograma gera uma melhor razão sinal/ruído que os instrumentos dispersivos.

A nível dos conceitos teóricos, as aplicações de teoria de grupo e análise de coordenadas normais, desenvolvimento de campo de força e o uso de teoria de orbitais moleculares e mecânica molecular, permitiram utilizar a espectroscopia vibracional não apenas como uma ferramenta analítica ou de uma forma puramente empírica, mas através de um formalismo matemático. Entre os métodos teóricos citados, a análise de coordenadas normais, realizada inicialmente por Dennison [4] e posteriormente por Wilson e colaboradores [5], tem forte contribuição na aplicação da espectroscopia vibracional na química.

Embora muitos problemas fundamentais na análise dos dados espectrais tenham sido resolvidos e muitos compostos estudados em termos de vibrações moleculares, observa-se claramente que, em quase todos os sistemas, mesmos simples, depara-se com algum tipo de problema, às vezes incontornáveis, necessitando de suposições ou aproximações. Por outro lado, a variedade de estudos de sistemas vibracionais, realizados no decorrer dos anos, mostra uma tendência na melhoria de dados. Observa-se também que mesmo com o vasto número de estudos já realizados, existem sistemas cuja análise vibracional detalhada ainda não foi realizada.

## 1.2 - Objetivos

O presente estudo consiste nos passos iniciais de um estudo mais detalhado a ser conduzido por este grupo visando um entendimento dos dados observados nos espectros no infravermelho de soluções sólidas.

Considerando alguns aspectos da estrutura cristalina dos isomorfos  $M(OH)_2$  ( $M = Ca, Cd, Co, Mg, Ni, etc.$ ), as soluções sólidas  $M_x^{II}M'_{1-x}^{II}(OH)_2$ , em particular  $Mg_xNi_{1-x}(OH)_2$ , foram

escolhidas como o primeiro sistema de investigação, pelo fato desses dois hidróxidos formarem soluções sólidas homogêneas em qualquer proporção. Os espectros vibracionais dos  $Mg_xNi_{1-x}(OH)_2$ , apresentam um comportamento interessante do ponto de vista de espectroquímica vibracional, devido a possibilidade de modificação de simetria local dos sitios e nas magnitudes do campo de força, embora a difração de raios-X de pó mostrou que a simetria e o sistema cristalino não foram alterados.

Tendo em vista, que a análise vibracional dos hidróxidos puros, é o passo inicial e necessário para o entendimento dos dados experimentais observados nos espectros no infravermelho dos compostos  $Mg_xNi_{1-x}(OH)_2$ ; neste trabalho, portanto, objetivamos primeiro a análise vibracional dos  $M(OH)_2$ , segundo a investigação do comportamento espectral no infravermelho dos  $Mg_xNi_{1-x}(OH)_2$ . A fim de atingir o primeiro objetivo, foram sintetizados os  $Mg(OH)_2$  e  $Ni(OH)_2$ , para auxiliar neste estudo também foram sintetizados os  $Co(OH)_2$ ,  $Mg(OD)_2$ ,  $Mg(OH,D)_2$  e  $Ni(OH,D)_2$ . Foram medidos os espectros no infravermelho de todos os compostos, os espectros Raman dos  $Mg(OH)_2$ ,  $Ni(OH)_2$ ,  $Mg(OD)_2$  e  $Co(OH)_2$  e realizada a análise de grupo de fator, a atribuição das bandas partindo das regras isotópicas H/D para o estado sólido e a análise de coordenadas normais dos  $Mg(OH)_2$  e  $Ni(OH)_2$ . A fim de atingir o segundo objetivo, foram sintetizadas 10 soluções sólidas  $Mg_xNi_{1-x}(OH)_2$ , abrangendo o intervalo de composição  $0,00 \leq x \leq 1,00$ , os espectros no infravermelho foram medidos. Os resultados obtidos foram comparados e discutidos utilizando os dos hidróxidos puros.

Com a análise vibracional dos hidróxidos puros e a investigação dos espectros no infravermelho dos  $Mg_xNi_{1-x}(OH)_2$ , esperamos realizar as etapas primordiais e necessárias para o desenvolvimento de uma metodologia de análise vibracional para soluções sólidas.

- CAPÍTULO II -

PARTE EXPERIMENTAL

2.1 - *Introdução*

Os hidróxidos metálicos bivalentes são compostos difíceis de se obter com alto grau de pureza, bem como sob a forma cristalina hexagonal:  $Mg(OH)_2$ ,  $\alpha\text{-Ni(OH)}_2$  e  $\beta\text{-Co(OH)}_2$ , sendo esta a forma que nos interessa. Devido à complexidade na obtenção desses compostos muitos métodos de preparação e descrições de problemas de sínteses podem ser encontrados na literatura [6-16]. Visando obtê-los na forma cristalina hexagonal e com grau de pureza do ponto de vista de espectroscopia, realizamos um estudo detalhado dos métodos de preparação e das dificuldades de sínteses anteriormente descritos. Os métodos de preparação dos  $Mg(OH)_2$  e  $\alpha\text{-Ni(OH)}_2$ , aqui apresentados foram formulados baseando-se em várias descrições de sínteses encontrada na literatura. Estes métodos representam para cada composto as condições experimentais mais adequadas. Diversos fatores experimentais, tais como: natureza do sal metálico e do precipitante, concentração, velocidade de adição e agitação, tempo de reação e de envelhecimento e temperatura foram considerados. A literatura descreve muitos métodos de obtenção do  $\beta\text{-Co(OH)}_2$  [14-16]. Em geral inicialmente obtém-se a forma  $\alpha\text{-Co(OH)}_2$  (cor azul) que em repouso e sob banho de gelo se transforma na forma  $\beta\text{-Co(OH)}_2$  (cor rosa). Nesta tese formulamos um novo método onde a obtenção imediata da forma  $\beta\text{-Co(OH)}_2$  é a vantagem básica em relação aos descritos na literatura.

O uso de linha de vácuo, de técnicas de síntese e manipulação de compostos sensíveis ao ar nos permitiu controlar o processo de oxidação e evitar a adsorção do dióxido de carbono e

de água nos compostos que apresentaram estas tendências. A obtenção do  $Mg(OH)_2$ , bem como o manuseio e preparo das amostras deuteras para as medidas espectroscópicas foram realizadas em um "glove bag".

No que se refere ao processo de precipitação é bem estabelecido que os hidróxidos metálicos bivalentes, existem sob várias formas cristalinas. Os  $Mg(OH)_2$ ,  $\alpha-Ni(OH)_2$  e  $\beta-Co(OH)_2$  que cristalizam-se em um sistema hexagonal, são obtidas após um período de envelhecimento, o tempo necessário para completa formação descrito na literatura varia de 10 a 70 dias [9,10,14], no entanto, foi necessário deixar o precipitado em contato com a água e em repouso durante apenas 3 dias. O tempo necessário para o processo de formação da forma hexagonal foi acompanhado por espectroscopia no infravermelho e difratometria de raios-X de pó.

Os teores de Ni e Mg nos  $Mg_xNi_{1-x}(OH)_2$  foram obtidos pelo método gravimétrico, e representam médias decorrentes de três medidas, os resultados encontram-se na Tabela 1.

Tabela 1 - Resultados da Análise Gravimétrica dos  $Mg_xNi_{1-x}(OH)_2$

| Compostos                  | Média de x |
|----------------------------|------------|
| $Mg_{0,13}Ni_{0,87}(OH)_2$ | 0,13       |
| $Mg_{0,26}Ni_{0,74}(OH)_2$ | 0,26       |
| $Mg_{0,36}Ni_{0,64}(OH)_2$ | 0,36       |
| $Mg_{0,39}Ni_{0,61}(OH)_2$ | 0,39       |
| $Mg_{0,44}Ni_{0,56}(OH)_2$ | 0,44       |
| $Mg_{0,51}Ni_{0,49}(OH)_2$ | 0,51       |
| $Mg_{0,60}Ni_{0,40}(OH)_2$ | 0,60       |
| $Mg_{0,69}Ni_{0,32}(OH)_2$ | 0,63       |
| $Mg_{0,82}Ni_{0,18}(OH)_2$ | 0,82       |
| $Mg_{0,88}Ni_{0,12}(OH)_2$ | 0,88       |

## 2.2 - Reagentes e Solventes

| Reagentes                   | Procedência | Grau de Pureza       |
|-----------------------------|-------------|----------------------|
| $\text{Ni}(\text{NO}_3)_2$  | Merck       | PA                   |
| $\text{NiCl}_2$             | Aldrich     | PA                   |
| $\text{Mg}(\text{ClO}_4)_2$ | Merck       | PA                   |
| $\text{Co}(\text{NO}_3)_2$  | Merck       | PA                   |
| $\text{NH}_4\text{OH}$      | Merck       | PA 25%               |
| $\text{Mg}_3\text{N}_2$     | Kishida     | 1º Grau              |
| $\text{D}_2\text{O}$        | Aldrich     | 99,9 % de átomo de D |

Todos os reagentes citados foram utilizados sem prévia purificação. O solvente utilizado, a água foi destilada e desionizada, e a seguir foi borbulhado nitrogênio durante 15 minutos.

## 2.3 - Métodos de Preparação

### - $\alpha\text{-Ni(OH)}_2$

O composto foi preparado baseando-se em técnicas descritas na literatura [9,10,12,14]. Foram adicionados muito lentamente 1,0 M de  $\text{NH}_4\text{OH}$  (250 ml) sobre uma solução 0,15 M (250 ml) de  $\text{Ni}(\text{NO}_3)_2$  (ou  $\text{NiCl}_2$ ) sob agitação lenta e constante e a uma temperatura de 40-50 °C. A cada gota adicionada um precipitado verde era formado. O sistema reacional permaneceu sob agitação durante cinco horas e posteriormente três dias em repouso. Após permanecer em repouso, o precipitado formado foi lavado com água e seco em estufa a 120 °C.

-  $Mg(OH)_2$

O preparo do  $Mg(OH)_2$  foi realizado empregando 0,15 M (250 ml) de  $Mg(ClO_4)_2$  uma temperatura de 30 - 40 °C e mesmo procedimento descrito para o  $Ni(OH)_2$ . O tempo de envelhecimento foi de um dia, o precipitado formado é de cor branca. O método empregado também baseou-se em técnicas descritas na literatura [9,10,14].

-  $\beta-Co(OH)_2$

O composto foi preparado adicionando lentamente 0,15 M (250 ml) de  $Co(NO_3)_2$  sobre uma solução 1,0 M (250 ml) de  $NH_4OH$  sob agitação lenta e constante a uma temperatura de 25 °C. A cada gota adicionada o  $\beta-Co(OH)_2$  que é de cor rosa era imediatamente formado. O sistema reacional permaneceu sob agitação durante 1 hora e posteriormente o  $\beta-Co(OH)_2$  foi lavado com uma mistura de água-etanol (50% V/V) e água-acetona (50% V/V) e posteriormente seco em linha de vácuo à temperatura ambiente. Todas as etapas foram realizadas sob fluxo contínuo de nitrogênio.

-  $Mg(OD)_2$

O composto foi preparado pela adição lenta do  $D_2O$  sobre o  $Mg_3N_2$ . Todas as manipulações foram realizadas sob fluxo contínuo de nitrogênio. O  $Mg(OD)_2$  formado foi imediatamente seco em linha de vácuo e medido o seu espectro. Quando o  $Mg(OD)_2$  foi seco intencionalmente em um dessecador, obtivemos o  $Mg(OH,D)_2$ . O método de preparação empregado baseou-se em síntese descrita na literatura [17].

-  $\text{Ni}(\text{OH},\text{D})_2$

O  $\text{Ni}(\text{OH},\text{D})_2$  foi preparado misturando o  $\text{D}_2\text{O}$  e  $\text{Ni}(\text{OH})_2$  em um sistema fechado, que permaneceu sob agitação constante durante dois dias. O procedimento foi sucessivamente repetido e posteriormente o composto foi seco em linha de vácuo sob aquecimento e agitação constante. A percentagem de deuteração e pureza foi examinada através do seu espectro no infravermelho.

-  $\text{Mg}_x\text{Ni}_{1-x}(\text{OH})_2$

Os compostos foram preparados a partir de técnicas descritas na literatura [10,18-21]. A uma solução aquosa de 0,10 M de  $\text{Ni}(\text{NO}_3)_2$  (250 ml) foram misturados em 0,10 M (250 ml) de  $\text{Mg}(\text{ClO}_4)_2$ , esta mistura foi mantida sob agitação durante três horas em seguida foram adicionados lentamente 1,0 M de  $\text{NH}_4\text{OH}$  (250 ml). O sistema reacional permaneceu sob agitação a temperatura de 35-40 °C durante cinco horas. Posteriormente, o precipitado formado foi deixado em repouso por três dias. As sínteses foram realizadas empregando misturas estequiométricas de  $\text{Mg}(\text{ClO}_4)_2$  e  $\text{Ni}(\text{NO}_3)_2$  visando abranger o intervalo  $0,00 < x < 1,00$ .

#### 2.4 - Espectros no Infravermelho

Os espectros no infravermelho dos compostos obtidos sob a forma de pó, foram medidos utilizando um espectrofotômetro por transformada de Fourier Nicolet modelo 60SX-B. Este espectrofotômetro permite operar com vários parâmetros instrumentais, que foram escolhidos de forma a otimizar as medidas espectrais e obter os espectros abrangendo a região compreendida entre 4000 a 40  $\text{cm}^{-1}$ . Para obter os espectros, aplicamos a técnica de "mull" utilizando Nujol como dispersante. Todos os espectros foram obtidos empregando a função apodização Happ-Genzel e escolhendo em cada região espectral as seguintes condições:

|                 |                           |                          |                           |
|-----------------|---------------------------|--------------------------|---------------------------|
| Reg. Espectral: | 4000-400 $\text{cm}^{-1}$ | 500-150 $\text{cm}^{-1}$ | 200-40 $\text{cm}^{-1}$   |
| Janelas:        | KBr e CsI                 | CsI, Polietileno         | Polietileno               |
| Div. de Feixes: | KBr                       | Mylar 6 $\mu$            | Mylar 25 $\mu$ , 12 $\mu$ |
| Detektors:      | DTGS-KBr                  | DTGS-Polietileno         | DTGS-Polietileno          |
| Fonte:          | Globar                    | Globar                   | Globar                    |
| Res. Máxima:    | 1 $\text{cm}^{-1}$        | 2 $\text{cm}^{-1}$       | 4 $\text{cm}^{-1}$        |

## 2.5 - Espectros Raman

Os espectros Raman na região de 4000 a 150  $\text{cm}^{-1}$ , de amostras policristalinas de  $\text{Ni(OH)}_2$ ,  $\text{Mg(OH)}_2$ ,  $\text{Co(OH)}_2$  e  $\text{Mg(OD)}_2$  foram obtidos no Laboratório de Espectroscopia Molecular do Instituto de Química da Universidade de São Paulo (USP). Os espectros  $\text{Ni(OH)}_2$  e  $\text{Co(OH)}_2$  foram medidos utilizando um equipamento Renishaw, os dos  $\text{Mg(OH)}_2$  e  $\text{Mg(OD)}_2$  utilizando um equipamento Jarrell-Ash modelo 25-300.

## ANÁLISE VIBRACIONAL DOS HIDRÓXIDOS DE NIQUEL E MAGNÉSIO

### 3.1 - *Revisão dos Trabalhos Correlatos*

Há cerca de nove décadas que os espectros no infravermelho dos hidróxidos metálicos bivalentes são objeto de interesse de muitos investigadores. Nos trabalhos pioneiros de Coblenz, encontra-se um estudo realizado em 1905 [22], sobre água de constituição e de cristalização de uma série de compostos, dentre eles o  $Mg(OH)_2$ . O autor mostra neste estudo, um interesse especial pelo  $Mg(OH)_2$ , devido aos seus grupos O-H e como exemplo de compostos contendo água de constituição. Em seguida, estudos foram realizados por Plyler em 1926 [23], Randall e Nielson em 1928 [24], Ta em 1940 [25], Duval e Lecomte em 1941 e 1943 [26] e Louisfert em 1947 [27]. Nestes trabalhos as investigações foram efetuadas utilizando técnicas de absorção e/ou reflexão e/ou transmissão sob luz polarizada ou não, com minerais em forma de lâminas ou de pó, e limitaram-se à região compreendida entre 10.000 a 700  $\text{cm}^{-1}$ . Os hidróxidos estudados foram os de ocorrência natural mais abundante, ou seja: Brucita -  $Mg(OH)_2$  e Portlandita -  $Ca(OH)_2$ . Na maioria, os autores destacam o espectro "complexo" desses compostos, e discutem os dados espectrais procurando informações sobre a estrutura cristalina e interações do grupo O-H no ambiente cristalino. Ta [25], porém, interpretou através do grande número de isótopos de Mg existente com expressiva abundância na natureza.

A utilização da técnica de raios-X permitiu que Aminoff em 1919 e 1921 [28], determinasse pela primeira vez a estrutura cristalina do mineral brucita -  $Mg(OH)_2$ . Este autor mostrou que este composto pertence ao sistema hexagonal de grupo espacial  $D_{9d}^3$ . Em 1935 Bernal e Megaw [29], em uma análise da eficiência da ligação de hidrogênio através de parâmetros cristalográficos,

definiu a posição do grupo O-H neste cristal.

No decorrer da década de 50 e 60 intensificaram-se os estudos destes sistemas devido à complexidade do espectro no infravermelho, apesar da estrutura simples. Mara e Sutherland em 1953 [30], estudando o espectro no infravermelho do  $Mg(OH)_2$ , questionaram a sua estrutura cristalina propondo que a mesma fosse reinvestigada. No ano seguinte, Pech e Megaw [31] confirmaram a estrutura original. A posição do hidrogênio no cristal  $Mg(OH)_2$  foi confirmada pela técnica de ressonância magnética nuclear de prótons [32] e no  $Ca(OH)_2$  pela técnica de difração de neutrons [33].

Em 1956, Hexter e Dows [34] e, Mara e Sutherland [35], independentemente, interpretaram o grande número de bandas observadas na região de estiramento O-H como combinações entre os modos internos e externos. Desde então, muitos estudos foram realizados objetivando interpretar a natureza complexa de tais espectros, bem como, atribuir as bandas observadas na região próxima de  $3700\text{ cm}^{-1}$  [36-40]. Benesi em 1959 [38] observou pela primeira vez no espectro infravermelho do  $Mg(OH)_2$  a existência de apenas uma banda posicionada em  $3698\text{ cm}^{-1}$ . ao contrário das 16, observadas por Mara e Sutherland [30], o autor sugere a diferença no número de bandas observadas por ele e Mara e Sutherland [35] à espessura das amostras utilizadas nas medidas espectroscópicas.

Paralelamente aos trabalhos realizados na interpretação dos espectros dos hidróxidos de magnésio e cálcio, surgiram muitos trabalhos unidos aos estudos dos espectros vibracionais dos hidróxidos de metais alcalinos [41-46], pelo fato desses compostos também apresentarem estrutura simples e espectro de natureza complexa.

Dos trabalhos acima é interessante destacar o de Snyder e colaboradores [45], onde foi investigado o espectro vibracional do cristal KOH, através da constante de força de interação OH/OH, bem como, dos dados observados no espectro no infravermelho do cristal misto K(OH,D), foi concluído que a interação entre os íons O-H no KOH é fraca. Neste trabalho também foi investigado o espectro vibracional de cristais isotopicamente mistos de

hidróxidos de lítio, magnésio e cálcio , onde um relato breve, foi descrito que nesses cristais mistos não foram observados deslocamentos dos estiramentos O-H e O-D quando comparados com os seus respectivos hidróxidos não deuterados e deuterados.

Os estudos dos espectros vibracionais dos hidróxidos metálicos bivalentes na região de vibração externa estão fortemente vinculados ao interesse no entendimento do fenômeno de combinação entre os modos internos e externos. Na maioria dos trabalhos, os investigadores se empenharam em atribuir as bandas experimentalmente observadas nesta região, através do efeito isotópico H/D e/ou da análise dos espectros vibracionais utilizando luz polarizada e monocrystalis orientados. Dos trabalhos descritos, destacam-se Krishnamurthi [47], Cabannes-Ott [48], Mitra [49], Buchanan e colaboradores [17], Padanyi [50], Dawson e colaboradores [51-53].

Em 1959 Krishnamurti [47] apresentou o primeiro espectro Raman do  $Mg(OH)_2$  e  $Ca(OH)_2$  em pó. Utilizando como fonte de excitação a radiação ultravioleta de 253,63 nm de um arco de mercúrio, observou no espectro do  $Ca(OH)_2$ , quatro bandas em 3616, 359, 282, 247  $\text{cm}^{-1}$ . Já no espectro do  $Mg(OH)_2$  a opacidade do composto, segundo o autor, permitiu a observação de apenas uma banda em 3651  $\text{cm}^{-1}$ . Neste trabalho, também realizou-se a análise de grupo de fator dos  $M(OH)_2$  ( $D_{ad}$ ) através do método de Bhagavantam e Venkatarayudu [54-55]. discutiu-se correlações entre o numero de onda do estiramento O-H de vários hidróxidos sólidos com a distâncias entre os átomos na rede cristalina, e empenhou-se em interpretar o grande numero de bandas na região de vibração interna, observadas por Mara e Sutherland [30], como combinação entre os modos internos e externos.

Em 1960, Cabannes-Ott [48] estudou o espectro no infravermelho na região de 4000 a 300  $\text{cm}^{-1}$  dos hidróxidos de Ca, Cd, Mg e Ni, e de seus compostos parcialmente deuterados em forma de pó. O efeito isotópico H/D foi observado em poucas bandas, este fato juntamente com a complexidade do espectro, concluiu que, para estes hidróxidos, o deslocamento isotópico H/D não é eficaz na atribuição das bandas de vibração externa. Por analogia entre as bandas correspondentes dos hidróxidos

estudados atribuiu algumas das bandas observadas. A autora adverte para o fato de que na região de vibração interna foram observadas somente as bandas mais intensas, não confirmando o grande número de bandas descritas por Mara e Sutherland [30], e tenta atribuí-las novamente como combinação entre os modos internos e externos.

Em 1962, Mitra [49], voltou a discutir o espectro infravermelho e Raman do cristal de  $Mg(OH)_2$  de ocorrência natural. Utilizando as técnicas de absorção, reflexão e transmissão sob luz polarizada empenhou em atribuir os modos vibracionais internos e externos. O autor também adverte para o espectro "complexo" e devido ao grande número de bandas observadas no espectro de transmissão polarizado na região de  $5000 - 2650\text{ cm}^{-1}$ , considera difícil a atribuição da vibração interna. Entretanto, no espectro de reflexão observou apenas uma banda de intensidade forte posicionada em  $3700\text{ cm}^{-1}$ . A polarização desta banda paralela ao eixo-c, assegurou sua atribuição ao modo interno da espécie  $A_{2u}$ . Esta atribuição confirmou as observações do espectro de absorção do  $Mg(OH)_2$  na forma de pó. No espectro infravermelho de reflexão polarizado na região compreendida entre  $1000$  e  $400\text{ cm}^{-1}$  do monocrystal observou uma banda forte em  $515\text{ cm}^{-1}$  quando o campo elétrico incide paralelo ( $E_{//}$ ) e perpendicular ( $E_{\perp}$ ) ao eixo-c do cristal, esta banda foi atribuída ao modo translacional do grupo O-H das espécies  $A_{2u}$  e  $E_u$ . Uma banda em  $415\text{ cm}^{-1}$  observada quando o  $E_{\perp}$  incide ao eixo-c do cristal foi atribuída ao modo rotacional do grupo O-H. Duas bandas observadas em  $640$  e  $700\text{ cm}^{-1}$  foram consideradas como prováveis bandas de combinação. No espectro Raman do monocrystal de  $Mg(OH)_2$  este investigador observou duas bandas em  $3655$  e  $446\text{ cm}^{-1}$  e sugeriu atribuir esta última a um dos modos translacionais. Mitra obteve o espectro no infravermelho do  $Mg(OH)_2$  na forma de pó observando 11 bandas na região de  $2200 - 3200\text{ cm}^{-1}$ . A banda mais intensa, em  $2721\text{ cm}^{-1}$ , foi atribuída à vibração interna, utilizando a razão isotópica H/D confirmou a atribuição da banda fundamental do estiramento O-H. Este mesmo autor [56] também realizou a análise de grupo de fator do  $M(OH)_2$  através do método de Correlação [57], utilizando o  $Mg(OH)_2$  como exemplo de cristais contendo grupos

lineares.

Os espectros de absorção no infravermelho na região entre 700 a 75  $\text{cm}^{-1}$  dos  $\text{Mg(OH)}_2$  e  $\text{Ca(OH)}_2$  na forma de pó e de seus compostos deuterados foram discutidos em 1963, por Buchanan e colaboradores [17]. As atribuições dos modos vibracionais externos foram realizadas através das razões isotópicas H/D. No espectro do  $\text{Mg(OH)}_2$  observaram 3 bandas em 565, 450, 368  $\text{cm}^{-1}$ , no  $\text{Mg(OD)}_2$  5 bandas em 575, 550, 450, 368 e 310  $\text{cm}^{-1}$ . Supondo que os modos vibracionais de rede da espécie E<sub>u</sub> não estão acoplados, atribuíram a banda em 450  $\text{cm}^{-1}$  ao modo rotacional do íon hidroxila, que com a deuteração deslocou-se para 310  $\text{cm}^{-1}$ . A banda em 450  $\text{cm}^{-1}$ , também observada no  $\text{Mg(OD)}_2$ , levaram os autores a questionar a possibilidade de degenerescência acidental do modo rotacional do O-H com um dos modos translacionais, que não deslocou significativamente após a deuteração. Este autores também mediram o espectro Raman do monocrystal de  $\text{Mg(OH)}_2$  na região compreendida entre 4000 a 200  $\text{cm}^{-1}$ , observando as 4 bandas previstas pela análise de grupo de fator em 3655, 445, 282 e 250  $\text{cm}^{-1}$ , porém, nada discutiram a respeito da atribuição destas bandas. Os dados obtidos, foram utilizadas na análise das bandas de combinação descritas por Mitra [49].

O espectro Raman do monocrystal de  $\text{Ca(OH)}_2$  voltou a ser discutido em 1970 por Pádanyi [50] que utilizou como fonte de excitação um laser de íon argônio. Aplicando a técnica de polarização, atribuiu todas as bandas observadas: 684  $\text{cm}^{-1}$  (E<sub>g</sub>), 359  $\text{cm}^{-1}$  (A<sub>1g</sub>) e 260  $\text{cm}^{-1}$  (E<sub>9</sub>). A atribuição de Padanyi, foi confirmada em 1972 por Dawson [51] fazendo uso da substituição isotópica H/D. O mesmo autor [52], em 1973 utilizando a técnica de espalhamento Brewster, obteve o espectro Raman do monocrystal de  $\text{Mg(OH)}_2$  e propôs a atribuição para as bandas observadas: 725  $\text{cm}^{-1}$  (E<sub>g</sub>), 430  $\text{cm}^{-1}$  (A<sub>1g</sub>), 240  $\text{cm}^{-1}$  (E<sub>9</sub>).

Neste mesmo ano, Dawson e colaboradores [53] voltaram a discutir a atribuição das bandas fundamentais dos  $\text{Mg(OH)}_2$  e  $\text{Ca(OH)}_2$  utilizando o espectro infravermelho e Raman polarizado de monocrystal e o espectro Raman desses compostos deuterados na forma de pó, na região compreendida entre 4000 a 150  $\text{cm}^{-1}$ . No infravermelho do  $\text{Mg(OH)}_2$  observaram duas bandas em 3688 e 461  $\text{cm}^{-1}$ .

quando o campo elétrico incide paralelo ao eixo c do cristal e atribuíram, respectivamente, aos modos interno e translacional do grupo O-H da espécie A<sub>2u</sub>. Considerando as intensidades relativas as duas bandas em 416 e 361 cm<sup>-1</sup>, observadas quando o campo elétrico incide perpendicular ao eixo c do cristal, foram atribuídas respectivamente, aos modos rotacionais e translacionais da espécie E<sub>u</sub>. Os espectros Raman do Mg(OH)<sub>2</sub> e do Mg(OD)<sub>2</sub> obtidos foram discutidos através do efeito isotópico H/D, considerando os movimentos vibracionais puros. As duas bandas em 3652 e 443 cm<sup>-1</sup> no Mg(OH)<sub>2</sub> e suas correspondentes em 2696 e 434 cm<sup>-1</sup> no Mg(OD)<sub>2</sub> foram atribuídas aos modos internos e translacionais do O-H da espécie A<sub>1g</sub>. As bandas em 725 e 280 cm<sup>-1</sup> no Mg(OH)<sub>2</sub> e em 506 e 277 cm<sup>-1</sup> no Mg(OD)<sub>2</sub>, às vibrações translacionais e rotacionais da espécie E<sub>g</sub>, respectivamente. Neste trabalho, o fenômeno de combinação entre os modos internos e externos foi discutido através do efeito de temperatura no espectro de absorção no infravermelho.

Os espectros no infravermelho na região compreendida entre 4000 a 200 cm<sup>-1</sup> dos Ni(OH)<sub>2</sub> e Ni(OH,D)<sub>2</sub> na forma de pó, voltaram a ser investigados em 1984 por Minkova e colaboradores [58]. As três bandas observadas na região de vibração externa, apenas uma deslocou-se com a deuteração. Com pouca discussão a cerca dos resultados experimentais obtidos os autores atribuíram as bandas observadas.

Os números de onda e atribuição dos dados observados nos espectros vibracionais, na região de vibração externa, dos Ni(OH)<sub>2</sub> e Mg(OH)<sub>2</sub>, aqui apresentados, encontram-se resumidos na Tabela 2 para que possam ser comparados. Nesta tabela encontram-se também os dados do espectro no infravermelho do Ni(OH)<sub>2</sub> obtido por Houalla e colaboradores [59] no estudo por espectroscopia no infravermelho do Ni<sub>x</sub>Zn<sub>1-x</sub>(OH)<sub>2</sub>, bem como, o do Co(OH)<sub>2</sub>, obtido por Paikina e colaboradores [70], no estudo do Co<sub>x</sub>Cd<sub>1-x</sub>(OH)<sub>2</sub>, que serão relatados com detalhes no decorrer das discussões. Como pode ser visto, por mais valioso que seja o empenho desses investigadores ao atribuir os modos vibracionais de rede dos M(OH)<sub>2</sub>, não foi suficiente de forma que as atribuições das bandas nesta região ainda não estão totalmente esclarecidas.

Tabela 2 - Resumo dos Dados Espectrais Vibracionais de Rede dos  
 $Mg(OH)_2$ ,  $Ni(OH)_2$  e  $Co(OH)_2$  Descritos na Literatura

| Composto: $Mg(OH)_2$ Entre parentesis : $Mg(OD)_2$ ou $Mg(OH,D)_2$ |                                       |  |  |
|--|---------------------------------------|--|--|
| C.-Ott<br>Ref. 48<br>I.V.<br>1960                                  | Mitra<br>Ref. 49<br>I.V. e R.<br>1962 | Buchanan e Colab.<br>Ref. 17<br>I.V. e R.<br>1963                          | Dawson e Colab<br>Ref. 53<br>I.V. e R.<br>1973 |
| 680(530) $\delta(O-H)$   |                                       | (575)<br>565(?)I.V.<br>(550)<br>$515A_{2u}(T), E_u(T)$                     |  |
| 450(360)(?)  |                                       | 450(450) $E_u(T)$<br>ou<br>450(450) $A_{2u}(T)$<br>ou<br>450(310) $E_u(R)$ | 461 $A_{2u}(T)$                                |
|  | 415 $E_u(R)$                          |  | 416 $E_u(R)$                                   |
| 365(300) $\gamma(O-H)$   |                                       | 368(368)(?)I.V.  | 361 $E_u(T)$                                   |
| 320(?)   |                                       |  |  |
|  |                                       |  | 725(506) $E_g(T)$                              |
| 446 $E_g(T)(?)$  | 445(?)R.                              |  | 443 $A_{1g}(T)$                                |
|  | 282(?)R.                              |  | 280(277) $E_g(R)$                              |
|  | 250(?)R.                              |  |  |

Tabela 2 - Continuação

|   |                           |                                       |
|---|---------------------------|---------------------------------------|
| Composto: $\text{Ni(OH)}_2$ Entre parentesis: $\text{Ni(OH,D)}_2$ |                           |                                       |
| C.-Ott  | Houalla e Colab.          | Minkova e Colab.                      |
| Ref. 48   | Ref. 59                   | Ref. 58                               |
| I.V.  | I.V.                      | I.V.                                  |
| 1960  | 1977                      | 1984                                  |
| 530(410) $\delta(\text{O-H})$                                     | 530 $\delta(\text{O-H})$  | 530(510) $A_{zu}(\nu \text{ Ni-O})$   |
| 455(?)  | 430( $\nu \text{ Ni-O}$ ) | 475(475) $E_u(\nu \text{ Ni-O})$      |
| 350(?)  |                           | 354(354) $E_u(\delta \text{ O-Ni-O})$ |
| Composto: $\text{Co(OH)}_2$                                       |                           |                                       |
| Paikina e Colab.  |                           |                                       |
| Ref. 70   |                           |                                       |
| I.V.  |                           |                                       |
| 1985  |                           |                                       |
| 500(?)  |                           |                                       |
| 400(?)  |                           |                                       |

I.V. = Infravermelho; R. = Raman.

(T) = Vibração Translacional; (R) = Vibração Rotacional.

Do nosso conhecimento, existe um único trabalho referente à análise de coordenadas normais dos isomorfos  $\text{M(OH)}_2$ . Oehler e Gunthard em 1968 [60] partindo de uma aproximação harmônica e de um modelo eletrostático, realizaram a análise de coordenadas normais do cristal de  $\text{Ca(OH)}_2$ . Neste trabalho foram utilizados os dados do espectro Raman do  $\text{Ca(OH)}_2$  de Krishnamurti [38], bem como o infravermelho dos  $\text{Ca(OH)}_2$  e  $\text{Ca(OD)}_2$  obtidos pelos

autores, cuja vibrações de rede não foram atribuídas.

Por apresentar estrutura em camadas, o  $Mg(OH)_2$  foi citado como exemplo desta classe de compostos, em dois estudos de análise de coordenadas normais de compostos lamelares [61-62], porém, em nenhum deles foi aplicado o método de análise de coordenadas normais ao  $Mg(OH)_2$ .

A partir dos anos 70 evidencia-se um interesse em estudos visando correlacionar número de onda do estiramento O-H dos hidróxidos metálicos bivalentes com propriedades físicas, tais como, temperatura [63], efeito do campo elétrico do íon metálico [64-66], natureza do íon metálico [67-68], parâmetros estruturais [67] e pressão [69].

Outro aspecto de considerável controvérsia merecendo alguns comentários adicionais, refere-se a ligação de hidrogênio. Embora não tenhamos feito nenhum comentário, muitos estudos buscaram através dos dados cristalográficos e/ou do espectro no infravermelho definir a eficiência da interação de hidrogênio nos  $M(OH)_2$  [25,29,30,45,49,59,65,69,71,72]. O trabalho pioneiro foi realizado por Bernal e Megaw em 1935 [29]. Muitos desses trabalhos, interpretaram a interação de hidrogênio nos  $M(OH)_2$  como eficiente e utilizadas nas análises e discussões dos dados.

Existem poucos estudos do espectro no infravermelho do hidroxido de cobalto. em alguns trabalhos é apresentado o número de onda do estiramento O-H [67,68]. Do nosso conhecimento, somente o estudo de preparação e estrutura de  $Co_x Cd_{1-x} (OH)_2$  realizado por Paikina e colaboradores [70] apresentou o espectro no infravermelho nas regiões situadas entre 4000 a 400  $\text{cm}^{-1}$  observando três bandas em: 3630, 500, 400  $\text{cm}^{-1}$ .

É evidente que os espectros vibracionais dos hidróxidos metálicos bivalentes realizados até o momento, os dos  $Mg(OH)_2$  e  $Ca(OH)_2$  foram os mais analisados. também é evidente que muito pouco discutiu-se a cerca do  $Co(OH)_2$  e  $Ni(OH)_2$  sob um ponto de vista de espectroscopia vibracional. Conforme mencionamos na discussão da Tabela 2, por mais numerosos que sejam os estudos dos espectros vibracionais dos  $Mg(OH)_2$  e  $Ca(OH)_2$  muitos aspectos não foram, contudo, totalmente esclarecidos, muitas das análises vibracionais

não levaram em conta a existência de acoplamento vibracional dos modos rotacionais e translacionais da espécie E<sub>u</sub> e muitas discutiram o número de onda do estiramento O-H, em termos de efeito de massa do íon metálico. De maneira geral, muitas análises também ficaram comprometidas pela frequente utilização de amostras de ocorrência natural; dificuldades de obtenção dos compostos com alto grau de pureza e sob a forma cristalina hexagonal.

Além dos estudos apresentados, existe na literatura um vasto número de trabalhos utilizando os espectros no infravermelho e Raman como técnicas para a identificação da forma cristalina dos M(OH)<sub>2</sub>. Nesses estudos, a espectroscopia vibracional foi utilizada apenas como ferramenta analítica qualitativa, o interesse deve-se ao fato dos M(OH)<sub>2</sub> serem compostos utilizados em catálise e como compostos depositados em eletrodos de células galvânicas. Como consequência, muitos estudos dos espectros vibracionais de M<sup>II</sup>M'<sup>II</sup><sub>x</sub>(OH)<sub>2</sub> também estão fortemente vinculados à este interesse.

### 3.2 - Considerações Gerais de Análise dos Modos vibracionais

Para melhor compreensão dos dados experimentais observados nos espectros vibracionais, a análise de grupo de fator, atribuição das bandas e análise de coordenadas normais, são etapas primordiais e necessárias. Descreveremos aqui, algumas considerações gerais da análise vibracional bem como, os resultados da análise dos hidróxidos metálicos bivalentes. Apresentaremos os dados descritivos de todas as espécies ópticamente ativas, e os resultados numéricos das espécies ativas no infravermelho.

Posto que, para a interpretação do espectro vibracional de qualquer sistema a estrutura cristalina deve ser conhecida ou proposta, iniciaremos com um breve relato dos dados cristalográficos dos hidróxidos metálicos bivalentes.

### 3.2.1 - Estrutura Cristalina

Os isomorfos  $M(OH)_2$ ,  $M = Ca, Cd, Co, Mg, Ni$  e  $Zn$ , cristalizam-se em um sistema hexagonal de grupo espacial N° = 164 ( $D_{3d}^9 = P_{3m1}$ ), contendo uma unidade fórmula  $M(OH)_2$  por cela de Bravais ( $Z_B = 1$ ). Neste cristal a cela de Bravais possui dois tipos de sitios cristalográficos, o cátion metálico ( $M^{++}$ ) cujo sitio de simetria é  $D_{3d}$  e os ânions hidroxilas ( $H-O^-$ ) cujo sitio de simetria é  $C_{3v}$ .

A Figura 1 mostra a estrutura cristalina do  $M(OH)_2$ . Os dados cristalográficos dos  $Mg(OH)_2$ ,  $Ni(OH)_2$  e  $Co(OH)_2$  obtidos pelo método de difração de neutrons [14,67,73] são respectivamente,  $c = 4,769 \text{ \AA}^\circ$ ,  $a = 3,147 \text{ \AA}^\circ$ ,  $z_O = 0,22$ ,  $z_H = 0,43$ ;  $c = 4,595 \text{ \AA}^\circ$ ,  $a = 3,117 \text{ \AA}^\circ$ ,  $z_O = 0,22$ ,  $z_H = 0,47$ ;  $c = 4,640 \text{ \AA}^\circ$ ,  $a = 3,173 \text{ \AA}^\circ$ ,  $z_{OH} = 0,22c$ . Onde  $z$  corresponde a coordenada fracionária sobre o eixo  $c$ . Na Figura 2 encontra-se a estrutura do  $M(OH)_2$  projetada no plano 001 [14], juntamente com o eixo  $x$  e  $y$  utilizado neste trabalho, o eixo  $z$  encontra-se perpendicular ao plano-xy definido pelos eixos  $x$  e  $y$ . O ion  $M^{++}$  arranja em uma camada hexagonal e os 6 ions  $H-O^-$  situados encontram-se em igual distância. O ion  $M^{++}$  posiciona em um plano e os ions  $H-O^-$  em planos paralelos e a uma distância de  $0,22c$  e  $-0,22c$  ao do ion  $M^{++}$ . Os ions  $H-O^-$ , estão portanto alternativamente acima e abaixo do plano contendo os ions  $M^{++}$ . Os ions  $M^{++}$  e os  $H-O^-$ , formam uma estrutura em camada, levando a uma sequência (H O M O H) (H O M O H) (H O M O H) ..... etc. Dois planos contendo os ions  $M^{++}$ , estão separados a uma distância  $c$ .

### 3.2.2 - Análise de Grupo de Fator

Nesta tese os dados observados nos espectros no infravermelho dos  $M(OH)_2$  foram tratados inicialmente pela análise de grupo de fator. Baseando-se nos resultados foi possível obter informações sobre as regras de seleção vibracionais, números, espécies e tipos de vibrações. Esta análise também nos

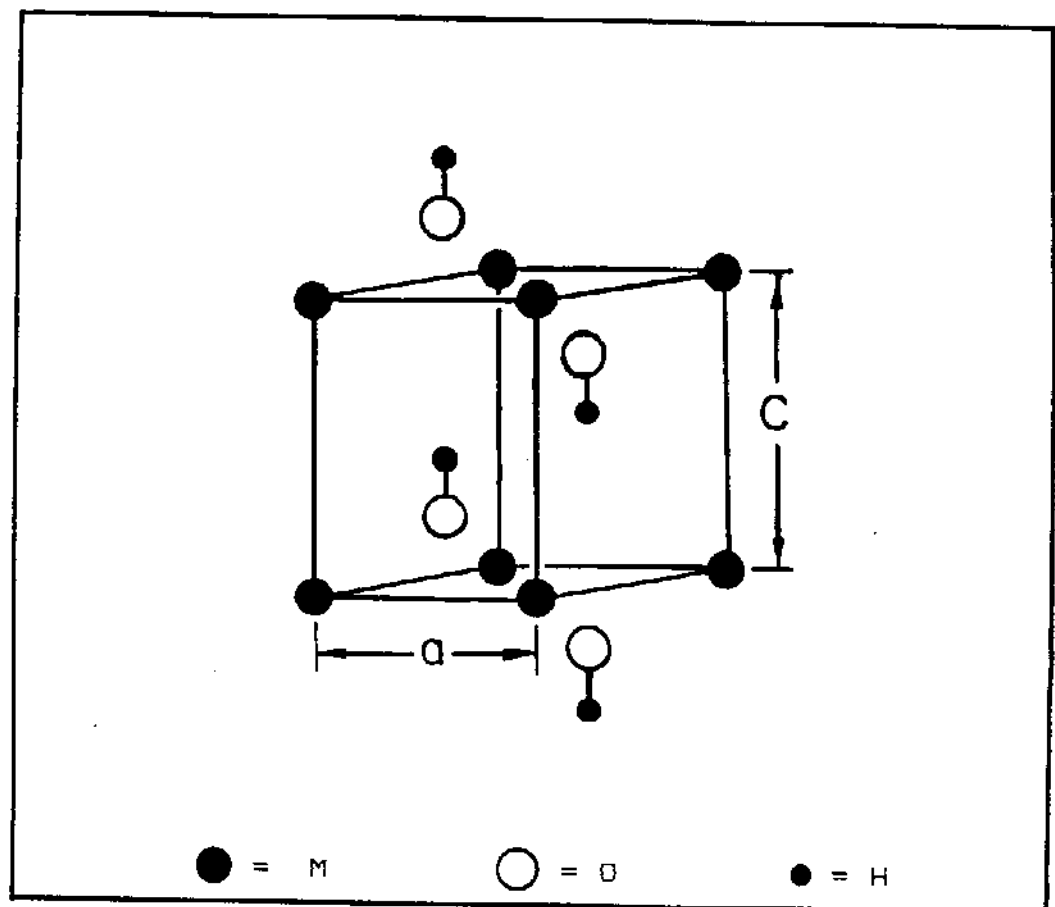


Figura 1 - Estrutura Cristalina dos  $M(OH)_2$

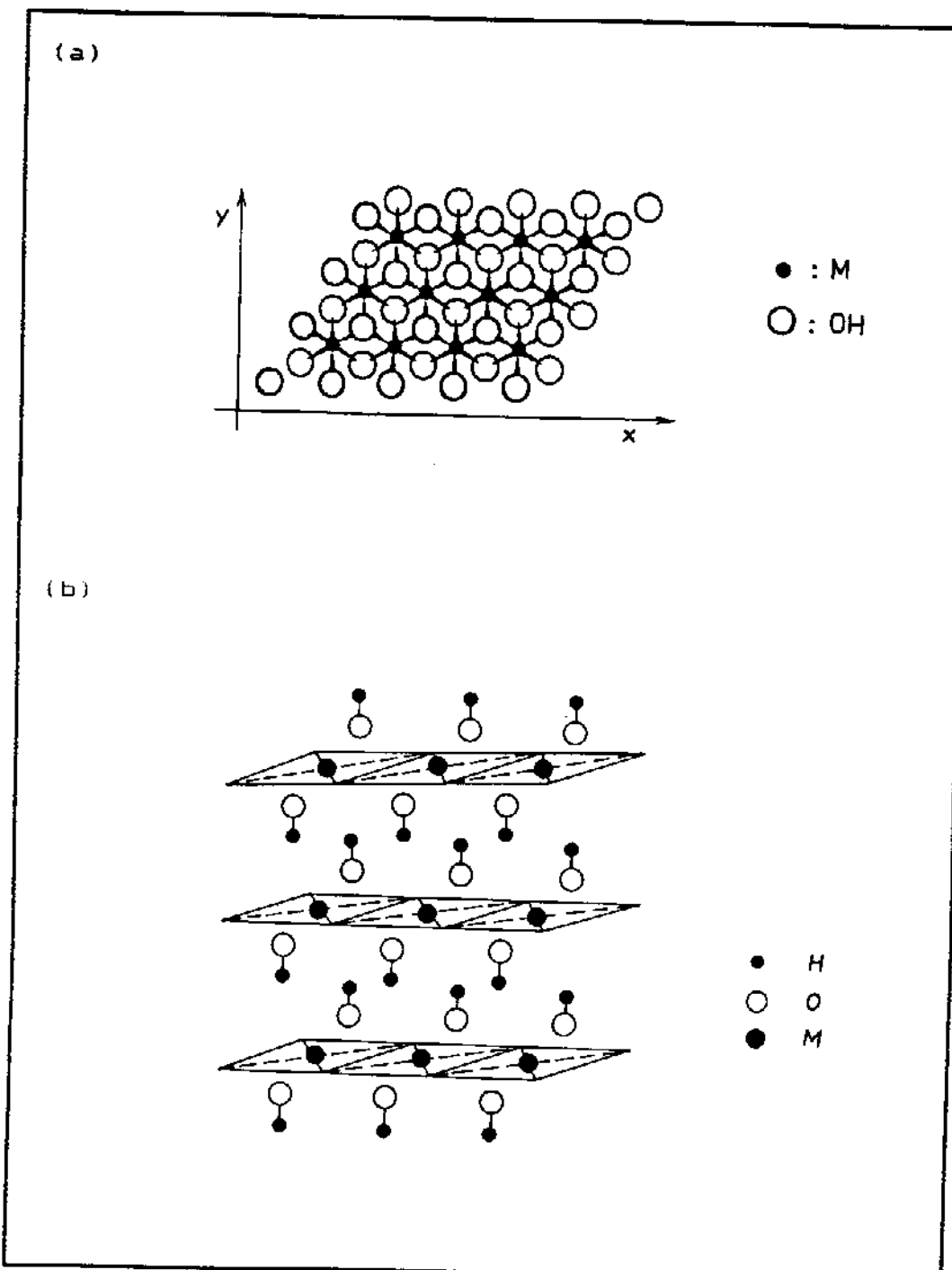


Figura 2 - Estrutura Cristalina dos  $M(OH)_2$

- (a) Projeção ao longo do eixo-c
- (b) Vista sobre outro ângulo

auxiliou nas atribuições dos modos vibracionais externos dos  $Mg(OH)_2$  e  $Ni(OH)_2$ .

Existem duas maneiras de realizar a análise de grupo de fator: o método de Bhagavantam e Venkatarayudu [54-55] e o de correlação descrito por Fateley e colaboradores [57]. Neste trabalho, foi utilizado o método de correlação [57,74,75].

O resultado obtido é apresentado na Tabela 3. A partir desta tabela é possível verificar que: entre as vibrações normais, quatro são opticamente ativas no espectro Raman e quatro no infravermelho; devido à presença do centro de inversão pode-se observar nos dados espectrais experimentais a regra de exclusão mútua Raman-Infravermelho. Por esta tabela pode-se verificar também que para as vibrações ativas no infravermelho, os movimentos translacionais dos sítios metálicos e dos grupos O-H devem estar misturados e que o efeito isotópico H/D é esperado em todas as bandas fundamentais observáveis.

### 3.2.3 - Atribuição de bandas

Como segundo passo na análise vibracional, foi realizado a atribuição das bandas experimentais. A substituição isotópica H/D é de grande valor, sendo a utilizada atribuição das bandas observadas no espectro do  $Mg(OH)_2$ .

Para atribuir os dados experimentais observados, bem como discutir o acoplamento vibracional dos  $Mg(OH)_2/Mg(OD)_2$  foi utilizado as razões isotópicas vibracionais teórica. Em seus estudos a cerca do deslocamento isotópico das bandas fundamentais correspondente entre as espécies isotópicamente substituídas de compostos cristalinos, Hase classificou os problemas vibracionais em 4 níveis de comportamento [76].

Segundo o autor a regra isotópica do produto do nível 1, é utilizada quando não existe acoplamento cinemático entre os modos vibracionais, os efeitos isotópicos vibracionais teoricamente esperados podem ser calculados, de maneira aproximada

Tabela 3 - Resultado da Análise de Grupo de Fator dos  $M(OH)_2$

| Grupo de Fator<br>$D_{ad}$ | N | T | T' |     | R'  |     | n | Atividade     |
|----------------------------|---|---|----|-----|-----|-----|---|---------------|
|                            |   |   | M  | O-H | O-H | O-H |   |               |
| $A_{1g}$                   | 2 | 0 | 0  | 1   | 0   | 1   |   | Raman         |
| $E_g$                      | 2 | 0 | 0  | 1   | 1   | 0   |   | Raman         |
| $A_{2u}$                   | 2 | 1 |    | 1   | 0   | 1   |   | Infravermelho |
| $E_u$                      | 2 | 1 |    | 1   | 1   | 0   |   | Infravermelho |

N = Número de modos vibracionais ópticos.

T = Número de modos acústicos.

T' = Número de modos externos translacionais.

R' = Número de modos externos rotacionais.

n = Número de modos internos.

através das massas atómicas e dos parâmetros geométricos.

Quando os modos vibracionais puros começam a se acoplar cinematicamente entre si, torna-se necessário considerar o acoplamento cinemático vibracional. Quando a mistura entre as vibrações não é muito grande, utilizamos a regra de nível 2, onde a razão isotópica pode ser relacionada diretamente com o produto dos elementos diagonais da matriz G dos modos vibracionais correspondentes.

No caso onde o acoplamento é generalizado, utilizamos a regra isotópica do produto do nível 3. A razão isotópica para cada espécie de simetria, é obtida a partir do quociente dos determinantes da matriz G abrangendo todos os modos vibracionais acoplados. Expressando a equação para o cálculo numérico da razão isotópica:

$$\text{Razão Isotópica} = \prod_{i=1}^{\infty} \frac{w_i}{w_i'} = \left( \frac{|G'|}{|G''|} \right)^{1/2} \quad (01)$$

onde,

G = matriz G,

w<sub>i</sub> = número de onda do modo normal i,

g = abrangendo todos os modos vibracionais acoplados

Na Tabela 4 encontra-se as razões isotópicas esperadas para os movimentos vibracionais puros e não acoplados (nível 1) bem como para todos os movimentos vibracionais acoplados (nível 3) do M(OH)<sub>2</sub>.

Tabela 4 - Efeito Isotópico H/D e Descrição Aproximada dos Movimentos de Vibração Puros e Não Acoplados (nível 1) e Acoplados (nível 3) -  $M(DH)_2/M(OD)_2$

| Nível 1       |               |       |          |       |                              |
|---------------|---------------|-------|----------|-------|------------------------------|
| Movimento     | Representação |       |          |       | Razão isotópica H/D Esperada |
|               | $A_{1g}$      | $E_g$ | $A_{2u}$ | $E_u$ |                              |
| $\nu$ ( O-H ) | 1             |       | 1        |       | 1,374                        |
| T ( O-H )     | 1             | 1     | 1        | 1     | 1,029                        |
| R ( O-H )     |               | 1     |          | 1     | 1,374                        |

| Nível 3  |                              |  |  |       |
|----------|------------------------------|--|--|-------|
| Especie  | Razão isotópico H/D Esperada |  |  |       |
| $A_{1g}$ |                              |  |  | 1,414 |
| $E_g$    |                              |  |  | 1,414 |
| $A_{2u}$ |                              |  |  | 1,390 |
| $E_u$    |                              |  |  | 1,390 |

### 3.2.4 - Análise de Coordenadas Normais

A análise de coordenadas normais dos modos vibracionais ópticamente ativos do  $Mg(OH)_2$  e  $Ni(OH)_2$  foram realizadas baseando-se no método da matriz GF de Wilson extendido a sistemas monocrystalinos para vetor de onda  $K = 0$  de Shimanouchi e colaboradores [77]. Os cálculos foram realizados utilizando o programa computacional NCT81 [78], com modificações necessárias.

A análise vibracional de um sistema cristalino a  $K = 0$  é expressa pela equação secular:

$$| G_{op}^{cs} F_{op}^{cs} - \Lambda E | = 0 \quad (02)$$

onde  $G_{op}^{cs}$  é a matriz G ópticamente ativa, definida em termos de coordenadas cartesianas simetrizadas, correspondendo a matriz inversa da energia cinética.  $F_{op}^{cs}$  é a matriz F ópticamente ativa definida em termos de coordenadas cartesianas simetrizadas, correspondendo a matriz energia potencial. Nesta equação, E é uma matriz unitária de mesma ordem que as matrizes  $G_{op}^{cs}$  e  $F_{op}^{cs}$  e  $\lambda$  são os termos diagonais da matriz  $\Lambda$ ,  $\lambda$  é igual a  $4\pi^2 c^2 \nu^2$ , sendo c a velocidade da luz e  $\nu$  o número de onda. As matrizes  $G_{op}^{cs}$  e  $F_{op}^{cs}$  das vibrações ópticamente ativas, são obtidas adicionando às matrizes G e F da cela de Bravais em estudo, a soma de todas as matrizes G e F que representam as interações entre a cela de Bravais em estudo e as celas de Bravais vizinhas. Assim, as matrizes  $G_{op}^{cs}$  e  $F_{op}^{cs}$  das vibrações de rede do cristal ópticamente ativas são dadas por:

$$G_{op}^{cs} = \sum_{i'j'k'} G_{ijk, i'j'k'} \quad (03)$$

$$F_{op}^{cs} = \sum_{i'j'k'} F_{ijk, i'j'k'} \quad (04)$$

onde o conjunto de subscritos  $i$ ,  $j$  e  $k$  representam uma cela de Bravais. As matrizes  $G_{op}^{cs}$  e  $F_{op}^{cs}$  são expressas respectivamente pelas equações 05 e 06

$$G_{op}^{cs} = U_x G_{op}^x \tilde{U}_x = U_x M^{-1} \tilde{U}_x \quad (05)$$

onde  $G_{op}^{cs}$  é a matriz  $G$  opticamente ativa definida em termos de coordenadas cartesianas ( $X$ ).  $M^{-1}$ , representa a matriz diagonal construída a partir do recíproco das massas dos átomos. As coordenadas cartesianas simetrizadas (CS) utilizadas estão descritas na Tabela 5.

$$F_{op}^{cs} = U_x \tilde{B}_{op}^R F_{op}^R B_{op}^R \tilde{U}_x = \tilde{B}_{op}^{cs} F_{op}^R B_{op}^{cs} \quad (06)$$

onde  $U_x$  é a matriz transformação de coordenadas cartesianas ( $X$ ) em coordenadas cartesianas simetrizadas (CS) expressa por  $CS = U_x \cdot X$ .  $F_{op}^R$  é a matriz  $F$  opticamente ativa definida em termos de coordenadas internas ( $R$ ).  $B_{op}^{cs}$  é a matriz transformação de vetores de coordenadas internas ( $R$ ) para vetores de coordenadas cartesianas ( $X$ ). Para definir a matriz  $B_{op}^{cs}$ , inicialmente definimos as coordenadas internas opticamente ativas.  $R_{op}$ :

$$R_{op} = N \sum R_{ijk} \quad (07)$$

Sendo,  $N$  o fator de normalização e  $R_{ijk}$  as coordenadas internas da cela de Bravais. A seguir definimos:

$$R_{op} = (\sum_{i'j'k'} B_{ijk, i'j'k'}) X_{op} \quad (08)$$

onde,

$$B_{op} = \sum_{i'j'k'} B_{ijk, i'j'k'} \quad (09)$$

Na Figura 3 encontrase a enumeração dos átomos e na Tabela 6 a definição das coordenadas internas opticamente ativas.

Tabela 5 - Coordenadas Cartesianas Simetrizadas ( CS )

Espécie A<sub>1g</sub>

$$CS_{o_1} = (\Delta Z^{H_1} - \Delta Z^{H_2} + \Delta Z^{O_1} - \Delta Z^{O_2}) 1/2$$

$$CS_{o_2} = (\Delta Z^{H_1} - \Delta Z^{H_2} - \Delta Z^{O_1} + \Delta Z^{O_2}) 1/2$$

Espécie E<sub>g</sub>

$$CS_{o_3} = (\Delta Y^{H_1} - \Delta Y^{H_2} + \Delta Y^{O_1} - \Delta Y^{O_2}) 1/2$$

$$CS_{o_4} = (\Delta Y^{H_1} - \Delta Y^{H_2} - \Delta Y^{O_1} + \Delta Y^{O_2}) 1/2$$

Espécie A<sub>2u</sub>

$$CS_{o_5} = \Delta Z^M$$

$$CS_{o_6} = (\Delta Z^{H_1} + \Delta Z^{H_2} + \Delta Z^{O_1} + \Delta Z^{O_2}) 1/2$$

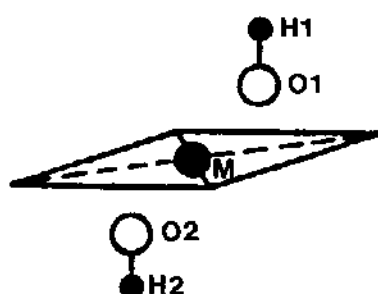
$$CS_{o_7} = (\Delta Z^{H_1} + \Delta Z^{H_2} - \Delta Z^{O_1} - \Delta Z^{O_2}) 1/2$$

Espécie E<sub>u</sub>

$$CS_{o_8} = \Delta Y^M$$

$$CS_{o_9} = (\Delta Y^{H_1} + \Delta Y^{H_2} + \Delta Y^{O_1} + \Delta Y^{O_2}) 1/2$$

$$CS_{o_{10}} = (\Delta Y^{H_1} + \Delta Y^{H_2} - \Delta Y^{O_1} - \Delta Y^{O_2}) 1/2$$



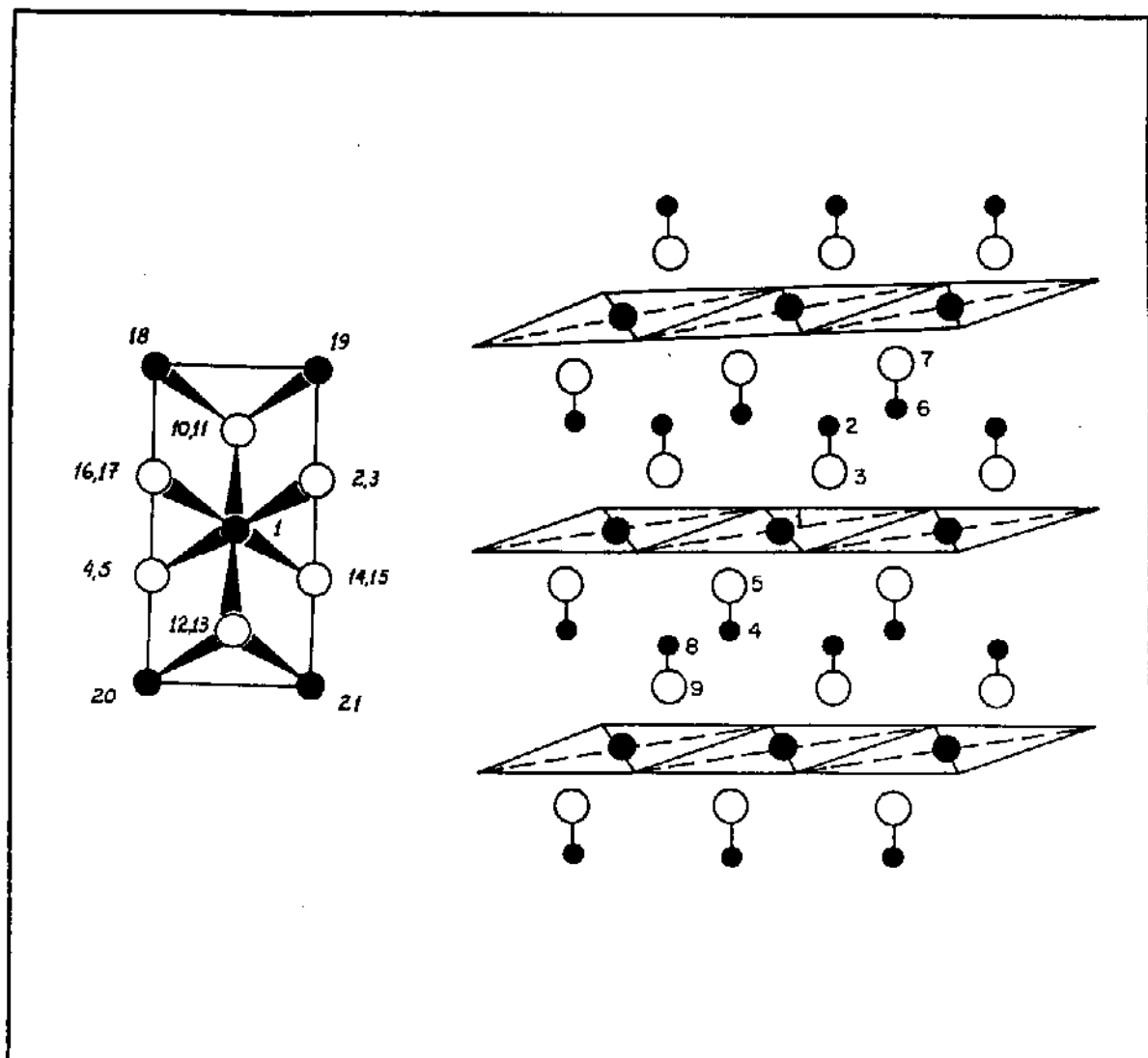


Figura 3 – Enumeração dos átomos utilizados na definição das coordenadas internas

$N^{\circ} = 1, 18, 19, 20, 21$ : átomo do íon metálico

$N^{\circ} = 2, 4, 6, 8, 10, 12, 14, 16$ : átomo de hidrogênio

$N^{\circ} = 3, 5, 7, 9, 11, 13, 15, 17$ : átomo de oxigênio

Átomos de número 3, 13 e 17, estão distantes a  $+0,22c$  do plano contendo o íon metálico, e os de número 5, 11 e 15 estão distantes a  $-0,22c$ .

Tabela 6 - Definição das Coordenadas Internas

|                           |                           |
|---------------------------|---------------------------|
| $\Delta r(i,j)$           | $\Delta r(O-H)$           |
| $\Delta r_{01}(02,03)$    | $\Delta r_{02}(04,05)$    |
| $\Delta r_{03}(06,07)$    |                           |
| $\Delta r_{04}(08,09)$    |                           |
| <br>                      |                           |
| $\Delta r(i,j)$           | $\Delta r(M-O)$           |
| $\Delta r_{05}(01,03)$    | $\Delta r_{06}(01,17)$    |
| $\Delta r_{07}(01,13)$    | $\Delta r_{08}(01,05)$    |
| $\Delta r_{09}(01,15)$    | $\Delta r_{10}(01,11)$    |
| $\Delta r_{11}(13,20)$    | $\Delta r_{12}(13,21)$    |
| $\Delta r_{13}(11,18)$    | $\Delta r_{14}(11,19)$    |
| <br>                      |                           |
| $\Delta r(i,j,k)$         | $\Delta\beta(H-O-M)$      |
| $\Delta r_{15}(10,11,01)$ | $\Delta r_{16}(10,11,18)$ |
| $\Delta r_{17}(10,11,19)$ |                           |
| $\Delta r_{18}(12,13,01)$ | $\Delta r_{19}(12,13,20)$ |
|                           | $\Delta r_{20}(12,13,21)$ |
| <br>                      |                           |
| $\Delta r(i,j,k)$         | $\Delta\alpha(M-O-M)$     |
| $\Delta r_{21}(01,11,18)$ | $\Delta r_{22}(01,11,19)$ |
| $\Delta r_{23}(18,11,19)$ |                           |
| $\Delta r_{24}(01,13,20)$ | $\Delta r_{25}(01,13,21)$ |
|                           | $\Delta r_{26}(20,13,21)$ |
| <br>                      |                           |
| $\Delta r(i,j,k)$         | $\Delta\delta(O-M-O)$     |
| $\Delta r_{27}(05,01,11)$ | $\Delta r_{28}(05,01,15)$ |
| $\Delta r_{29}(11,01,15)$ |                           |
| $\Delta r_{30}(03,01,13)$ | $\Delta r_{31}(03,01,17)$ |
|                           | $\Delta r_{32}(13,01,17)$ |
| <br>                      |                           |
| $\Delta r(i,j,k)$         | $\Delta\delta(O'-M-O)$    |
| $\Delta r_{33}(17,01,05)$ | $\Delta r_{34}(17,01,11)$ |
| $\Delta r_{35}(11,01,03)$ |                           |
| $\Delta r_{36}(03,01,15)$ | $\Delta r_{37}(15,01,13)$ |
|                           | $\Delta r_{38}(13,01,05)$ |

Coordenadas internas para ligação definidas por dois átomos  $i$  e  $j$ ,  $\Delta r(i,j)$ , e as para ângulos por três átomos  $i$ ,  $j$  e  $k$ ,  $\Delta r(i,j,k)$ .

As coordenadas internas foram definidas usando a enumeração dos átomos da Figura 3.

A função potencial utilizada no cálculo da matriz  $F_{op}^{es}$  foi construída partindo da premissa de que as forças dominantes responsáveis pelas vibrações do cristal  $M(OH)_2$  podem ser analisadas através do estiramento entre as ligações e as deformações angulares. O modelo utilizado foi construído baseando-se em um modelo de camada (Figura 2) e considerando as interações entre as camadas. A função potencial é expressa como:

$$2V = \sum (k_1 (\Delta r_{O-H})^2 + k_2 (\Delta r_{M-O})^2 + k_3 (\Delta\beta_{H-O-M})^2 + k_4 (\Delta\alpha_{M-O-M})^2 + k_5 (\Delta\delta_{O-M-O})^2 + k_6 (\Delta\delta'_{O-M-O})^2 + k_7 (\Delta r_{O-H}) \cdot (\Delta r_{O-H}) + k_8 (\Delta r_{M-O}) \cdot (\Delta r_{M-O}) + k_9 (\Delta r_{M-O}) \cdot (\Delta r_{M-O}) + k_{10} (\Delta r_{M-O}) \cdot (\Delta r_{M-O}) + k_{11} (\Delta r_{M-O}) \cdot (\Delta r_{M-O}) + k_{12} (\Delta r_{M-O}) \cdot (\Delta\delta_{O-M-O}) + k_{13} (\Delta r_{M-O}) \cdot (\Delta\alpha_{M-O-M}) + k_{14} (\Delta r_{M-O}) \cdot (\Delta\delta'_{O-M-O}) + k_{15} (\Delta r_{M-O}) \cdot (\Delta\alpha_{M-O-M}) + k_{16} (\Delta\alpha_{M-O-M}) \cdot (\Delta\alpha_{M-O-M}) + k_{17} (\Delta\delta_{O-M-O}) \cdot (\Delta\delta'_{O-M-O})) \quad (10)$$

onde, o somatório abrange todas as coordenadas internas definidas na Tabela 6.  $k_1$  e  $k_2$  são respectivamente as constantes de força de estiramento O-H e M-O.  $k_3$ ,  $k_4$ ,  $k_5$  e  $k_6$ , são respectivamente, as constantes de força de deformação angular H-O-M, M-O-M, O-M-O e O'-M-O. Para obter uma descrição mais exata do modo vibracional foram introduzidas na função potencial as constantes de interação,  $k_7 - k_{17}$ . Segundo Wilson, Decius e Cross [5], a escolha das constantes de interação deve ser uma etapa sensata e criteriosa, seus valores são relativamente pequenos, e escolhidas considerando argumentos de simetria.  $k_7$ , representa a interação entre os sitios O-H.  $k_8$ ,  $k_9$ ,  $k_{10}$  e  $k_{11}$ , são constantes de interação entre ligações M-O, fisicamente estes termos medem a mudança numa ligação, resultante do estiramento da

outra.  $k_{12}$ ,  $k_{13}$ ,  $k_{14}$  e  $k_{15}$ , são constantes de interação entre estiramento M-O e deformações, M-O-M ou O-M-O, representam como o estiramento M-O se comporta durante a deformação de M-O-M ou O-M-O ou vice-versa.  $k_{16}$  e  $k_{17}$  são constantes de interação entre as deformações, representam como uma deformação angular se comporta durante a deformação de outro ângulo. As constantes de interação foram definidas através dos seguintes critérios e prioridades:  $k_8$ ,  $k_9$ ,  $k_{10}$  O-M/M-O e  $k_{11}$  M-O/O-M interações entre ligações com um átomo comum;  $k_{12}$ ,  $k_{13}$ ,  $k_{14}$  e  $k_{15}$ , interações M-O/M-O-M e M-O/O-M-O entre ligação e ângulo com dois átomos comuns; finalmente  $k_{16}$  e  $k_{17}$  interações M-O-M/M-O-M e O-M-O/O-M-O entre ângulos com uma ligação comum. Na Tabela 7 encontrase definidas as constantes de força apresentadas na função potencial. Os elementos da matriz  $F_{op}^{cs}$  e  $G_{op}^{cs}$  encontram-se na Tabela 8. A partir da matriz  $F_{op}^{cs}$  foi possível agrupar as 17 constantes de força utilizadas na função potencial em um novo conjunto formado por 12 constantes de força:  $k_1$ ,  $k_2$ ,  $k_3$ ,  $(k_4 + k_5)$ ,  $k_6$ ,  $k_7$ ,  $k_8$ ,  $k_{10}$ ,  $(k_9 + k_{11})$ ,  $(k_{12} + k_{13})$ ,  $(k_{14} + k_{15})$ ,  $(k_{16} + k_{17})$ .

### 3.3 - Resultados e Discussões

Os espectros vibracionais no infravermelho foram obtidos na região de número de onda compreendida entre 4000 a 40  $\text{cm}^{-1}$ . As regiões das bandas observadas nos  $\text{Mg(OH)}_2$ ,  $\text{Ni(OH)}_2$ ,  $\text{Co(OH)}_2$  e  $\text{Mg(OD)}_2$  são apresentados no conjunto de Figuras de 4 a 11.

As quatro bandas previstas pela análise de grupo de fator foram experimentalmente observadas nos  $\text{Ni(OH)}_2$  e  $\text{Co(OH)}_2$  uma vibração interna relacionada ao estiramento do grupo O-H (Figuras 5 e 6) e três bandas de vibração externa relacionadas aos dois modos translacionais (M, O-H) e um rotacional (O-H) (Figuras 9 e 10). No espectro do  $\text{Mg(OH)}_2$  (Figuras 4 e 8) foram observados cinco bandas, quatro delas na região de baixo número de onda, já no espectro do  $\text{Mg(OD)}_2$  (Figuras 7 e 11) foram observados, aparentemente, apenas três bandas, duas na região de baixo número de onda, sendo uma delas assimétrica com a existência provável de

Tabela 7 - Definição das Constantes de Força

| Constantes de Força              |                | Coordenadas Internas Correspondentes  |
|----------------------------------|----------------|---|
| $k_1$                            | $k(O-H)$       | de $\Delta r_{01}$ a $\Delta r_{04}$  |
| $k_2$                            | $k(M-O)$       | de $\Delta r_{05}$ a $\Delta r_{14}$  |
| $k_3$                            | $k(H-O-M)$     | de $\Delta r_{15}$ a $\Delta r_{20}$  |
| $k_4$                            | $k(M-O-M)$     | de $\Delta r_{21}$ a $\Delta r_{26}$  |
| $k_5$                            | $k(O-M-O)$     | de $\Delta r_{27}$ a $\Delta r_{32}$  |
| $k_6$                            | $k(O'-M-O)$    | de $\Delta r_{33}$ a $\Delta r_{38}$  |
| Constantes de Força de Interação |                | Coordenadas Internas Correspondentes  |
| $k_7$                            | $k(O-H/O-H)$   | $\Delta r_{01}/\Delta r_{02}$ $\Delta r_{02}/\Delta r_{04}$ $\Delta r_{04}/\Delta r_{08}$ |
| $k_8$                            | $k(O-M/M-O)$   | $\Delta r_{05}/\Delta r_{10}$ $\Delta r_{06}/\Delta r_{08}$ $\Delta r_{07}/\Delta r_{08}$ |
| $k_9$                            | $k(O-M/M-O)$   | $\Delta r_{08}/\Delta r_{09}$ $\Delta r_{09}/\Delta r_{10}$ $\Delta r_{08}/\Delta r_{10}$ |
| $k_{10}$                         | $k(O-M/M-O)$   | $\Delta r_{05}/\Delta r_{06}$ $\Delta r_{06}/\Delta r_{07}$ $\Delta r_{05}/\Delta r_{07}$ |
| $k_{11}$                         | $k(M-O/O-M)$   | $\Delta r_{05}/\Delta r_{08}$ $\Delta r_{06}/\Delta r_{09}$ $\Delta r_{07}/\Delta r_{10}$ |
| $k_{12}$                         | $k(M-O/M-O-M)$ | $\Delta r_{07}/\Delta r_{11}$ $\Delta r_{07}/\Delta r_{12}$ $\Delta r_{11}/\Delta r_{12}$ |
| $k_{13}$                         | $k(M-O/O-M-O)$ | $\Delta r_{10}/\Delta r_{13}$ $\Delta r_{10}/\Delta r_{14}$ $\Delta r_{13}/\Delta r_{14}$ |
| $k_{14}$                         | $k(M-O/M-O-M)$ | $\Delta r_{10}/\Delta r_{29}$ $\Delta r_{09}/\Delta r_{27}$ $\Delta r_{08}/\Delta r_{29}$ |
|                                  |                | $\Delta r_{07}/\Delta r_{31}$ $\Delta r_{06}/\Delta r_{30}$ $\Delta r_{05}/\Delta r_{32}$ |
|                                  |                | $\Delta r_{07}/\Delta r_{26}$ $\Delta r_{10}/\Delta r_{29}$ $\Delta r_{11}/\Delta r_{25}$ |
|                                  |                | $\Delta r_{12}/\Delta r_{24}$ $\Delta r_{13}/\Delta r_{22}$ $\Delta r_{14}/\Delta r_{21}$ |
|                                  |                | $\Delta r_{05}/\Delta r_{30}$ $\Delta r_{05}/\Delta r_{31}$ $\Delta r_{06}/\Delta r_{31}$ |
|                                  |                | $\Delta r_{06}/\Delta r_{32}$ $\Delta r_{07}/\Delta r_{30}$ $\Delta r_{07}/\Delta r_{32}$ |
|                                  |                | $\Delta r_{08}/\Delta r_{27}$ $\Delta r_{08}/\Delta r_{28}$ $\Delta r_{08}/\Delta r_{28}$ |

Tabela 7 - Continuação

|          |                  |                               |                               |                               |
|----------|------------------|-------------------------------|-------------------------------|-------------------------------|
| $k_{15}$ | $k(M-O/O-M-O)$   | $\Delta r_{07}/\Delta r_{24}$ | $\Delta r_{07}/\Delta r_{25}$ | $\Delta r_{10}/\Delta r_{24}$ |
|          |                  | $\Delta r_{10}/\Delta r_{22}$ | $\Delta r_{14}/\Delta r_{24}$ | $\Delta r_{14}/\Delta r_{26}$ |
|          |                  | $\Delta r_{12}/\Delta r_{25}$ | $\Delta r_{12}/\Delta r_{26}$ | $\Delta r_{19}/\Delta r_{21}$ |
|          |                  | $\Delta r_{13}/\Delta r_{25}$ | $\Delta r_{14}/\Delta r_{22}$ | $\Delta r_{14}/\Delta r_{23}$ |
| $k_{16}$ | $k(M-O-M/M-O-M)$ | $\Delta r_{21}/\Delta r_{22}$ | $\Delta r_{21}/\Delta r_{29}$ | $\Delta r_{22}/\Delta r_{29}$ |
|          |                  | $\Delta r_{24}/\Delta r_{25}$ | $\Delta r_{24}/\Delta r_{26}$ | $\Delta r_{25}/\Delta r_{26}$ |
| $k_{17}$ | $k(M-O-M/M-O-M)$ | $\Delta r_{27}/\Delta r_{28}$ | $\Delta r_{27}/\Delta r_{29}$ | $\Delta r_{28}/\Delta r_{29}$ |
|          |                  | $\Delta r_{30}/\Delta r_{31}$ | $\Delta r_{30}/\Delta r_{32}$ | $\Delta r_{31}/\Delta r_{32}$ |

Tabela 8 - Elementos das Matrizes  $G_{op}^{**}$  e  $F_{op}^{**}$

| $i, j$                        | $G_{i,j}$ | $F_{i,j}$  |
|-------------------------------|-----------|--|
| <b>Espécie A<sub>1g</sub></b> |           |  |
| 1,1 $(\mu_H + \mu_O)^{1/2}$   |           | $ak_2 + bk_3 + c(k_4 + k_5) + ck_6 + 2ak_8$<br>$+ 2a(k_9 + k_{11}) + ak_{10} - d(k_{12} + k_{19})$<br>$- 2d(k_{14} + k_{15}) + 2c(k_{16} + k_{17})$                        |
| 1,2 $(\mu_H - \mu_O)^{1/2}$   |           | $- ak_2 - bk_3 - c(k_4 + k_5) - ck_6 - 2ak_8$<br>$- 2a(k_9 + k_{11}) - ak_{10} + d(k_{12} + k_{19})$<br>$+ 2d(k_{14} + k_{15}) - 2c(k_{16} + k_{17})$                      |
| 2,2 $(\mu_H + \mu_O)^{1/2}$   |           | $2,0k_1 + ak_2 + bk_3 + c(k_4 + k_5) + ck_6$<br>$+ 4,0k_7 + 2ak_8 + 2a(k_9 + k_{11}) + ak_{10}$<br>$- d(k_{12} + k_{19}) - 2d(k_{14} + k_{15})$<br>$+ 2c(k_{16} + k_{17})$ |
| <b>Espécie E<sub>g</sub></b>  |           |  |
| 3,3 $(\mu_H + \mu_O)^{1/2}$   |           | $ek_2 + fk_3 + g(k_4 + k_5) + qk_6 - ek_8$<br>$- e(k_9 + k_{11}) + ek_{10} + h(k_{12} + k_{19})$<br>$- h(k_{14} + k_{15}) - q(k_{16} + k_{17})$                            |
| 3,4 $(\mu_H - \mu_O)^{1/2}$   |           | $- ek_2 - ik_3 - g(k_4 + k_5) - qk_6 + ek_8$<br>$+ e(k_9 + k_{11}) - ek_{10} - h(k_{12} + k_{19})$<br>$+ h(k_{14} + k_{15}) + q(k_{16} + k_{17})$                          |
| 4,4 $(\mu_H + \mu_O)^{1/2}$   |           | $ek_2 + jk_3 + g(k_4 + k_5) + qk_6 - qk_8$<br>$- g(k_9 + k_{11}) + ek_{10} + h(k_{12} + k_{19})$<br>$- h(k_{14} + k_{15}) - q(k_{16} + k_{17})$                            |

Tabela 8 - Continuação

| Espécie A <sub>2u</sub> |  |
|-------------------------|--|
| 5,5                     | ( $\mu_M$ )  |
|                         | $4ak_2 + 4bk_3 + 4c(k_4 + k_5) - 8ak_8$ $+ 8a(k_9 + k_{11}) - 4ak_{10} - 4d(k_{12} + k_{13})$ $- 8d(k_{14} + k_{15}) + 8c(k_{16} + k_{17})$              |
| 5,6                     | 0  |
|                         | $- 2ak_2 - 2bk_3 - 2c(k_4 + k_5) + 4ak_8$ $- 4a(k_9 + k_{11}) + 2ak_{10} + 2d(k_{12} + k_{13})$ $+ 4d(k_{14} + k_{15}) - 4c(k_{16} + k_{17})$            |
| 5,7                     | 0  |
|                         | $2ak_2 + 2bk_3 + 2c(k_4 + k_5) - 4ak_8$ $+ 4a(k_9 + k_{11}) - 2ak_{10} - 2d(k_{12} + k_{13})$ $- 4d(k_{14} + k_{15}) + 4c(k_{16} + k_{17})$              |
| 6,6                     | ( $\mu_H + \mu_O$ ) <sup>1/2</sup>   |
|                         | $ak_2 + bk_3 + c(k_4 + k_5) + ck_6 - 2ak_8$ $+ 2a(k_9 + k_{11}) - ak_{10} - d(k_{12} + k_{13})$ $- 2d(k_{14} + k_{15}) + 2c(k_{16} + k_{17})$            |
| 6,7                     | ( $\mu_H - \mu_O$ ) <sup>1/2</sup>   |
|                         | $- ak_2 - bk_3 - c(k_4 + k_5) + 2ak_8$ $- 2a(k_9 + k_{11}) + ak_{10} + d(k_{12} + k_{13})$ $+ 2d(k_{14} + k_{15}) - 2c(k_{16} + k_{17})$                 |
| 7,7                     | ( $\mu_H + \mu_O$ ) <sup>1/2</sup>   |
|                         | $2k_1 + ak_2 + bk_3 + c(k_4 + k_5) - 4,0k_7$ $- 2ak_8 + 2a(k_9 + k_{11}) - ak_{10}$ $- d(k_{12} + k_{13}) - 2d(k_{14} + k_{15})$ $+ 2c(k_{16} + k_{17})$ |

Tabela 8 - Continuação

Espécie E<sub>u</sub>

8.8 ( $\mu_M$ )

$$\begin{aligned} & 4ek_2 + 4fk_3 + 4g(k_4 + k_5) + 4lk_6 + 4ek_8 \\ & - 4e(k_9 + k_{11}) - 4ek_{10} + 4h(k_{12} + k_{13}) \\ & - 4h(k_{14} + k_{15}) - 4g(k_{16} + k_{17}) \end{aligned}$$

8.9 0

$$\begin{aligned} & - 2ek_2 - 2fk_3 - 2g(k_4 + k_5) - 2lk_6 - 2ek_8 \\ & + 2e(k_9 + k_{11}) + 2ak_{10} - 2h(k_{12} + k_{13}) \\ & + 2h(k_{14} + k_{15}) + 2g(k_{16} + k_{17}) \end{aligned}$$

8.10 0

$$\begin{aligned} & 2ek_2 + mk_3 + 2g(k_4 + k_5) + 2lk_6 + 2ek_8 \\ & - 2e(k_9 + k_{11}) - 2ek_{10} + 2h(k_{12} + k_{13}) \\ & - 2h(k_{14} + k_{15}) - 2g(k_{16} + k_{17}) \end{aligned}$$

9.9 ( $\mu_H + \mu_O$ )<sup>1/2</sup>

$$\begin{aligned} & ek_2 + fk_3 + g(k_4 + k_5) + lk_6 + ek_8 \\ & - e(k_9 + k_{11}) - ek_{10} + h(k_{12} + k_{13}) \\ & - h(k_{14} + k_{15}) - g(k_{16} + k_{17}) \end{aligned}$$

9.10 ( $\mu_H - \mu_O$ )<sup>1/2</sup>

$$\begin{aligned} & ek_2 - ik_3 - g(k_4 + k_5) - lk_6 - ek_8 \\ & + e(k_9 + k_{11}) + ek_{10} - h(k_{12} + k_{13}) \\ & + h(k_{14} + k_{15}) + g(k_{16} + k_{17}) \end{aligned}$$

10.10 ( $\mu_H + \mu_O$ )<sup>1/2</sup>

$$\begin{aligned} & ek_2 + jk_3 + g(k_4 + k_5) + lk_6 + ek_8 \\ & - e(k_9 + k_{11}) - ek_{10} + h(k_{12} + k_{13}) \\ & - h(k_{14} + k_{15}) - g(k_{16} + k_{17}) \end{aligned}$$

$\mu$  representa o recíproco da massa do átomo.  $\mu_H = 0,992236$ ;

$\mu_D = 0,496499$ ;  $\mu_O = 0,0625023$ ;  $\mu_{Mg} = 0,041144$ ;  $\mu_{Ni} = 0,017033$ .

Ni(OH)<sub>2</sub>: a = 0,35979; b = 0,63468; c = 1,90854; d = 1,65732;

e = 0,57010; f = 0,10014; g = 0,75604; h = 1,31305;

i = 0,83490; j = 6,96104; l = 1,28968; m = 1,66978.

Mg(OH)<sub>2</sub>: a = 0,37510; b = 0,53693; c = 1,92869; d = 1,70111;

e = 0,56245; f = 0,08952; g = 0,72301; h = 1,27540;

i = 0,83957; j = 7,87418; l = 1,31264; m = 1,67915.

ombros. Discutiremos em detalhe a atribuição de cada banda nos parágrafos seguintes.

Os espectros apresentados nas Figuras 4, 5 e 6 mostram respectivamente a banda fina e intensa observada em  $3698\text{ cm}^{-1}$  no  $\text{Mg(OH)}_2$ ,  $3635\text{ cm}^{-1}$  no  $\text{Ni(OH)}_2$  e  $3632\text{ cm}^{-1}$  no  $\text{Co(OH)}_2$ . Estas bandas foram facilmente atribuídas ao estiramento O-H, que pertence à espécie de simetria  $A_{2u}$ .

A Figura 7 apresenta o espectro do  $\text{Mg(OD)}_2$ , com a deuteração o estiramento O-H do  $\text{Mg(OH)}_2$  deslocou-se para  $2725\text{ cm}^{-1}$ . A razão isotópica H/D dos números de onda observados,  $3698/2725 = 1,357$  tem uma boa concordância com a esperada 1.374 para o movimento do estiramento O-H puro (Tabela 4). Verificamos que o valor é muito próximo da razão isotópica do sistema semelhante  $\text{LiOH/LiOD}$  ( $3679/2713 = 1,356$ ) estudado por Hase e Yoshida [79]. Trabalhos realizados anteriormente mostram que, em geral, a regra isotópica do produto utilizando um modelo harmônico funciona razoavelmente bem para sistemas sólidos cristalinos, melhor que a razão isotópica de um movimento puro [76,79-82]. A partir das regras isotópicas do produto, esperamos para a segunda banda de simetria  $A_{2u}$ , cujo modo vibracional é descrito para o movimento translacional do grupo O-H uma razão de 1.022.

As Figuras de 8 a 11 mostram respectivamente, os espectros no infravermelho dos compostos  $\text{Ni(OH)}_2$ ,  $\text{Co(OH)}_2$  e  $\text{Mg(OD)}_2$  na região compreendida entre  $700 - 200\text{ cm}^{-1}$ . No espectro do  $\text{Mg(OH)}_2$  (Figura 8), podemos observar uma banda larga em  $462\text{ cm}^{-1}$  acompanhada de mais três bandas em 625, 562,  $368\text{ cm}^{-1}$ . No espectro do  $\text{Ni(OH)}_2$  (Figura 9), e do  $\text{Co(OH)}_2$  (Figura 10) observamos três bandas em 549, 451,  $348\text{ cm}^{-1}$  e em 492, 451,  $309\text{ cm}^{-1}$ , respectivamente. A banda característica em  $462\text{ cm}^{-1}$  no  $\text{Mg(OH)}_2$ , corresponde à observada em  $549\text{ cm}^{-1}$  no  $\text{Ni(OH)}_2$  e em  $492\text{ cm}^{-1}$  no  $\text{Co(OH)}_2$ , baseando-se nas larguras das bandas. É delicado relacionar diretamente as demais por analogia, devido à semelhança nas formas, larguras e intensidades das bandas de um mesmo composto. O espectro do  $\text{Mg(OD)}_2$  nesta região, é apresentado na Figura 11, comparando com a Figura 8 verificamos que as posições das bandas do  $\text{Mg(OH)}_2$ , são afetadas com a deuteração. Podemos observar no espectro do  $\text{Mg(OD)}_2$  (Figura 11) uma banda larga e

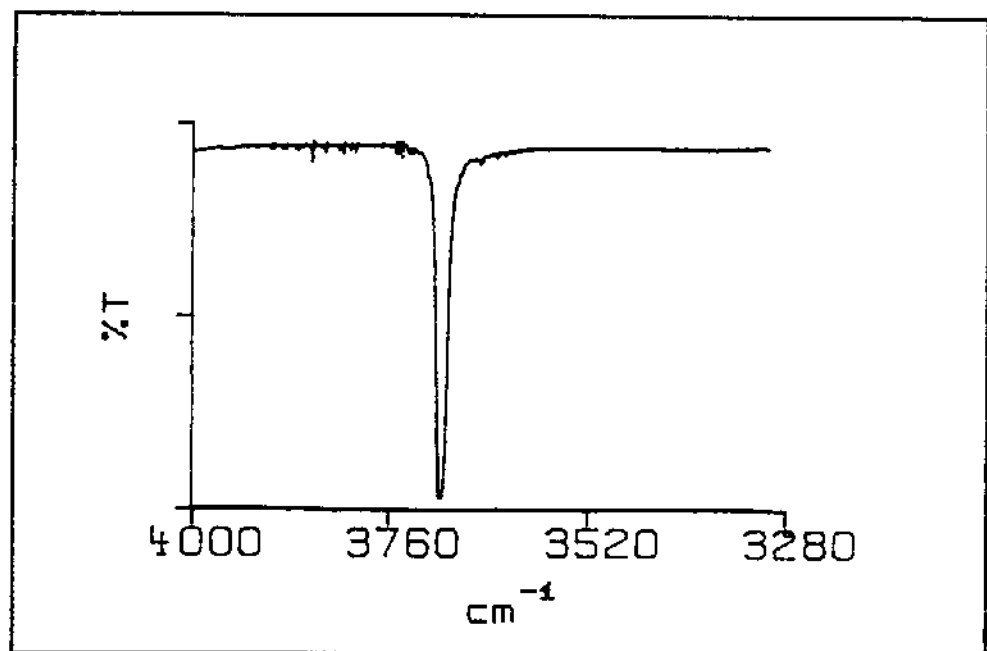


Figura 4 - Espectro no Infravermelho ( $4000\text{-}3280 \text{ cm}^{-1}$ ) do  $\text{Mg(OH)}_2$

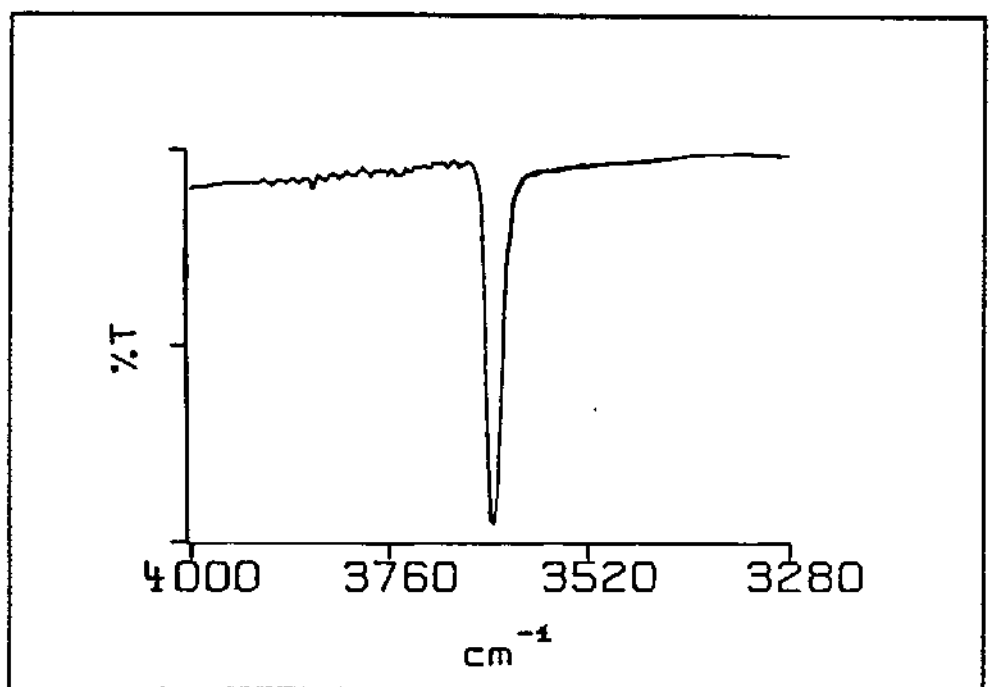


Figura 5 - Espectro no Infravermelho ( $4000\text{--}3280\text{ cm}^{-1}$ ) do  $\text{Ni(OH)}_2$

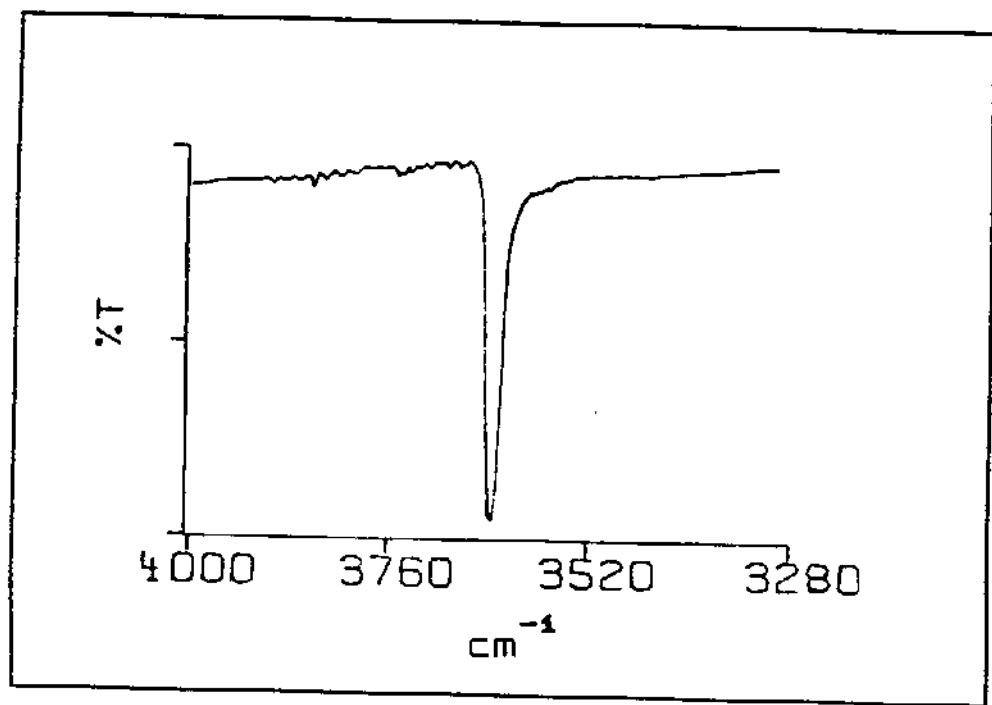


Figura 6 - Espectro no Infravermelho (4000-3280 cm<sup>-1</sup>) do Co(OH)<sub>2</sub>

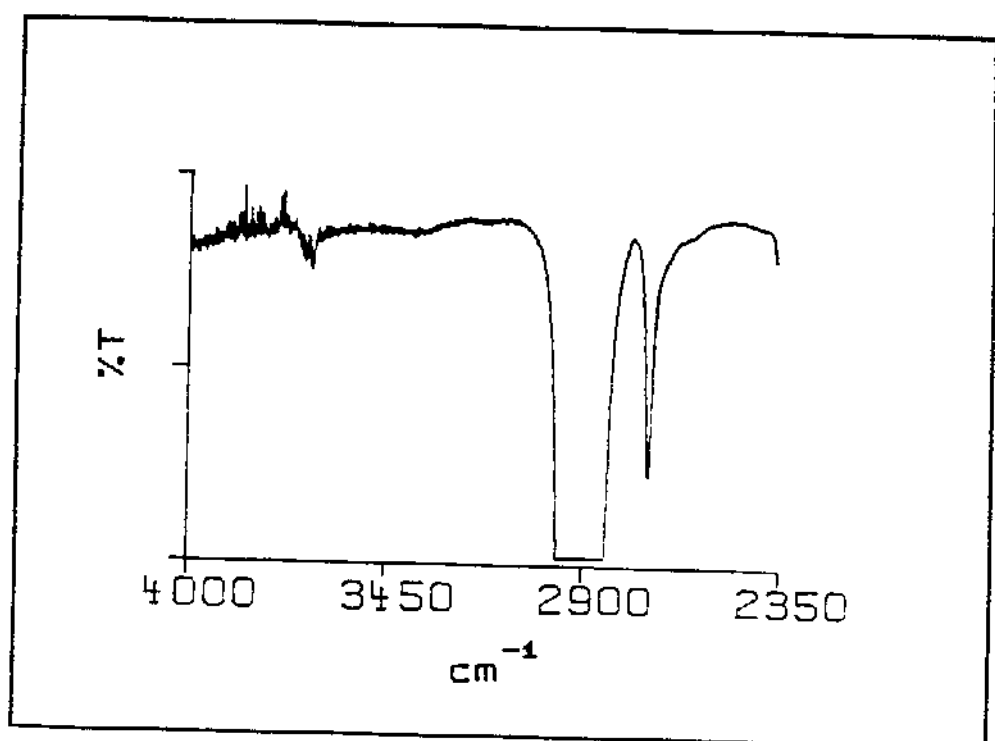


Figura 7 - Espectro no Infravermelho ( $4000\text{--}2350\text{ cm}^{-1}$ ) do  $\text{Mg}(\text{OD})_2$

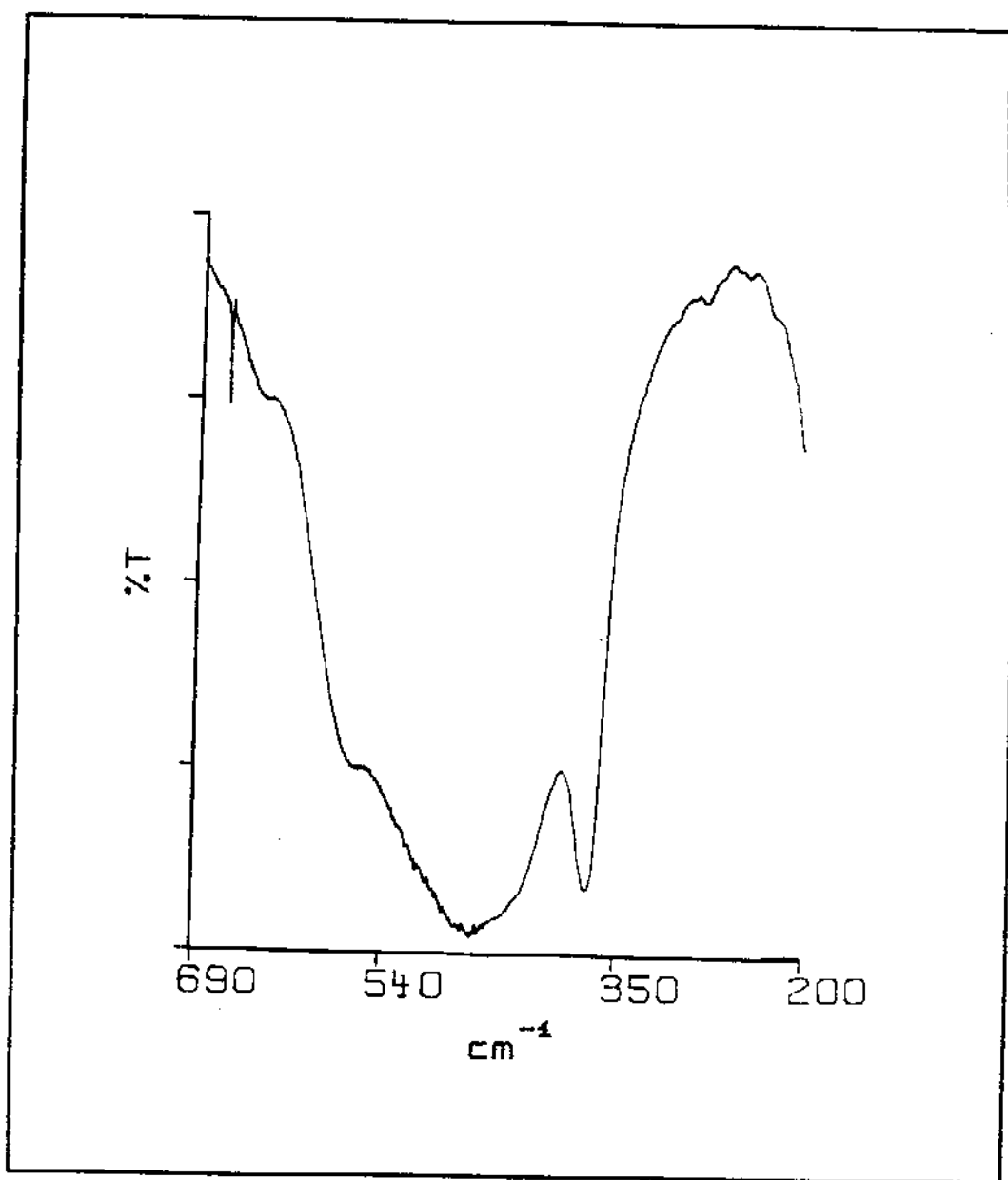


Figura 8 - Espectro no infravermelho ( $690 - 200 \text{ cm}^{-1}$ ) do  $\text{Mg(OH)}_2$

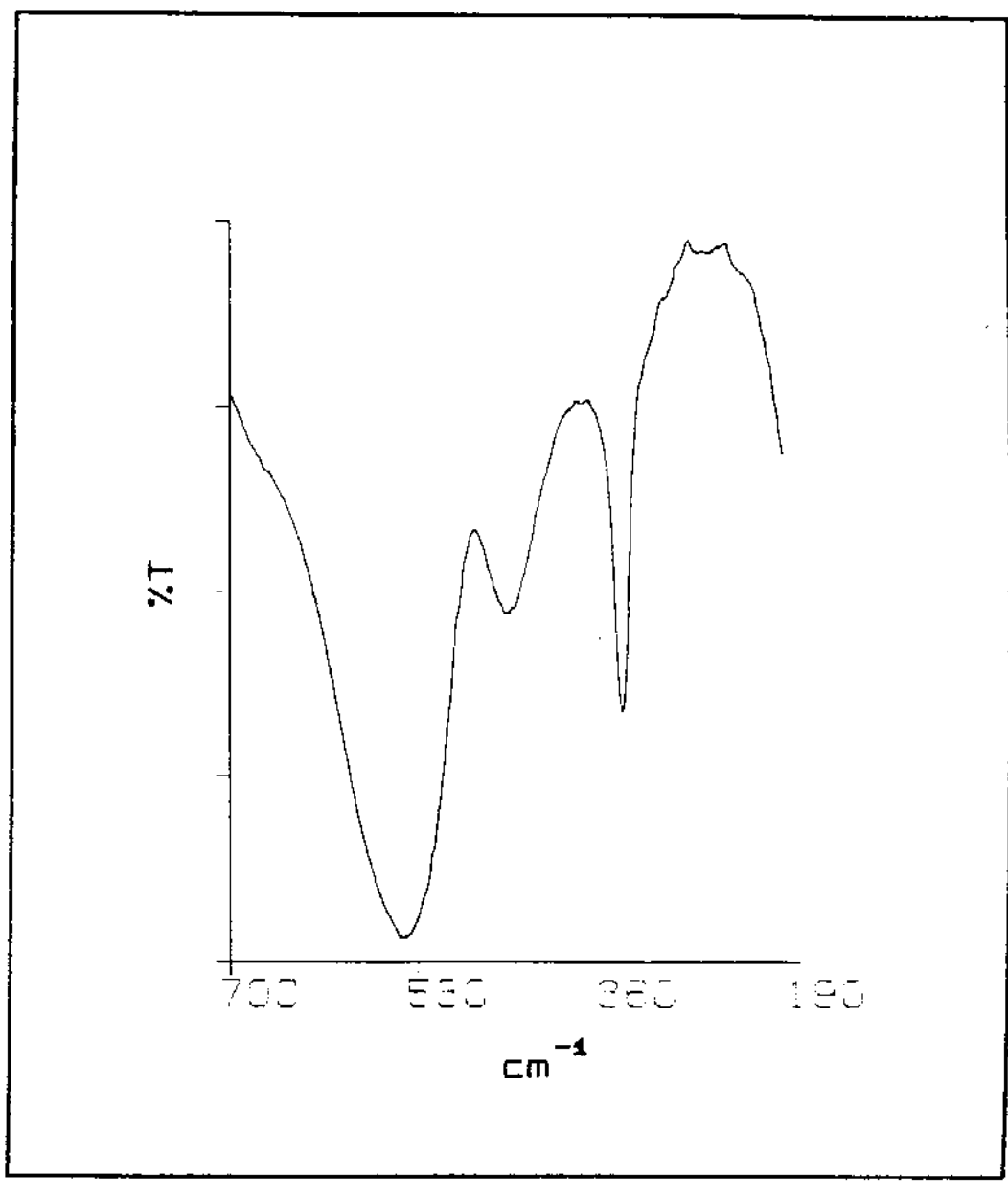


Figura 9 - Espectro no infravermelho ( $700\text{--}200 \text{ cm}^{-1}$ ) do  $\text{Ni(OH)}_2$

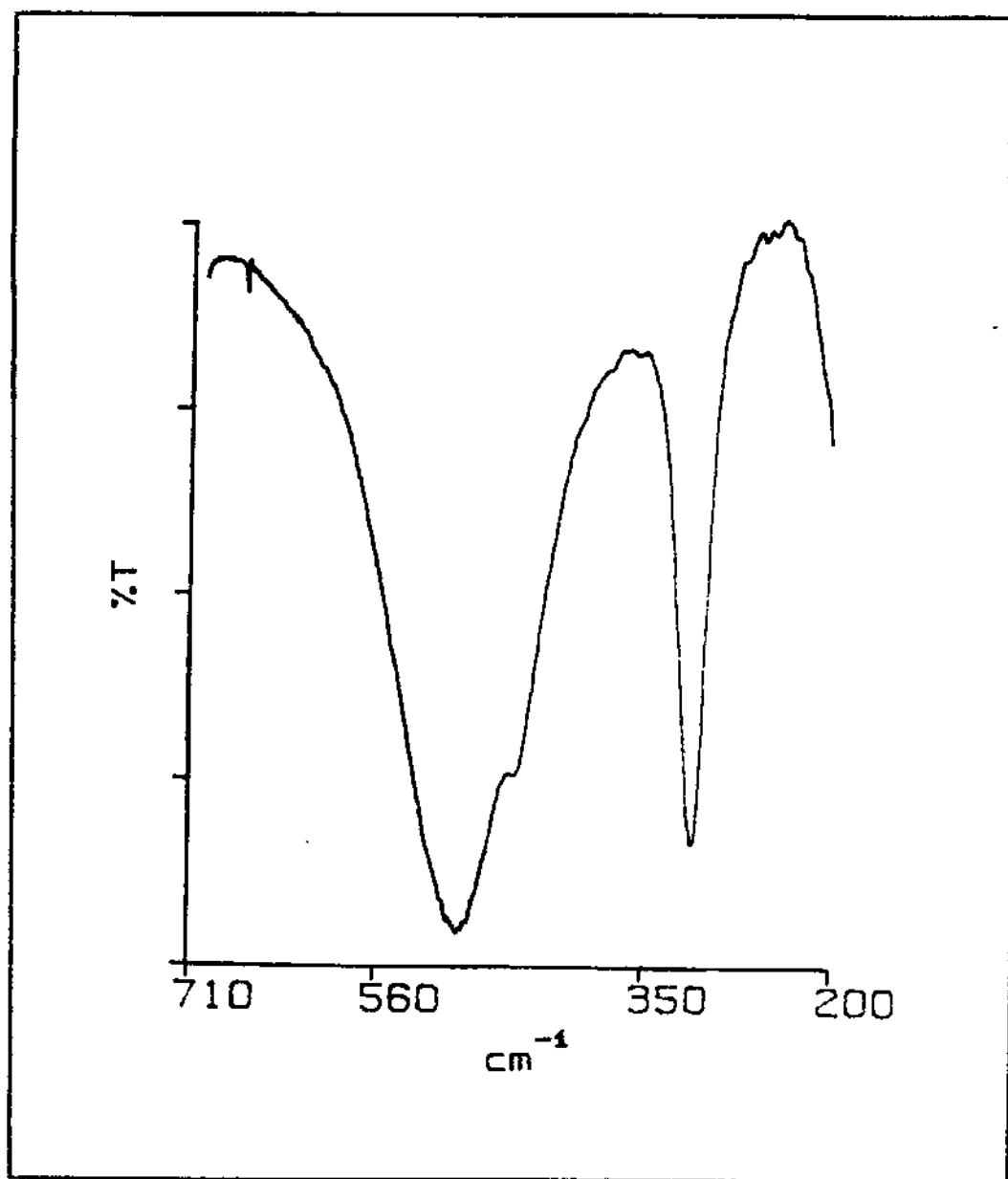


Figura 10 - Espectro no infravermelho ( $710-200\text{ cm}^{-1}$ ) do  $\text{Co(OH)}_2$

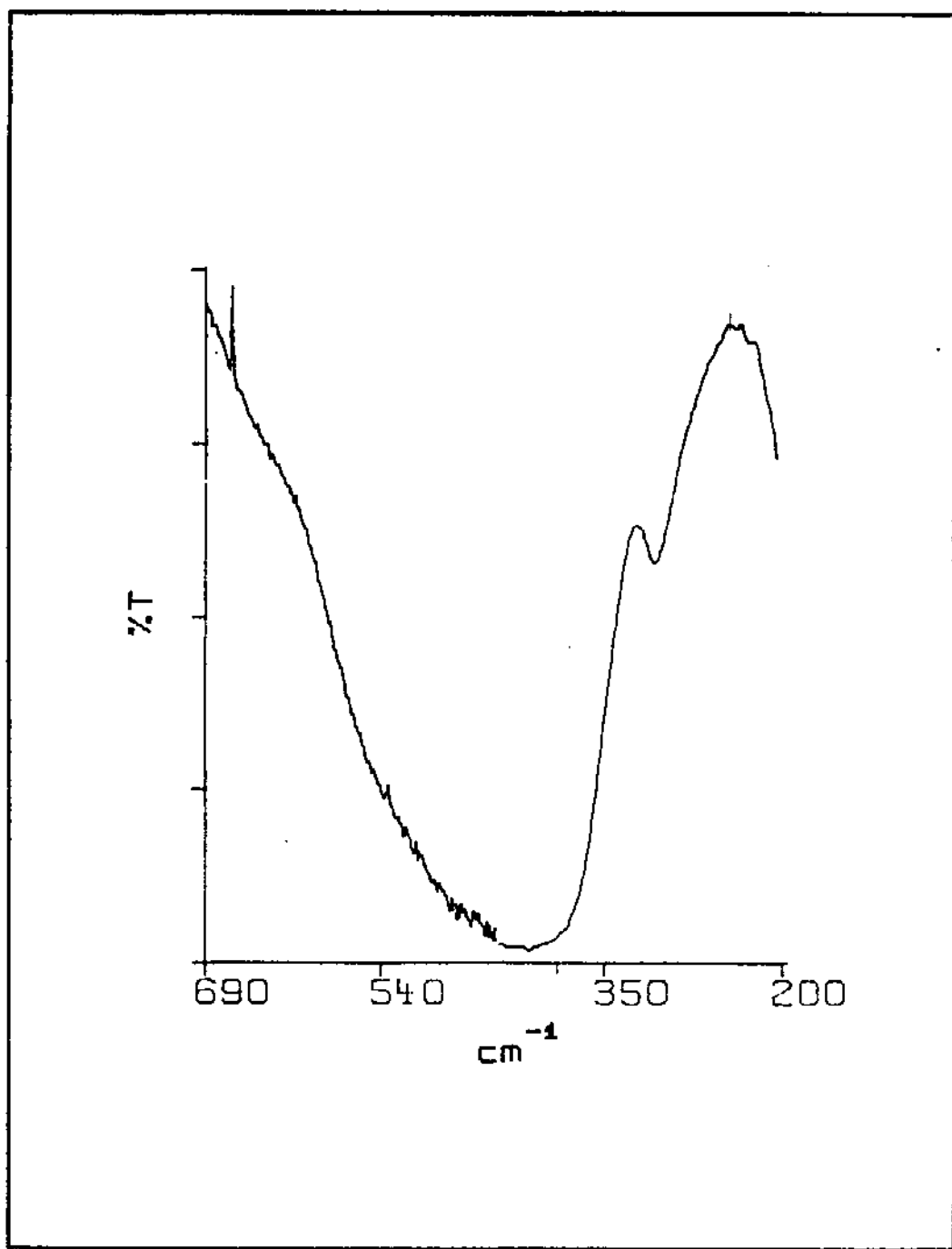


Figura 11 - Espectro no infravermelho ( $690\text{--}200\text{ cm}^{-1}$ ) do  $\text{Mg}(\text{OD})_2$

totalmente assimétrica em torno de  $395\text{ cm}^{-1}$  e outra relativamente fina em torno de  $305\text{ cm}^{-1}$ .

A banda larga característica em  $462\text{ cm}^{-1}$  no  $\text{Mg(OH)}_2$  é observada no  $\text{Mg(OD)}_2$  em  $395\text{ cm}^{-1}$ , a razão isotópica H/D é  $462/395 = 1,170$ , este valor é alto para atribuirmos ao modo translacional do grupo O-H. Posto que, o resultado da razão isotópica H/D de 1,170 é intermediário entre o esperado para o movimento translacional e rotacional do grupo O-H puro (Tabela 4), atribuímos esta banda, espécie de simetria  $E_u$ .

Comparando a banda posicionada em  $305\text{ cm}^{-1}$  no  $\text{Mg(OD)}_2$ , com as observadas em 625, 562 e 368 no  $\text{Mg(OH)}_2$  verificamos razão isotópica H/D de 2,049, 1,843, 1,206, respectivamente. Esses resultados não são próximos do esperado para a segunda banda da espécie  $A_{2u}$ , de 1,022. Por outro lado, verificamos na Tabela 4 que para os modos vibracionais acoplados, a razão isotópica H/D teórica para a especie  $E_u$  é de 1,390, portanto, para a segunda banda, espera-se uma razão isotópica de aproximadamente 1,188 ( $1,390 = 1,188 \times 1,170$ ). Este valor é próximo do encontrado para a banda em  $368\text{ cm}^{-1}$  (1,206). Portanto esta banda e sua correspondente em  $305\text{ cm}^{-1}$  no  $\text{Mg(OD)}_2$  podem ser atribuidas a espécie de simetria  $E_u$ . O resultado da razão isotópica nos mostra a existência de acoplamento dos modos rotacional e translacional do grupo O-H de simetria  $E_u$ .

Resta, ainda, atribuir no  $\text{Mg(OH)}_2$  as duas bandas observadas em 625 e  $562\text{ cm}^{-1}$ , uma delas deverá ser atribuída ao movimento translacional do grupo O-H de simetria  $A_{2u}$ , onde o efeito isotópico H/D é esperado com a razão de aproximadamente 1,022. Considerando a posição destas bandas, podemos prever no espectro do  $\text{Mg(OD)}_2$  uma banda em torno de  $607\text{ cm}^{-1}$  correspondendo à em  $625\text{ cm}^{-1}$   $\text{Mg(OH)}_2$ , ou uma em  $546\text{ cm}^{-1}$  correspondendo à em  $562\text{ cm}^{-1}$ . Observando o espectro do  $\text{Mg(OD)}_2$  (Figura 11) verificamos que a banda característica em  $395\text{ cm}^{-1}$ , mostra-se larga e assimétrica, sugerindo a presença de um ombro em torno de  $540\text{ cm}^{-1}$ . Portanto, é razoável atribuir a banda em  $562\text{ cm}^{-1}$  ao modo translacional do grupo O-H da espécie de simetria  $A_{2u}$ .

Utilizando os dados espectrais observados nos  $\text{Mg}_{x}\text{Ni}_{1-x}(\text{OH})_2$ , que discutiremos com maiores detalhes no próximo

capítulo, verificamos que as bandas observadas em 562 e  $348 \text{ cm}^{-1}$  no  $\text{Mg(OH)}_2$  podem ser correlacionadas às observadas em 451 e  $348 \text{ cm}^{-1}$ , no  $\text{Ni(OH)}_2$ , respectivamente. Estas bandas correspondem no  $\text{Co(OH)}_2$  às observadas em 451 e  $309 \text{ cm}^{-1}$ , respectivamente.

Aplicando a técnica computacional de deconvolução de bandas experimentais, nas bandas observadas na região de vibração externa do  $\text{Mg(OH)}_2$  e  $\text{Ni(OH)}_2$ , o contorno do espectro, cuja função de apodização é Happ-Genzel, reproduziu satisfatoriamente as três bandas observadas, ajustando a assimetria das bandas largas com componentes adicionais. A deconvolução das bandas espectrais foram realizados usando um programa FIT [83], cujos dados foram lidos em pontos x,y através de uma mesa digitadora.

O resultado da deconvolução das bandas do  $\text{Mg(OH)}_2$ , é apresentado na Figura 12. Como pode ser visto nesta figura, o contorno no espectro foi reconstituído usando as componentes principais posicionadas em 650, 565, 462 e  $367 \text{ cm}^{-1}$ , juntamente com as componentes necessárias para o ajuste da assimetria das bandas em 447 e  $393 \text{ cm}^{-1}$ . O resultado da deconvolução das bandas do  $\text{Ni(OH)}_2$  é apresentado na Figura 13. Por esta figura podemos verificar que, o contorno das bandas também foi reproduzido utilizando três componentes posicionadas em: 550, 450 e  $348 \text{ cm}^{-1}$ , juntamente com as componentes adicionais em 606 e  $379 \text{ cm}^{-1}$ , necessárias para reproduzir a assimetria das bandas. Em geral, os números de onda das componentes principais obtidas, mostram valores com uma boa concordância com os observados experimentalmente.

Como pode ser visto na Figura 14, o resultado da deconvolução das bandas do  $\text{Mg(OD)}_2$  nesta região mostra que o contorno no espectro também foi reconstituído usando componentes principais posicionadas em: 650, 538, 393 e  $304 \text{ cm}^{-1}$  juntamente com as componentes em 445 e  $273 \text{ cm}^{-1}$  para o ajuste da assimetria. A banda característica observada no  $\text{Mg(OD)}_2$  em  $395 \text{ cm}^{-1}$  foi reconstituída através de duas componentes: 538,  $393 \text{ cm}^{-1}$ . A análise do deslocamento isotópico H/D das componentes discriminadas no processo de deconvolução, para a componente em  $565 \text{ cm}^{-1}$  no  $\text{Mg(OH)}_2$ , e sua correspondente em 538

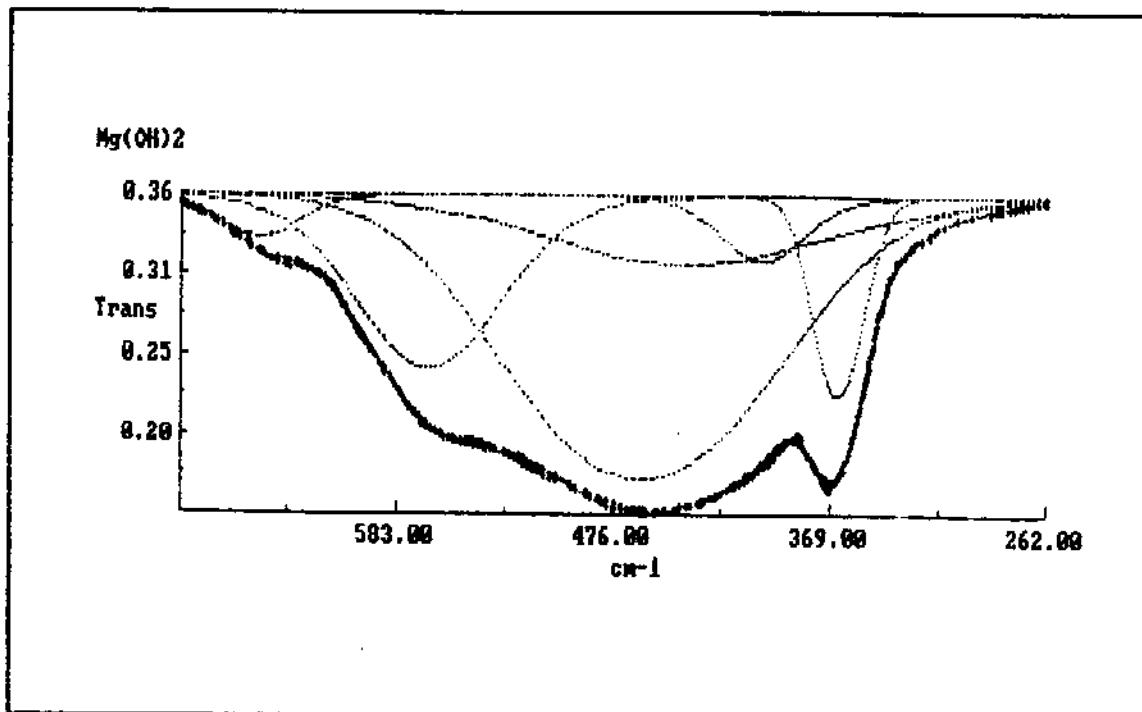


Figura 12 - Deconvolução do espectro no infravermelho  
( 690-262  $\text{cm}^{-1}$  ) do  $\text{Mg}(\text{OH})_2$

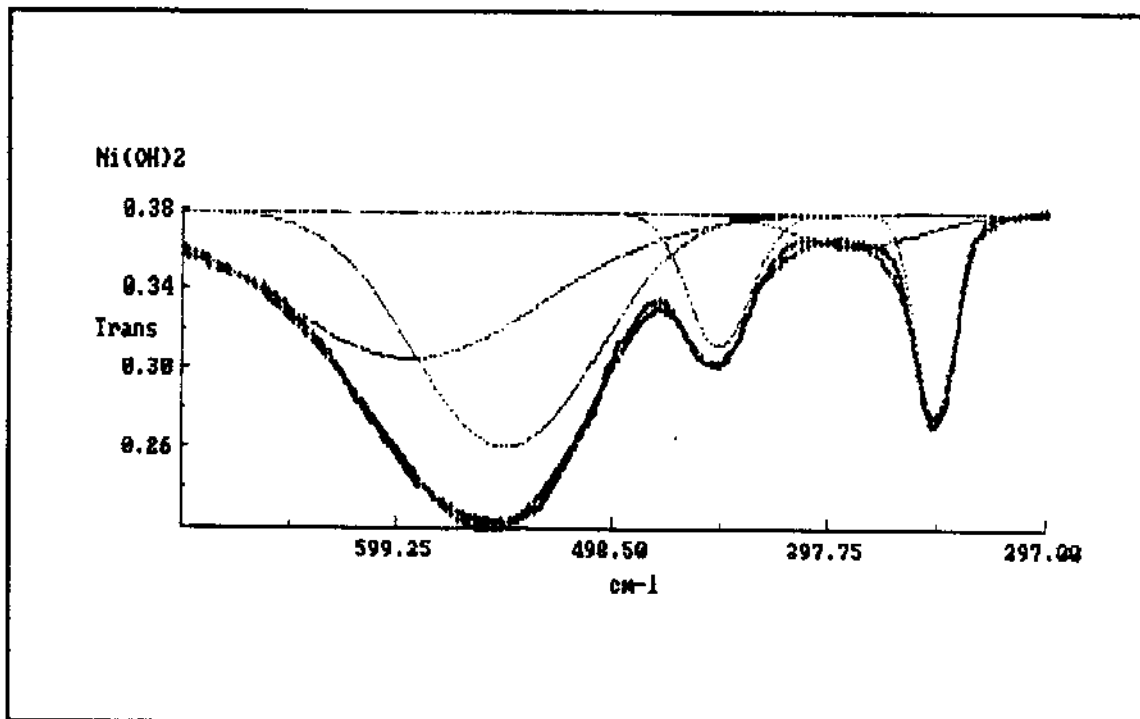


Figura 13 - Deconvolução do espectro no infravermelho ( $700\text{-}297 \text{ cm}^{-1}$ ) do  $\text{Ni(OH)}_2$

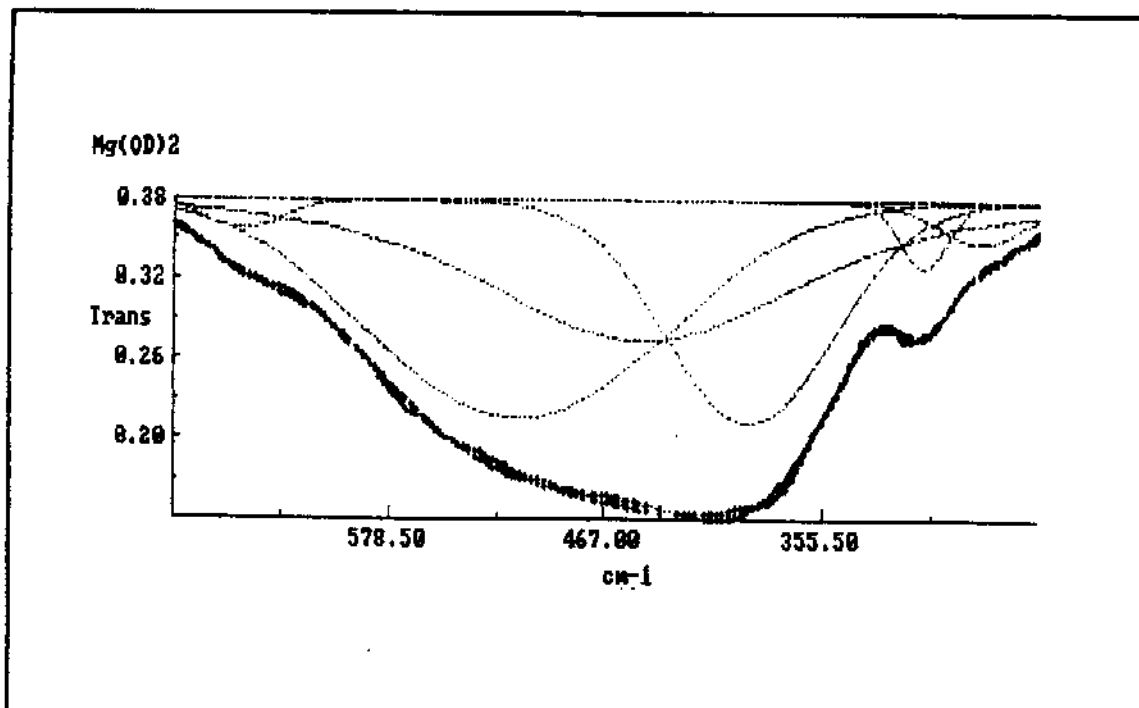


Figura 14 - Deconvolução do espectro no infravermelho ( $690\text{--}243 \text{ cm}^{-1}$ ) do  $\text{Mg}(\text{OD})_2$

$\text{cm}^{-1}$  no  $\text{Mg}(\text{OD})_2$ , mostra razão isotópica de 1,050, este valor sugere a atribuição ao modo translacional do grupo O-H de simetria  $A_{2u}$ , uma vez que está próximo do esperado (1,022).

Os resultados obtidos com programa FIT dos compostos descritos encontram-se na Tabela 9. A forma de cada banda foi ajustada utilizando um produto das funções Cauchy e Gauss. De maneira geral, as componentes apresentaram uma tendência à forma gaussiana significativa.

A Figura 15 mostra o espectro Raman do  $\text{Mg}(\text{OD})_2$  na região de 4000 a 500  $\text{cm}^{-1}$ , onde podemos observar o estiramento O-D em 2698  $\text{cm}^{-1}$ . Até o momento não foram observadas bandas na região de baixo número de onda. Já nos  $\text{Mg}(\text{OH})_2$  e  $\text{Co}(\text{OH})_2$  os estiramendos O-H de simetria  $A_{1g}$  foram observados em 3651 e 3573  $\text{cm}^{-1}$ , respectivamente. As Figuras 16 e 17 mostram os espectros Raman do  $\text{Ni}(\text{OH})_2$ , onde podemos verificar que estiramento O-H de simetria  $A_{1g}$  é observado em 3581  $\text{cm}^{-1}$  (Figura 16), e na região de vibração externa, enquanto esperava-se três bandas fundamentais, observou-se apenas duas em, 449 e 315  $\text{cm}^{-1}$  (Figura 17). É interessante destacar que estas bandas apresentaram a mesma intensidade relativa. A análise do espectro Raman do  $\text{Ni}(\text{OH})_2$  na região de vibração externa não pode ser discutida nesta tese, pois falta dados suficientes, porém os cálculos de análise de coordenadas normais que discutiremos com maiores detalhes pela frente, indicam a possibilidade de atribuirmos as bandas em 449 e 315  $\text{cm}^{-1}$ , às espécies de simetria  $A_{1g}$  e  $E_g$ , respectivamente.

Os valores dos números de onda ( $\text{cm}^{-1}$ ) e intensidades relativas observados nos espectros no infravermelho e Raman dos compostos discutidos, juntamente com os números de onda dos estiramendos O-H e O-D dos  $\text{Mg}(\text{OH},\text{D})_2$  e  $\text{Ni}(\text{OH},\text{D})_2$ , encontram-se na Tabela 10, e na Tabela 11 o resultado experimental proveniente da razão isotópica H/D observado no  $\text{Mg}(\text{OH})_2/\text{Mg}(\text{OD})_2$ .

Comparando os dados apresentados na Tabela 10 com os da Tabela 2 podemos observar que na região de baixo número de onda dos estudos relatados na literatura, somente o trabalho de Buchanan e colaboradores [17], a posição

**Tabela 9 – Resultado Final da Deconvolução das Bandas Experimentais dos  $Mg(OH)_2$ ,  $Mg(OD)_2$  e  $Ni(OH)_2$**

| Composto   | Posição das Componentes | $H_w$ | Forma  |
|------------|-------------------------|-------|--------|
| $Mg(OH)_2$ |                         |       |        |
|            | 650                     | 40    | 0,1672 |
|            | 565                     | 81    | 0,4076 |
|            | 462                     | 132   | 0,1743 |
|            | 367                     | 26    | 0,2982 |
|            | 447                     | 151   | 0,5083 |
|            | 393                     | 66    | 0,1959 |
| $Mg(OD)_2$ |                         |       |        |
|            | 650                     | 53    | 0,0524 |
|            | 538                     | 159   | 0,1626 |
|            | 393                     | 93    | 0,4701 |
|            | 304                     | 29    | 0,1038 |
|            | 445                     | 167   | 0,3764 |
|            | 273                     | 56    | 0,1325 |

Tabela 9 - Continuação

| Composto          | Posição das Componentes | $H_v$ | Forma  |
|-------------------|-------------------------|-------|--------|
| $\text{Ni(OH)}_2$ |                         |       |        |
|                   | 550                     | 91    | 0,2381 |
|                   | 450                     | 34    | 0,4826 |
|                   | 348                     | 20    | 0,3115 |
|                   | 606                     | 130   | 0,6405 |
|                   | 379                     | 65    | 0,3118 |

Posição das componentes em  $\text{cm}^{-1}$

Área T = área em transmitância

Forma = a razão da forma Cauchy/Gauss

1,0 para Cauchy pura

0,0 para Gauss pura

$H_v$  = largura à meia-altura em  $\text{cm}^{-1}$

Resolvido com uma função produto Cauchy Gauss

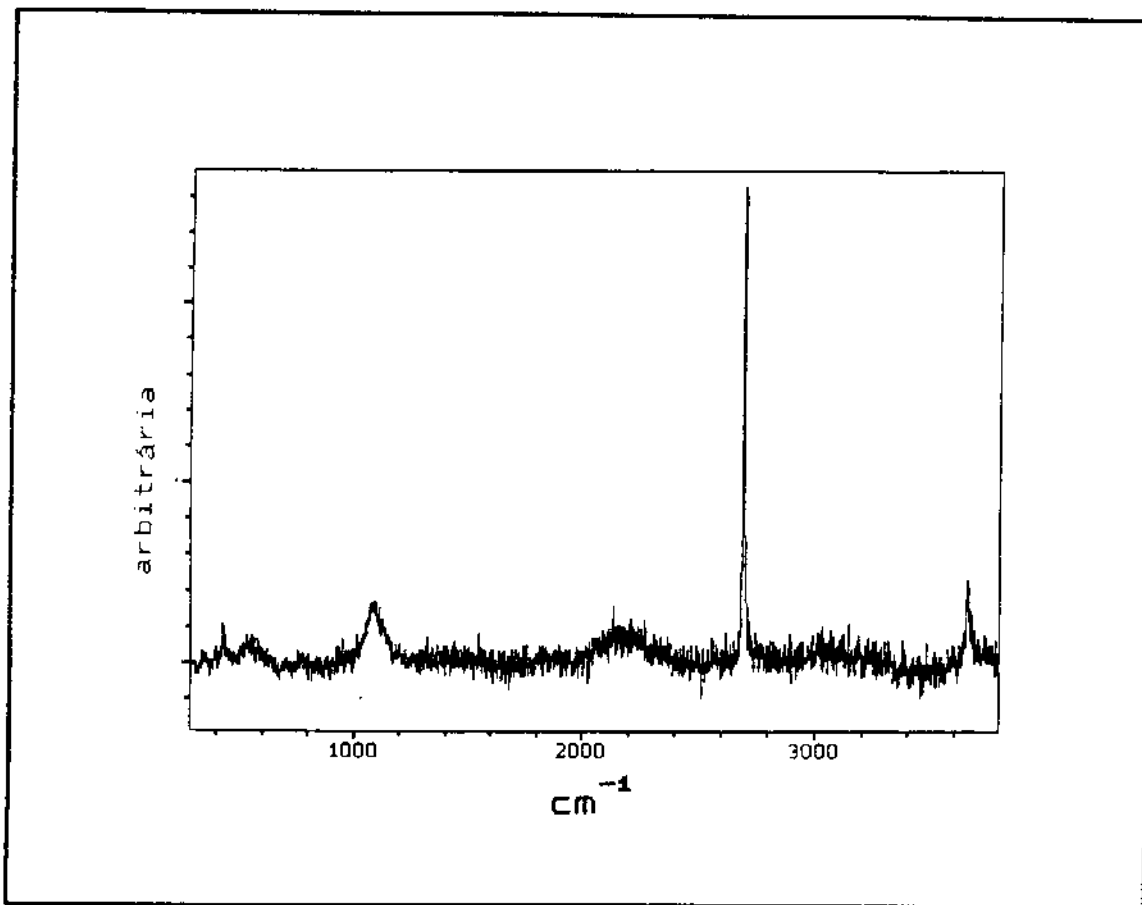


Figura 15 – Espectro Raman ( $4000\text{--}500\text{ cm}^{-1}$ ) do  $\text{Mg}(\text{OD})_2$

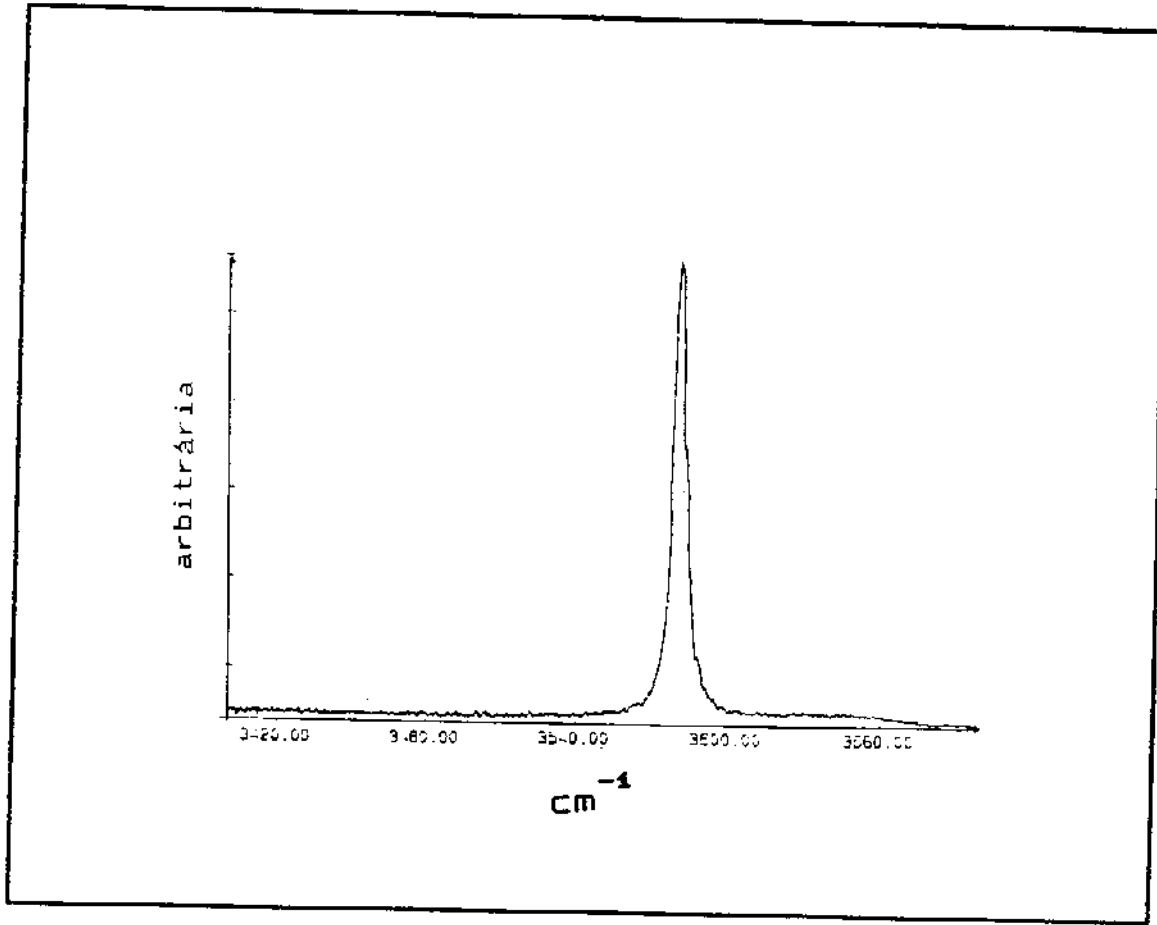


Figura 16 - Espectro Raman ( $3660$ - $3420\text{ cm}^{-1}$ ) do  $\text{Ni(OH)}_2$

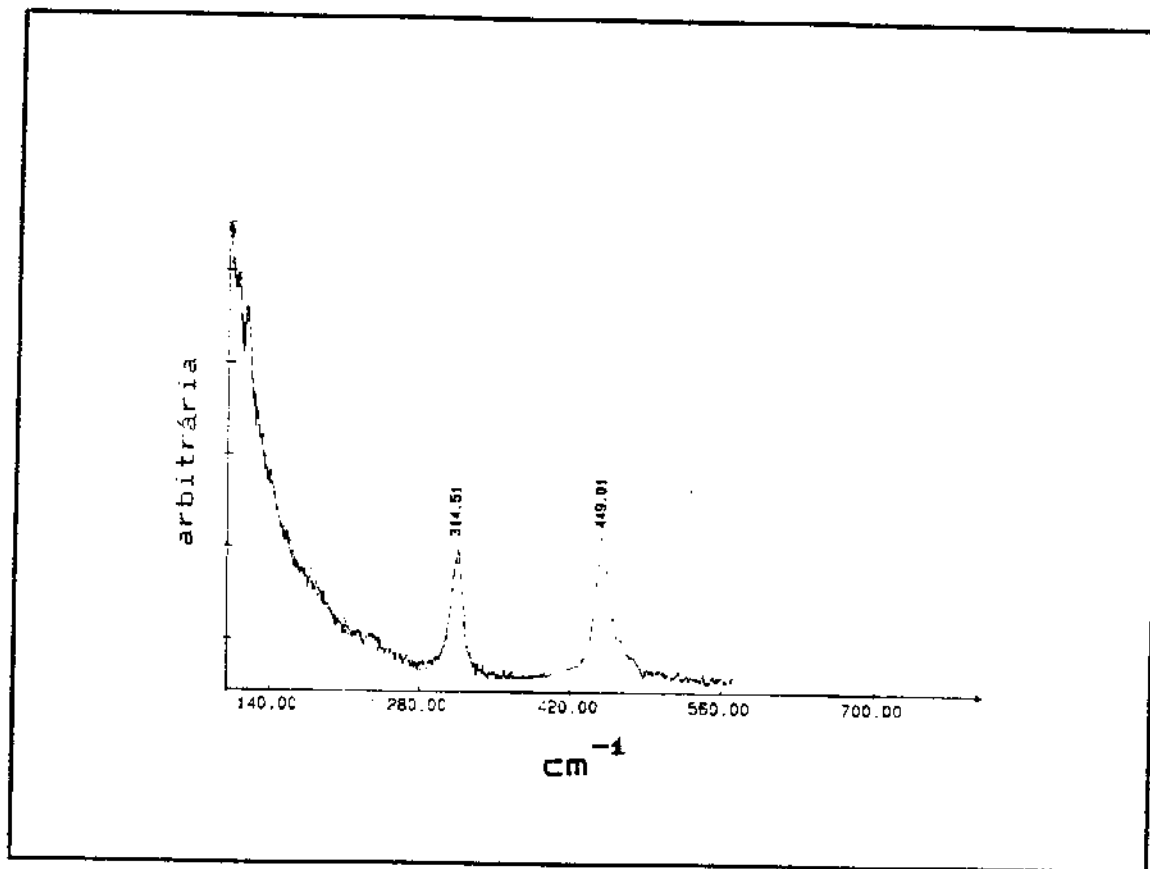


Figura 17 - Espectro Raman ( $700\text{--}140\text{ }\text{cm}^{-1}$ ) do  $\text{Ni(OH)}_2$

Tabela 10 - Dados Espectrais Observados nos  $Mg(OH)_2$ ,  $Mg(OD)_2$ ,  
 $Mg(OH,D)_2$ ,  $Ni(OH)_2$ ,  $Ni(OH,D)_2$  e  $Co(OH)_2$

| $Mg(OH)_2$ | $Mg(OD)_2$ | $Mg(OH,D)_2$ | $Ni(OH)_2$ | $Ni(OH,D)_2$ | $Co(OH)_2$       |
|------------|------------|--------------|------------|--------------|------------------|
| 3698 MF    |            | 3677 MF      | 3635 MF    | 3630 MF      | 3632 MF $A_{2u}$ |
| 3651*      |            |              | 3581* MF   |              | 3573* $A_{1g}$   |
|            | 2725 MF    | 2712 F       |            | 2666 F       | $A_{2u}$         |
|            | 2698*      |              |            |              | $A_{1g}$         |
| 625 + (?)  |            |              |            |              |                  |
| 562 m      | 540 m. om  |              | 451 m      |              | 451 m $A_{2u}$   |
|            |            |              | 449* m     |              | $A_{1g}$         |
| 462 F. l   | 395 F      |              | 549 F. l   |              | 492 F $E_u$      |
| 368 F      | 305 +      |              | 348 F      |              | 309 F $E_u$      |
|            |            |              | 315* m     |              | $E_g$            |

MF = muito forte, F = forte, m = media, f = fraca, l = larga,  
 om = ombro, \* = dados Raman.

Tabela II - Razões Isotópicas H/D Experimentais  $Mg(OH)_2/Mg(OD)_2$

| $\nu_H/\nu_D = R_{H/D}$      | Descrição aproximada do modo de vibração | Especie de Simetria |
|------------------------------|--|---------------------|
| $3698/2725 = 1,357$          | $\nu(O-H)$                               | $A_{2u}$            |
| $562/540 = 1,041$            | $T(O-H)$                                 | $A_{2u}$            |
| $1.357 \times 1.041 = 1,413$ |  | $E_u$               |
| $462/395 = 1,170$            | $T(O-H) + R(O-H)$                        | $E_u$               |
| $368/305 = 1,207$            | $T(O-H) + R(O-H)$                        | $E_u$               |
| $1,170 \times 1,207 = 1,412$ |  | $E_u$               |

$\nu$  = Estiramento

T = Vibração translacional

R = Vibração rotacional

das bandas do  $Mg(OH)_2$  têm razoável concordância com os valores observados por nós. Por outro lado, as atribuições não são concordantes.

Embora muitos dos estudos realizados anteriormente utilizaram-se o efeito isotópico H/D para atribuir as bandas de vibrações de rede, nenhum deles consideraram o acoplamento entre os modos rotacional e translacional do O-H de simetria  $E_u$ .

Comparando o número de onda do estiramento O-H das espécies  $A_{1g}$  e  $A_{2u}$  do LiOH [79], verificamos que se posicionam em 3663 e  $3679\text{ cm}^{-1}$ , respectivamente, a magnitude de separação observada é de  $16\text{ cm}^{-1}$ . Nos  $Mg(OH)_2$ ,  $Ni(OH)_2$ ,  $Co(OH)_2$  e  $Mg(OD)_2$ , o estiramento O-H da espécie  $A_{1g}$  se posicionam em 3651, 3581, 3573 e  $2698\text{ cm}^{-1}$  e da espécie  $A_{2u}$  em 3698, 3635, 3632 e  $2725\text{ cm}^{-1}$ , respectivamente, também não ocorrem em números de onda próximos. Mostrando uma magnitude de separação de: 47, 54, 59 e  $27\text{ cm}^{-1}$ , respectivamente.

O resultado da comparação dos números de onda do estiramento O-H das espécies  $A_{1g}$  e  $A_{2u}$  mostra que a regra de exclusão mútua Raman-infravermelho, devido a existência do centro de simetria, é fortemente obedecida. As expressivas diferenças nas posições das bandas das espécies  $A_{1g}$  e  $A_{2u}$  indicam a existência de um forte efeito do campo cristalino originado das interações entre os sitios O-H.

É bem estabelecido que o efeito do campo cristalino também pode ser observado nos espectros vibracionais dos compostos parcialmente deuterados, denominados cristais mistos [84~86]. Nos  $M(OH,D)_2$  este efeito pode se manifestar através do deslocamento do número de onda dos estiramentos O-H e O-D, quando comparados, respectivamente, com os  $\nu(O-H)$  do  $M(OH)_2$  e  $\nu(O-D)$  do  $M(OD)_2$ . A fim de investigar este efeito, os espectros no infravermelho dos  $Mg(OH,D)_2$  e  $Ni(OH,D)_2$  foram medidos. Regiões de bandas observadas nos espectros desses compostos encontram-se nas Figuras 18 a 21.

Na Figura 18 é apresentado o espectro do  $Mg(OH,D)_2$ , cerca de 50% deuterado, na região de 4000 a  $2430\text{ cm}^{-1}$ , na Figura 19 os estiramentos O-H e O-D são comparados com os do  $Mg(OH)_2$  e  $Mg(OD)_2$ . Na Figura 19 e Tabela 10, verificamos que o estiramento O-H e o O-D no  $Mg(OH,D)_2$  posicionam-se em  $3677$  e  $2712\text{ cm}^{-1}$ ,

respectivamente, ambos mostrando deslocamentos para número de onda mais baixo, quando comparados, com  $\nu(\text{O-H})$  do  $\text{Mg}(\text{OH})_2$  ( $3698 \text{ cm}^{-1}$ ) e  $\nu(\text{O-D})$  do  $\text{Mg}(\text{OD})_2$  ( $2725 \text{ cm}^{-1}$ ), respectivamente. Este deslocamento origina-se das interações entre os sítios O-H e O-D. No  $\text{Mg}(\text{OH,D})_2$  podemos inicialmente prevê interações do tipo: O-H/O-D, ou O-D/O-D e O-H/O-H. Os valores dos números de onda dos estiramentos O-H ( $3677 \text{ cm}^{-1}$ ) e O-D ( $2712 \text{ cm}^{-1}$ ) no  $\text{Mg}(\text{OH,D})_2$ , apresentam uma correspondência entre a média dos estiramentos O-H das espécies  $A_{1g}$  e  $A_{2u}$  ( $(3651 + 3698) / 2 = 3675$ ) do  $\text{Mg}(\text{OH})_2$  e a média dos estiramentos O-D das espécies  $A_{1g}$  e  $A_{2u}$  ( $(2725 + 2698) / 2 = 2712$ ) do  $\text{Mg}(\text{OD})_2$ , respectivamente.

Como pode ser visto na Figura 20 e Tabela 10, no  $\text{Ni}(\text{OH,D})_2$  também se observa o deslocamento do estiramento O-H para número de onda mais baixo, quando comparado com do  $\text{Ni}(\text{OH})_2$ . Na Figura 21 encontra-se o espectro do  $\text{Ni}(\text{OH,D})_2$  na região de  $4000$  a  $800 \text{ cm}^{-1}$  onde podemos observar a presença de  $\text{D}_2\text{O}$ . Os métodos utilizados para retirá-lo não obtivemos sucesso, de forma que a presença desta impureza na rede cristalina do  $\text{Ni}(\text{OH,D})_2$  comprometeu a análise dos dados experimentais deste composto.

Comparando o número de onda do estiramento O-H da espécie  $A_{2u}$ , verificamos que se posicionam em  $3698$ ,  $3635$  e  $3632 \text{ cm}^{-1}$  no  $\text{Mg}(\text{OH})_2$ ,  $\text{Ni}(\text{OH})_2$  e  $\text{Co}(\text{OH})_2$ , respectivamente, não ocorrem portanto em número de onda próximo. Verificamos em relação ao  $\text{Mg}(\text{OH})_2$ , um deslocamento de  $63 \text{ cm}^{-1}$  no  $\text{Ni}(\text{OH})_2$  e de  $66 \text{ cm}^{-1}$  no  $\text{Co}(\text{OH})_2$ . Com veremos adiante, a análise de coordenadas normais, evidenciou que o íon metálico praticamente não contribui para o modo vibracional interno. Por isso este deslocamento é explicável pela natureza das ligações químicas, ou pelo acoplamento mecânico.

O primeiro investigador a interpretar este fato foi Krishnamurti [47], correlacionando o número de onda do estiramento O-H dos  $\text{MOH}$  e  $\text{M(OH)}_2$  com a distância entre os dois oxigénios da cela de Bravais. Segundo o autor, para sistema O-H...O, quando a distância O...O diminui, a distância H-O aumenta, consequentemente o estiramento O-H desloca para número de onda mais baixo. Esta interpretação mostrou-se adequada aos  $\text{LiOH}$ ,  $\text{NaOH}$  e  $\text{KOH}$ , já os  $\text{Mg}(\text{OH})_2$  e  $\text{Ca}(\text{OH})_2$ , mostrou-se uma tendência contrária.

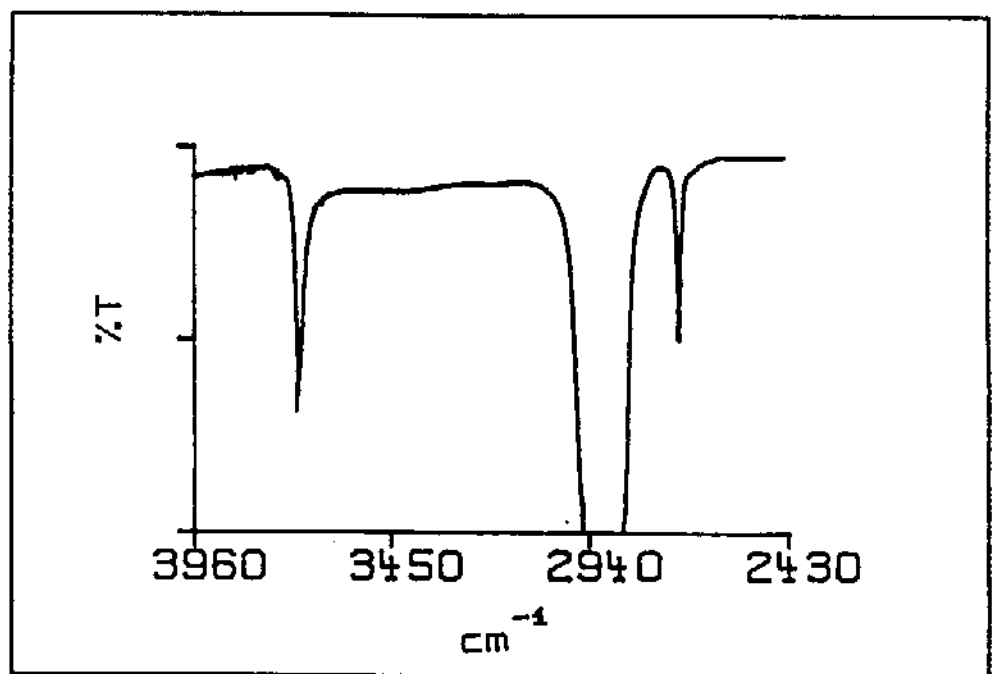


Figura 18 - Espectro no Infravermelho ( $4000-2430 \text{ cm}^{-1}$ ) do  $\text{Mg(OH,D)}_2$

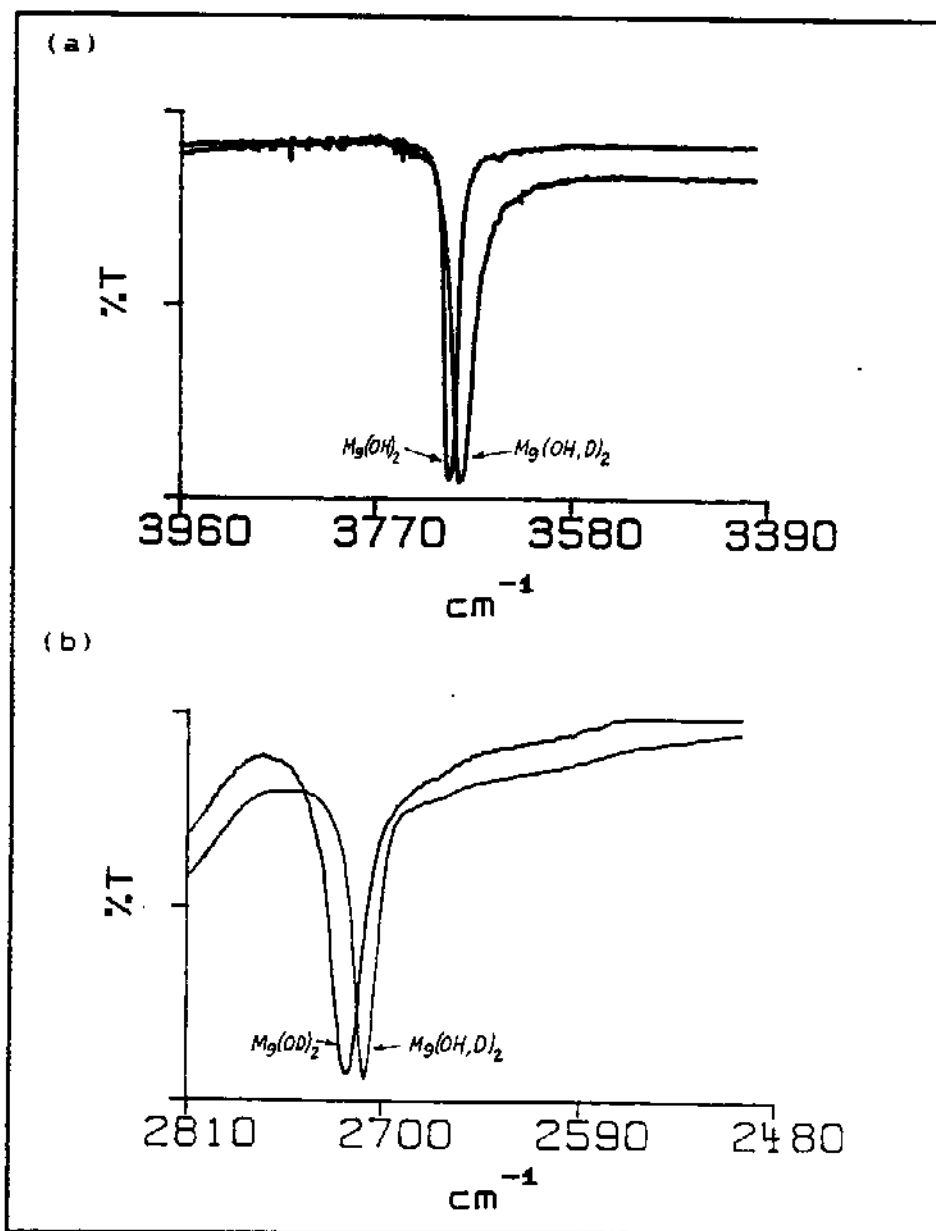


Figura 19 - Espectro no Infravermelho do  $\text{Mg}(\text{OH},\text{D})_2$  comparado  
 (a) - Com o  $\text{Mg}(\text{OH})_2$  ( 3960-3390  $\text{cm}^{-1}$ )  
 (b) - Com o  $\text{Mg}(\text{OD})_2$  ( 2810-2480  $\text{cm}^{-1}$ )

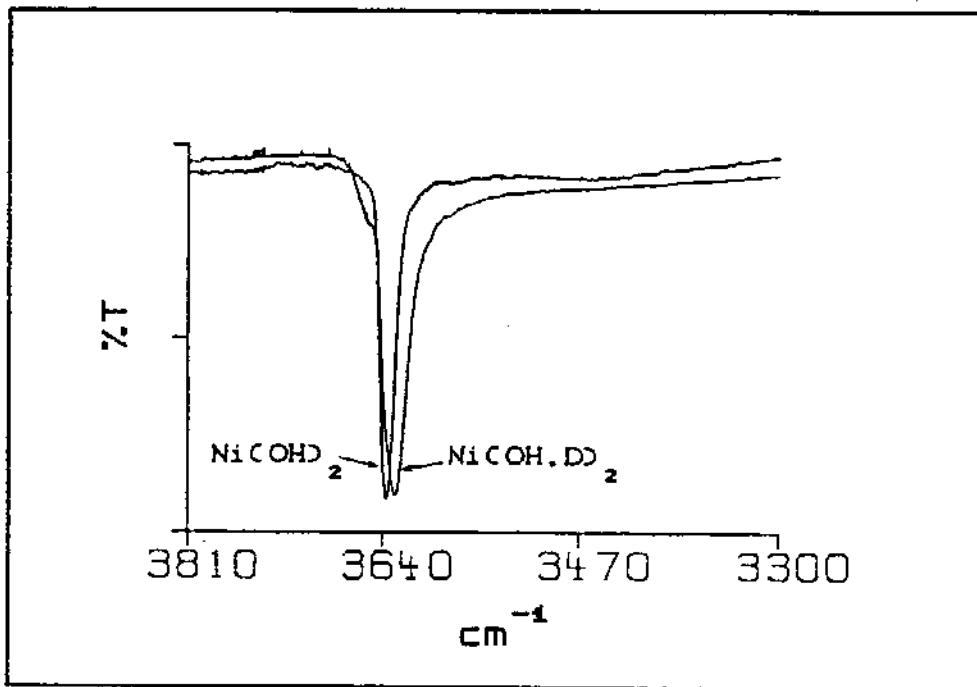


Figura 20 - Espectro no Infravermelho ( $4000\text{--}3300\text{ cm}^{-1}$ ) do  $\text{Ni(OH,D)}_2$  comparado com o  $\text{Ni(OH)}_2$

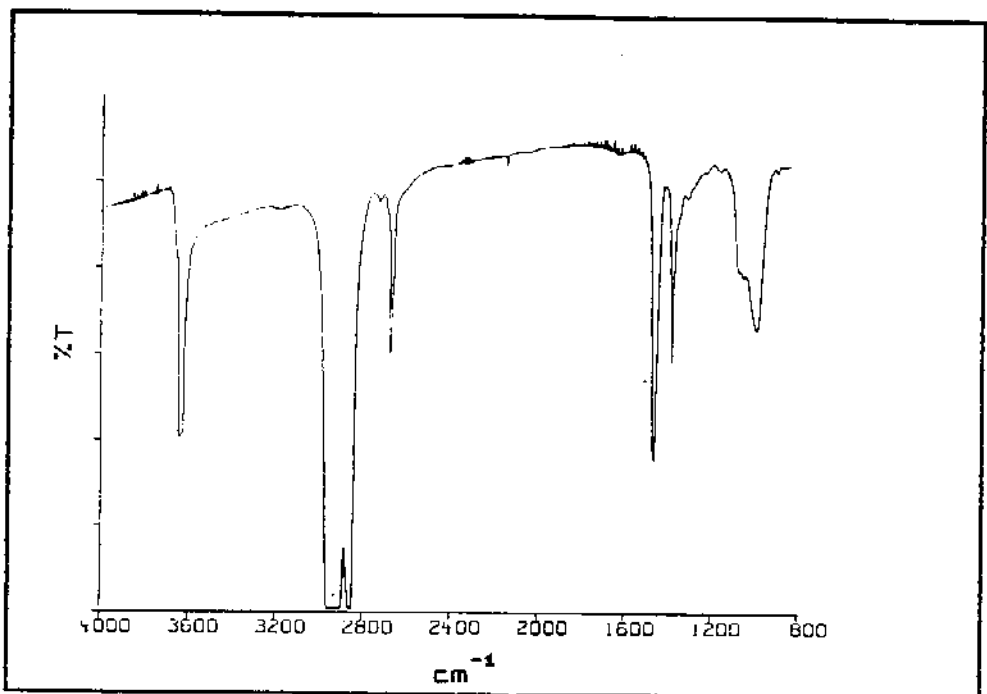


Figura 21 - Espectro no Infravermelho ( $4000\text{--}800\text{ cm}^{-1}$ ) do  $\text{Ni(OH,D)}_2$

deslocamento observado no  $\nu(\text{O-H})$  dos hidróxidos metálicos bivalentes através das distâncias M-O e O..O e concluíram, que o  $\nu(\text{O-H})$  desloca para número de onda mais baixo quando a distância entre duas camadas de oxigénios diminui e o peso atómico do cátion aumenta. A Figura 22 mostra os resultados descritos por estes investigadores.

Podemos verificar na Tabela 12 as distâncias entre os oxigénios e os dados cristalográfico e espectrais dos hidróxidos por nós estudados bem como, os dos LiOH [79,87] e Ca(OH)<sub>2</sub> [14,17] e na Figura 23 encontra-se ilustrada as distâncias O..O utilizada na Tabela 12. Nesta tabela,  $d_3(\text{O..O})$  corresponde à distância O..O correlacionada por Krishnamurti [47] e  $d_4(\text{O..O})$  à correlacionada por Brindley e Kao [67]. Por esta tabela podemos verificar que os parâmetros de rede  $a$  e  $c$  não apresentam uma relação regular com o número de onda do estiramento O-H. Analisando a variação do número de onda do estiramento O-H com as distâncias  $d_1(\text{O..O})$ ,  $d_2(\text{O..O})$ ,  $d_3(\text{O..O})$  e  $d_4(\text{O..O})$ , verificamos que somente  $d_4(\text{O..O})$  mostra um comportamento regular.

Neste contexto, analisando os resultados dos estudos da variação do número de onda do estiramento O-H do Mg(OH)<sub>2</sub> em função da temperatura [63] e da pressão [69], verificamos que no primeiro estudo o estiramento O-H desloca para número de onda mais alto com o aumento de temperatura e no segundo desloca para número de onda mais baixo com o aumento da pressão, o que fortalece a interpretação da variação do número de onda do estiramento O-H em função das distâncias O..O. As relações empíricas entre o número de onda do estiramento O-H e distância entre os átomos para sistemas O-H-O [88-92], apresentam algumas limitações na sua validade, tais como: acoplamentos das bandas, efeito do campo cristalino e geometria da ligação de hidrogénio [88], este fato, nos permite esperar nos nossos compostos, onde se observa o efeito do campo cristalino oriundo das interações entre os sítios O-H, um comportamento irregular da variação de  $d_3(\text{O..O})$  com o número de onda do estiramento O-H.

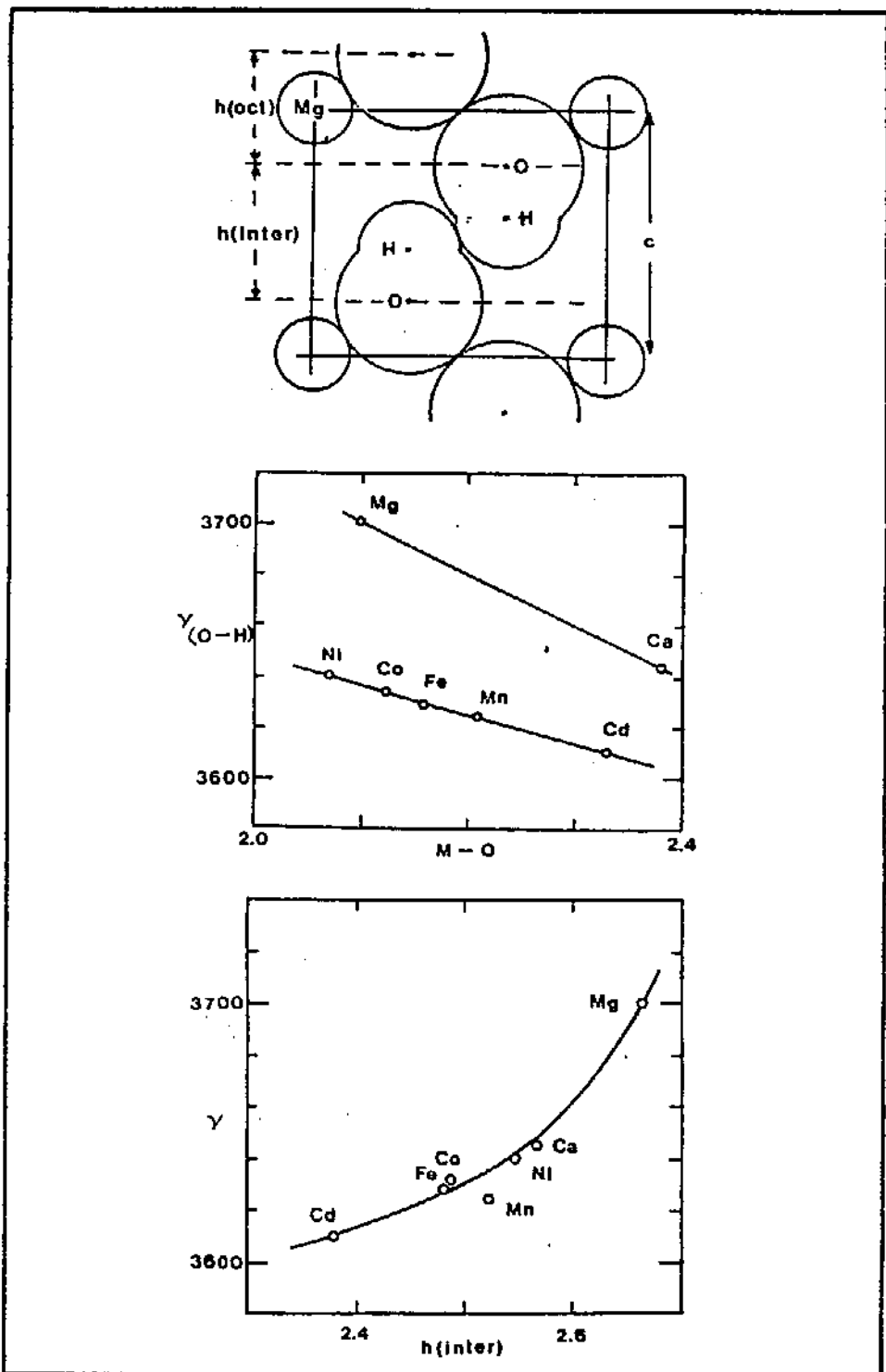


Figura 22 – Correlações do Estiramento O-H com  $d(M-O)$  e  $h_{\text{inter}}$  descrito por Brindley e Kao [67].

Tabela 12 - Dados Espectrais e Cristalográficos dos  $M(OH)_2$

| Compostos:                         | $Mg(OH)_2$ | $LiOH$ | $Ca(OH)_2$ | $Ni(OH)_2$ | $Co(OH)_2$ |
|------------------------------------|------------|--------|------------|------------|------------|
| $\nu(O-H)-A_{sg} (\text{cm}^{-1})$ | 3651       | 3663   | 3616       | 3581       | 3573       |
| $\nu(O-H)-A_{zu} (\text{cm}^{-1})$ | 3698       | 3679   | 3644       | 3635       | 3632       |
| Média* ( $\text{cm}^{-1}$ )        | 3677       | 3671   | 3630       | 3608       | 3603       |
| $a (\text{\AA})$                   | 3,147      | 3,556  | 3,584      | 3,117      | 3,173      |
| $c (\text{\AA})$                   | 4,769      | 4,343  | 4,896      | 4,595      | 4,640      |
| $d_1 (O..O) (\text{\AA})$          | 2,776      | 3,05   | 3,080      | 2,707      | 2,743      |
| $d_2 (O..O) (\text{\AA})$          | 2,098      | 1,697  | 2,282      | 2,022      | 2,153      |
| $d_3 (O..O) (\text{\AA})$          | 3,230      | 3,61   | 3,334      | 3,140      | 3,089      |
| $d_4 (O..O) (\text{\AA})$          | 2,671      | 2,646  | 2,615      | 2,573      | 2,487      |

\* Média  $\nu(O-H)(A_{sg} + A_{zu})$

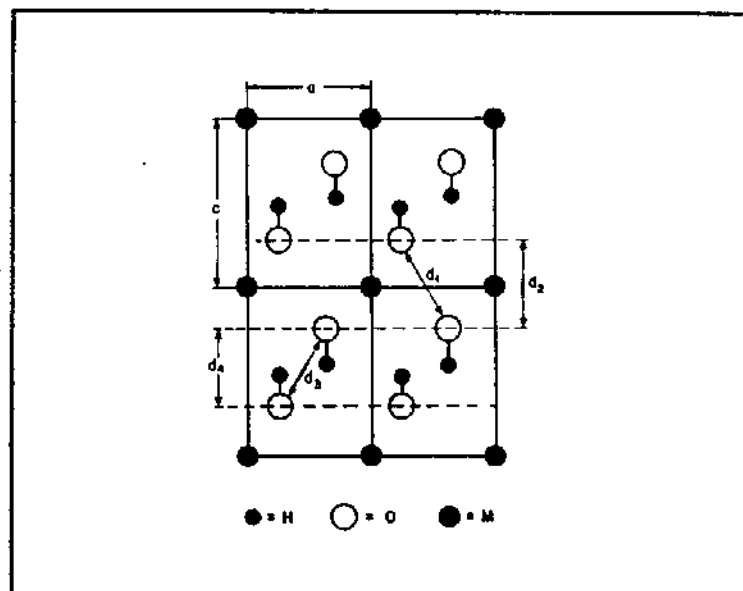


Figura 23 - Distâncias O..O nos  $M(OH)_2$

Os gráficos da variação do número de onda do estiramento O-H ( $A_{1g}$ ,  $A_{2u}$  e média:  $A_{1g} + A_{2u}$ ) em função da distância  $d_{\text{O..O}}$  (Tabela 16), dos hidróxidos metálicos bivalentes, encontram-se na Figura 24, onde podemos observar um comportamento bem regular da variação do número de onda do estiramento O-H de simetria  $A_{1g}$ ,  $A_{2u}$  e a média em função da distância O..O ( $d_{\text{O..O}}$ ).

Os Resultados da análise de coordenadas normais encontram-se no conjunto de Tabela de 13 a 17. Paralelamente às discussões, daremos alguns dados para a interpretação dos resultados obtidos. Os valores dos números de onda de cada modo normal foram inicialmente calculados por tentativa, utilizando valores de constantes de força de compostos sólidos semelhantes. A constante de estiramento Mg-O foi transferida a partir do  $\text{MgCO}_3$  [93], e do estiramento Ni-O do estudo para o NiO [94], as constantes, H-O, H-O-M, M-O-M e O-M-O, foram consideradas baseando-se no valores do NaOH [95]. Usando este conjunto, as constantes de força foram ajustadas pelo método do minímo quadrado, de forma que os números de onda calculados reproduzissem os fundamentais observados. Os números de onda calculados e observados para os  $\text{Mg(OH)}_2$ ,  $\text{Mg(OD)}_2$  e  $\text{Ni(OH)}_2$ , juntamente com os calculados com correção da anarmonicidade [96] são apresentados na Tabela 13, as constantes de força usadas nos cálculos encontram-se na Tabela 14. Pela tabela 13, podemos verificar que quando a relação empírica para a correção da anarmonicidade ( $k_{\text{O-O}} = 1,026k_{\text{O-H}}$ ) [96] é aplicada nas constantes de força  $k_i$  e  $k_a$  do  $\text{Mg(OD)}_2$ , os números de onda calculados reproduzem de maneira mais correta os observados experimentalmente.

Uma descrição aproximada de um modo normal pode ser dada com base nos elementos da matriz  $L_{\text{CS}}$ , que representa a matriz transformação entre coordenada cartesiana simetrizada (CS) em coordenada normal (Q):

$$\text{CS} = L_{\text{CS}} Q \quad (11)$$

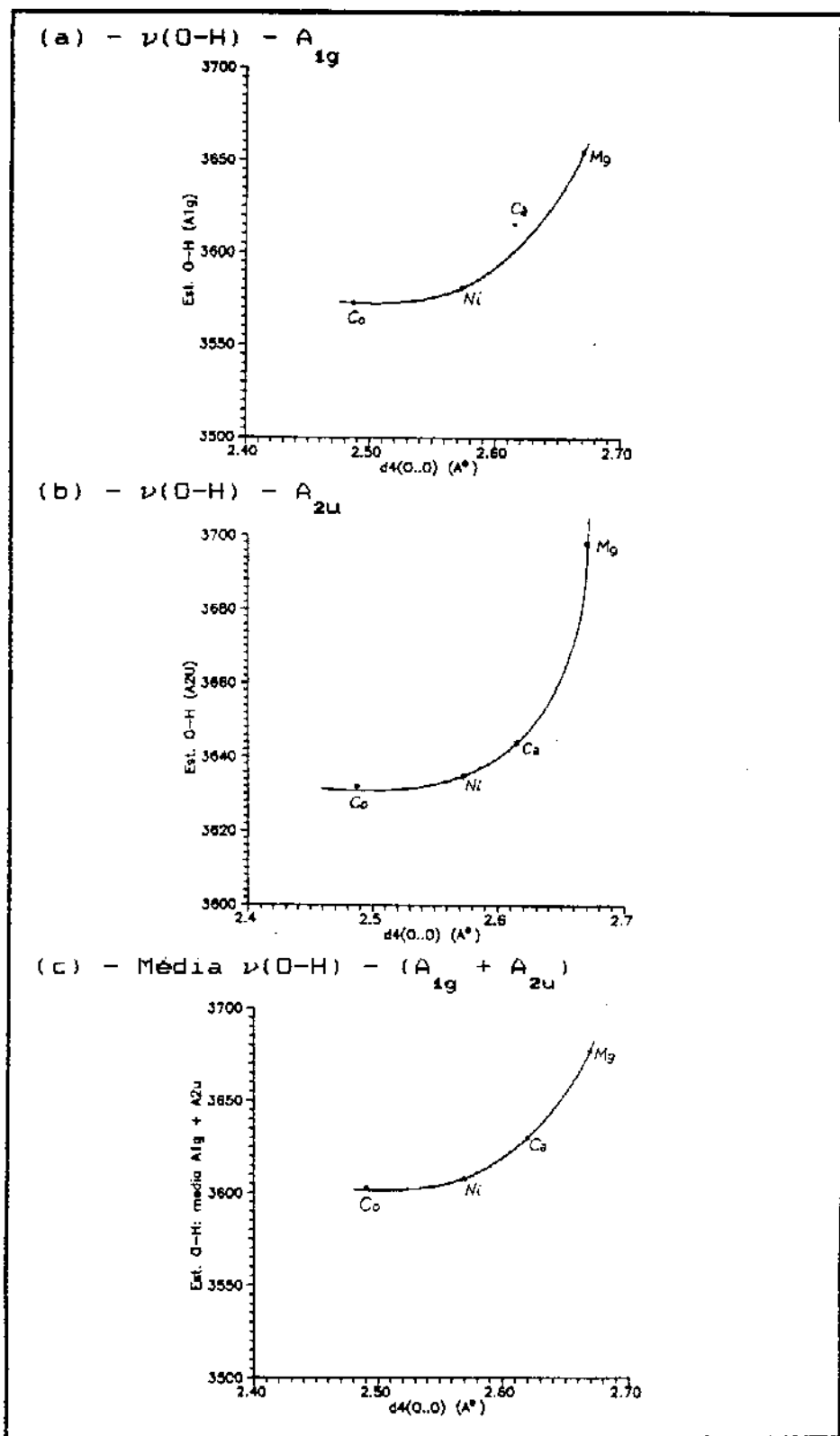


Figura 24 - Variação dos números de onda dos Estiramentos O-H em função da distância O..O ( $d_4$ )

Utilizando os elementos da matriz  $L_{cs}^{-1}$ ,

$$Q = L_{cs}^{-1} CS \quad (12)$$

podemos obter informação do deslocamento de cada átomo em uma dada vibração. Os elementos da matriz  $L_{cs}^{-1}$  dos  $Mg(OH)_2$  e  $Ni(OH)_2$  são apresentados na Tabela 15, onde podemos verificar a participação de cada coordenada cartesiana simetrizada (CS) em uma dada coordenada normal (Q).

Outra descrição aproximada, pode ser dada a partir da matriz distribuição da energia potencial associada as constantes de força para cada vibração, representada pela equação:

$$(PEF)_{ij} = (JAC)_{ij} k_j \lambda_i \times 200 \quad (13)$$

onde  $(JAC)_{ij}$  é a matriz jacobiana  $\partial\lambda_i / \partial k_j$ . Os elementos da matriz distribuição da energia potencial associada as constantes de força de cada modo normal de vibração dos  $Mg(OH)_2$  e  $Ni(OH)_2$  encontram-se na Tabela 16, onde podemos verificar qual constante de força contribui na energia potencial de cada modo normal de vibração.

Dos resultados referentes à vibração interna, dois merecem uma discussão especial: primeiro verificamos na Tabela 15 que a coordenada cartesiana simetrizada relacionada ao estiramento O-H ( $CS_{07}$ ), domina fortemente a coordenada normal que vibra em  $3699 \text{ cm}^{-1}$  ( $Q^{3699}$ ) no  $Mg(OH)_2$  e a que vibra em  $3636 \text{ cm}^{-1}$  ( $Q^{3636}$ ) no  $Ni(OH)_2$ , podemos observar também, que a coordenada cartesiana simetrizada ( $CS_{05}$ ), relacionada ao deslocamento do ion metálico, não participa deste modo normal de vibração. Segundo, verificamos na Tabela 16 que apenas as constantes de força  $k_1$  e  $k_7$  contribuem para este modo normal.

Para definirmos com melhor certeza o efeito de massa do ion metálico em cada vibração normal do  $Mg(OH)_2$  e  $Ni(OH)_2$ , realizamos a análise de coordenadas normais substituindo  $\mu_{Ni}$  por  $\mu_{Mg}$  na matriz energia cinética do  $Mg(OH)_2$  e vice-versa, os resultados dos números de onda calculados, a partir desta simulação encontram-se na Tabela 17. Pela Tabela 17, verificamos que os números de onda do estiramento O-H do  $Mg(OH)_2$  e

$\text{Ni}(\text{OH})_2$  não se modificam ao substituir a  $\mu_{\text{Ni}}$  pela  $\mu_{\text{Mg}}$  na matriz G<sup>c\*</sup> do  $\text{Mg}(\text{OH})_2$  e vice-versa, confirmando que o íon metálico não participa deste modo normal de vibração. Experimentalmente este fato foi confirmado anteriormente para o LiOH e  $\text{LiOH}\cdot\text{H}_2\text{O}$  usando  ${}^6\text{Li}$  e  ${}^7\text{Li}$  [76,79].

Analizando a interação entre os sítios O-H, através da constante de interação  $k_7(\text{O-H}/\text{O-H})$ , verificamos que, assumindo o valor  $k_7(\text{O-H}/\text{O-H}) = 0$ , não foi reproduzido a diferença entre os números de onda dos estiramentos O-H  $A_{1g}$  e  $A_{2u}$ , de forma que, esta diferença é uma contribuição da energia potencial, através da constante de interação  $K_7(\text{O-H}/\text{O-H})$ .

Resolvendo a equação secular de um modelo para vibração dos dois estiramentos O-H equivalentes:

$$\begin{vmatrix} \mu_1 & 0 \\ 0 & \mu_2 \end{vmatrix} \begin{vmatrix} k_{\text{O-H}} & k_{\text{O-H}/\text{O-H}} \\ k_{\text{O-H}/\text{O-H}} & k_{\text{O-H}} \end{vmatrix} - \begin{vmatrix} \lambda & 0 \\ 0 & \lambda \end{vmatrix} = 0 \quad (14)$$

$$\begin{vmatrix} \mu_1 k_{\text{O-H}} - \lambda & \mu_1 k_{\text{O-H}/\text{O-H}} \\ \mu_2 k_{\text{O-H}/\text{O-H}} & \mu_2 k_{\text{O-H}} - \lambda \end{vmatrix} = 0 \quad (15)$$

temos:

$$\lambda_{\pm} = \frac{(\mu_1 + \mu_2)k_{\text{O-H}} \pm \sqrt{(\mu_1 - \mu_2)^2 k_{\text{O-H}}^2 + 4\mu_1 \mu_2 k_{\text{O-H}/\text{O-H}}^2}}{2} \quad (16)$$

considerando,  $k_{\text{O-H}/\text{O-H}} = ak_{\text{O-H}}$  e sendo  $k_{\text{O-H}} > 0$ ,

$$\lambda_{\pm} = (\mu_1 + \mu_2)k_{O-H} \pm \frac{\sqrt{(\mu_1 - \mu_2)^2 + 4\mu_1\mu_2a^2} k_{O-H}}{2} \quad (17)$$

Resolvendo para o  $M(OH)_2$  e  $M(OD)_2$ ,  $\mu_1 = \mu_2 = \mu_{O-H}$   
 Para o  $M(OH)_2$  temos,

$$\lambda_S^{OH} = \mu k_{O-H} (1 + a) \quad (18)$$

$$\lambda_A^{OH} = \mu k_{O-H} (1 - a)$$

$$\mu = \mu_{OH} = 1/m_O + 1/m_H = 17/16 \quad (19)$$

Para o  $M(OD)_2$ ,

$$\mu = \mu_{OD} = 1/m_O + 1/m_D = 9/16 \quad (20)$$

$$\mu_{OD} = (9/17)\mu_{OH} = b\mu_{OH} = b\mu \quad (21)$$

onde  $b = 9/17$

$$\begin{aligned} \lambda_S^{OD} &= \mu_{OD} k_{O-H} (1 + a) = b\mu k_{O-H} (1 + a) \\ \lambda_A^{OD} &= \mu_{OD} k_{O-H} (1 - a) = b\mu k_{O-H} (1 - a) \end{aligned} \quad (22)$$

Expressando as equações (18) e (22) em números de onda,  $\tilde{\nu}$

$$\tilde{\nu}_{\text{S}}^{\text{OH}} = \tilde{\nu}_o^{\text{OH}} \sqrt{1 + a} \quad (23)$$

$$\tilde{\nu}_{\text{A}}^{\text{OH}} = \tilde{\nu}_o^{\text{OH}} \sqrt{1 - a}$$

$$\tilde{\nu}_{\text{S}}^{\text{OD}} = \tilde{\nu}_o^{\text{OH}} \sqrt{b(1 + a)}$$

$$\tilde{\nu}_{\text{A}}^{\text{OD}} = \tilde{\nu}_o^{\text{OH}} \sqrt{b(1 - a)}$$

onde  $\tilde{\nu}_o^{\text{OH}} = \sqrt{1/2\pi c}$ .

Resolvendo para um modelo dos dois estiramentos não equivalentes, ou seja: para o  $M(\text{OH}, \text{D})_2$   $\mu_1 = \mu = \mu_{\text{OH}}$  e  $\mu_2 = \mu_{\text{OD}} = b\mu_{\text{OH}} = b\mu$  temos:

$$\lambda_{\pm} = (1 + b)\mu k_{\text{O-H}} \pm \sqrt{(1 - b)^2 + 4ba^2} \quad \mu k_{\text{O-H}} \quad (24)$$

$$\lambda_{\pm} = \mu k_{\text{O-H}} \left[ 1/2 \left( (1 + b) \pm \sqrt{(1 - b)^2 + 4ba^2} \right) \right] \quad (25)$$

$$\lambda_{\text{OH}} = \mu k_{\text{O-H}} \left[ 1/2 \left( (1 + b) + \sqrt{(1 - b)^2 + 4ba^2} \right) \right] \quad (26)$$

$$\lambda_{\text{OD}} = \mu k_{\text{O-H}} \left[ 1/2 \left( (1 + b) - \sqrt{(1 - b)^2 + 4ba^2} \right) \right] \quad (27)$$

Expressando em números de onda,

$$\tilde{\nu}^{\text{OH}} = \tilde{\nu}_o^{\text{OH}} \sqrt{(1 + b) + \sqrt{(1 - b)^2 + 4ba^2}} \quad (28)$$

$$\tilde{\nu}^{\text{OD}} = \tilde{\nu}_o^{\text{OH}} \sqrt{(1 + b) - \sqrt{(1 - b)^2 + 4ba^2}}$$

Pelas equações (23) e (28) podemos verificar a variação do número de onda do estiramento O-H e do O-D dos  $M(OH)_2$  e  $M(OD)_2$  (equação 23) e do estiramento O-H e O-D do  $M(OH,D)_2$  (equação 28), em função de  $a$  ( $a = k_{O-H/O-H}^{O-H/O-H}/k_{O-H}^{O-H}$ ). A Figura 25, mostra graficamente a variação do número de onda do estiramento O-H e O-D dos  $M(OH)_2$ ,  $M(OD)_2$  e  $M(OH,D)_2$  em função de  $a$ , no intervalo  $-1 \leq a \leq 1$ . Quando  $a = 0$ , ou seja,  $k_{O-H/O-H}^{O-H/O-H} = 0$ , os dois íons O-H, não estão interagindo, e  $\tilde{\nu}_{OH}^A = \tilde{\nu}_{OH}^S = \tilde{\nu}_{OH}^{O-H/O-H}$  e  $\tilde{\nu}_{OD}^A = \tilde{\nu}_{OD}^S = \tilde{\nu}_{OD}^{O-H/O-H}$ ; a  $a < 0$ , ou seja,  $k_{O-H/O-H}^{O-H/O-H} < 0$ ,  $\tilde{\nu}_{OH}^A < \tilde{\nu}_{OH}^S$  e  $\tilde{\nu}_{OD}^A < \tilde{\nu}_{OD}^S$ ; a  $a > 0$ , ou seja  $k_{O-H/O-H}^{O-H/O-H} > 0$ ,  $\tilde{\nu}_{OH}^A < \tilde{\nu}_{OH}^S$  e  $\tilde{\nu}_{OD}^A < \tilde{\nu}_{OD}^S$ .

Na região de vibração externa a diferença entre os números de onda observados e calculados para o  $Mg(OD)_2$  também são significativas (Tabela 13). Movimentos do sítio O-H é esperado nas três bandas de vibração de rede, de forma que, estas bandas também devem apresentar o efeito da anarmonicidade. Utilizando a relação empírica para a correção da anarmonicidade verificamos que os números de onda calculado reproduz melhor o observado quando comparado com o calculado sem correção (Tabela 13). Nesta região os três modos vibracionais relacionados aos movimentos de rede: dois modos translacionais e um rotacional, podem sofrer efeitos de ligação química e de massa. Para as bandas da espécie de simetria  $E_u$  é esperado o acoplamento entre os modos translacional e rotacional. O efeito de massa dos modos vibracionais externos também foram analisados através dos dados da Tabela 17. Considerando o arranjo dos átomos no cristal, as coordenadas internas de estiramento da ligação M-O e de deformação angular M-O-M e O-M-O, podem ser descritas em termos do deslocamento dos átomos nas direções x,y,z. Assim, os movimentos translacionais M, O-H podem ser analisadas através das constantes de força de estiramento M-O ( $k_2$ ) e de deformação M-O-M e O-M-O O'-M-O ( $k_4$ ,  $k_5$  e  $k_6$ ). Da mesma forma o movimento rotacional do grupo O-H pode ser analisado através da constante de força de deformação angular H-O-M ( $k_3$ ).

O modo translacional de simetria  $A_{2u}$ , observado em  $562$  e  $451\text{ cm}^{-1}$ , no  $Mg(OH)_2$  e  $Ni(OH)_2$ , respectivamente mostram deslocamento de aproximadamente  $111\text{ cm}^{-1}$ . Os elementos da matriz  $L_{ce}^{-1}$  (Tabela 15), mostram que este modo tem forte influência

do movimento translacional do sítio do íon metálico, evidenciado pela predominância da coordenada cartesiana simetrizada,  $CS_{05}$ . Quando simulamos a  $\mu_{Ni}$  e  $\mu_{Mg}$  na matriz energia cinética do  $Mg(OH)_2$  e  $Ni(OH)_2$ , respectivamente, verificamos (Tabela 17), que os números de onda calculados de  $457\text{ cm}^{-1}$  ( $(Mg(OH)_2)$ ) e  $559\text{ cm}^{-1}$  ( $(Ni(OH)_2)$ ), reproduzem bem os cálculos originais,  $454\text{ cm}^{-1}$  ( $(Ni(OH)_2)$ ) e  $563\text{ cm}^{-1}$  ( $(Mg(OH)_2)$ ), respectivamente, evidenciando uma forte contribuição do movimento do íon metálico neste modo normal. Observando as posições das bandas, verificamos que se posicionam em número de onda mais baixo no  $Ni(OH)_2$  quando comparado com o  $Mg(OH)_2$ .

Por outro lado, as bandas características em  $462\text{ cm}^{-1}$  no  $Mg(OH)_2$  e  $549\text{ cm}^{-1}$  no  $Ni(OH)_2$ , mostram uma tendência contrária. Estas bandas são de simetria  $E_u$  e estão acopladas às bandas posicionadas em  $368$  e  $348\text{ cm}^{-1}$  respectivamente, evidenciado pela razão isotópica H/D nos  $Mg(OH)_2/Mg(OD)_2$ . Como pode ser visto na Tabela 13, para os dois modos normais de simetria  $E_u$ , observa-se uma contribuição significativa de  $CS_{09}$  e  $CS_{10}$ .

As bandas observadas em  $368$  no  $Mg(OH)_2$  e  $348\text{ cm}^{-1}$  no  $Ni(OH)_2$ , mostram deslocamento de apenas  $20\text{ cm}^{-1}$ , ou seja, encontram-se em número de onda razoavelmente próximo. Este deslocamento é pequeno quando comparado com os das demais bandas de vibração externa. A distribuição de energia potencial para constante de força (Tabela 16) evidencia que tais bandas apresentam uma forte contribuição da constante de força  $k_z(M-O)$ . Comparando o valor da constante de estiramento M-O do  $Ni(OH)_2$  com o do  $Mg(OH)_2$ , podemos verificar que a ligação Ni-O é ligeiramente mais forte que a Mg-O. Este efeito deveria influenciar nestas bandas deslocando-as para número de onda mais alto no  $Ni(OH)_2$  quando comparado com o  $Mg(OH)_2$ . Por outro lado, podemos observar pelas Tabela 15 e 17, que estas banda apresentam um efeito de massa expressivo, este efeito também predomina nestas bandas de forma que é observada em número de onda mais baixo no  $Ni(OH)_2$  quando comparado com o  $Mg(OH)_2$ .

Tabela 13 - Números de Onda ( $\text{cm}^{-1}$ ) Calculados e Observados

| $\text{Mg(OH)}_2$ |       | $\text{Mg(OD)}_2$ |       | Espécie |
|-------------------|-------|-------------------|-------|---------|
| Obs.              | Calc. | Obs.              | Calc. |         |
| 3698              | 3699  | 2725              | 2695  | 2729    |
| 3651              | 3651  | 2698              | 2662  | 2697    |
| 562               | 563   | 540               | 556   | 556     |
|                   | 451   |                   | 437   | 438     |
| 462               | 466   | 395               | 440   | 441     |
|                   | 435   |                   | 364   | 367     |
| 368               | 364   | 305               | 277   | 281     |
|                   | 281   |                   | 238   | 239     |
| $\text{Ni(OH)}_2$ |       | $\text{Ni(OD)}_2$ |       | Especie |
| Obs.              | Calc. | Obs.              | Calc. | Calc.*  |
| 3635              | 3635  |                   | 2649  | 2683    |
| 3581              | 3582  |                   | 2611  | 2645    |
| 451               | 454   |                   | 445   | 446     |
| 449               | 447   |                   | 436   | 436     |
| 549               | 547   |                   | 449   | 452     |
|                   | 545   |                   | 440   | 443     |
| 348               | 350   |                   | 304   | 306     |
| 315               | 318   |                   |       |         |

\* calculado com correção da anarmonicidade.

Tabela 14 - Constantes de Força (md/A°)

| Constantes de Força                              | Mg(OH) <sub>2</sub> | Ni(OH) <sub>2</sub> |
|--|---------------------|---------------------|
| $k_1 (O-H)$                                      | 7,540               | 7,270               |
| $k_2 (M-O)$                                      | 0,630               | 0,720               |
| $k_3 (H-O-M)$                                    | 0,030               | 0,056               |
| $k_4 (M-O-M) + k_5 (O-M-O)$                      | 0,160               | 0,160               |
| $k_6 (O^- - M-O)$                                | 0,080               | 0,080               |
| $k_7 (O-H \times O-H)$                           | ~ 0,100             | 0,110               |
| $k_8 (O-M \times M-O)$                           | 0,050               | 0,040               |
| $k_9 (O-M \times M-O) + k_{11} (M-O \times O-M)$ | 0,270               | 0,210               |
| $k_{10} (O-M/M-O)$                               | 0,170               | 0,190               |
| $k_{12} (M-O/M-O-M) + k_{13} (M-O/O-M-O)$        | 0,000*              | 0,000*              |
| $k_{14} (M-O/M-O-M) + k_{15} (M-O/O-M-O)$        | 0,000*              | 0,000*              |
| $k_{16} (M-O-M/M-O-M) + k_{17} (O-M-O/O-M-O)$    | 0,000*              | 0,000*              |

\* Determinada nos cálculos refinados

Tabela 15 - Elementos da Matriz  $L_{cs}^{-1}$  dos  $Mg(OH)_2$  e  $Ni(OH)_2$

| $Mg(OH)_2$ | $CS_{05}$ | $CS_{06}$ | $CS_{07}$ | $CS_{08}$ | $CS_{09}$ | $CS_{10}$ |
|------------|-----------|-----------|-----------|-----------|-----------|-----------|
| $Q^{3699}$ | 0,01      | 0,01      | 1,38      |           |           |           |
| $Q^{568}$  | 3,76      | -1,88     | 1,65      |           |           |           |
| $Q^{466}$  |           |           |           | 2,56      | -1,28     | 2,14      |
| $Q^{364}$  |           |           |           | -2,76     | 1,38      | -0,28     |
| $Ni(OH)_2$ | $CS_{05}$ | $CS_{06}$ | $CS_{07}$ | $CS_{08}$ | $CS_{09}$ | $CS_{10}$ |
| $Q^{3696}$ | 0,01      | -0,01     | 1,38      |           |           |           |
| $Q^{454}$  | 4,64      | -2,32     | 2,04      |           |           |           |
| $Q^{547}$  |           |           |           | 1,34      | -0,67     | 1,91      |
| $Q^{250}$  |           |           |           | 4,44      | -2,22     | 1,56      |

Tabela 16 - Elementos da Matriz Distribuição de Energia Potencial para Constante de Força do  $Mg(OH)_2$  e  $Ni(OH)_2$

| $Mg(OH)_2$                                       | $Q^{3699}$ | $Q^{563}$ | $Q^{466}$ | $Q^{364}$ |
|--|------------|-----------|-----------|-----------|
| $k_1 (H-O)$                                      | 99         | ...       | ...       | ...       |
| $k_2 (M-O)$                                      | ...        | 36        | 50        | 50        |
| $k_3 (H-O-M)$                                    | ...        | 2         | 50        | 50        |
| $k_4 (M-O-M) + k_5 (O-M-O)$                      | ...        | 46        | 16        | 16        |
| $k_6 (O-M-O)$                                    | ...        | ...       | 15        | 15        |
| $k_7 (O-H \times O-H)$                           | 1          | ...       | ...       | ...       |
| $k_8 (O-M \times M-O)$                           | ...        | -6        | 4         | 4         |
| $k_9 (O-M \times M-O) + k_{11} (M-O \times O-M)$ | ...        | 31        | -21       | -21       |
| $k_{10} (O-M \times M-O)$                        | ...        | -10       | -13       | -13       |

Tabela 16 - Continuação

| $\text{Ni(OH)}_2$                                | $Q^{3636}$ | $Q^{454}$ | $Q^{547}$ | $Q^{350}$ |
|--|------------|-----------|-----------|-----------|
| $k_4 (\text{O-H})$                               | 98         | ...       | ...       | ...       |
| $k_2 (\text{M-O})$                               | ...        | 40        | 10        | 86        |
| $k_3 (\text{H-O-M})$                             | ...        | 5         | 90        | 10        |
| $k_4 (\text{M-O-M}) + k_5 (\text{O-M-O})$        | ...        | 46        | 3         | 25        |
| $k_6 (\text{O}^+ - \text{M-O})$                  | ...        | ...       | 3         | 22        |
| $k_7 (\text{O-H}/\text{O-H})$                    | 2          | ...       | ...       | ...       |
| $k_8 (\text{O-M/M-O})$                           | ...        | -4        | 1         | 5         |
| $k_p (\text{O-M/M-O}) + k_{11} (\text{M-O/O-M})$ | ...        | 23        | -3        | -25       |
| $k_{10} (\text{O-M/M-O})$                        | ...        | -10       | -3        | -23       |

Tabela 17 - Números de Onda ( $\text{cm}^{-1}$ )  
 Cálculos Originais: 2 e 4; Cálculos Simulados 1 e 3.

| $\text{Mg(OH)}_2$ |         | $\text{Ni(OH)}_2$ |         |          |
|-------------------|---------|-------------------|---------|----------|
| Calc. 1           | Calc. 2 | Calc. 3           | Calc. 4 |          |
| 3699              | 3699    | 3636              | 3636    | $A_{zu}$ |
| 457               | 563     | 559               | 454     | $A_{zu}$ |
| 439               | 466     | 564               | 547     | $E_u$    |
| 313               | 364     | 4.18              | 350     | $E_u$    |

Cálculo 1 - Utilizando a matriz  $G_{op}^{cs}$  do  $\text{Mg(OH)}_2$

Cálculo 2 - Utilizando a matriz  $G_{op}^{cs}$  do  $\text{Ni(OH)}_2$

Cálculo 3 - Utilizando a matriz  $G_{op}^{cs}$  do  $\text{Ni(OH)}_2$

Cálculo 4 - Utilizando a matriz  $G_{op}^{cs}$  do  $\text{Mg(OH)}_2$

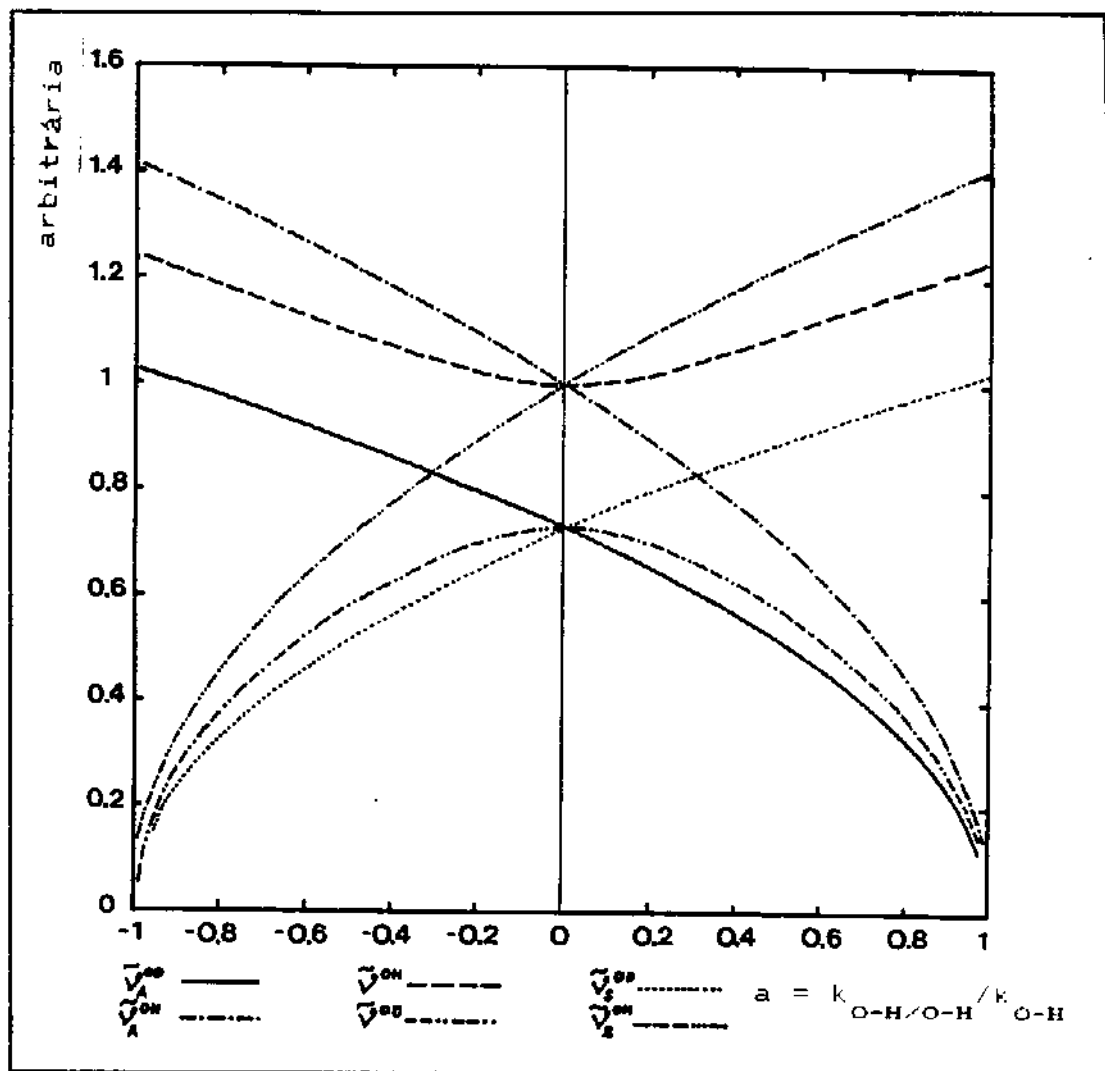
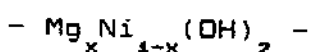


Figura 25 – Variação do número de onda do estiramento O-H  
e O-D nos  $Mg(OH)_2$ ,  $Mg(OD)_2$  e  $Mg(OH,D)_2$   
em função de  $a = k_{O-H}/k_{O-D}$

Ao realizar análise de coordenadas normais, dois tipos de campo de força foram inicialmente aplicados. O primeiro, um modelo iônico, foi construído a partir de interações entre os átomos no cristal  $M(OH)_2$ , este campo foi abandonado pelas dificuldades técnicas de ajustar os números de onda calculados aos observados. O segundo campo, corresponde ao acima apresentado e discutido. Neste campo, foi utilizado um modelo de ligação covalente que facilmente ajustou os estiramentos O-H das espécies  $A_{1g}$  e  $A_{2u}$  com apenas dois termos, que foram interpretados. Por outro lado, as vibrações de rede consistindo de movimentos de sítios, mostrou ao ajustar um campo de força covalente ao representar ligações iônicas, a necessidade de sete termos, consequentemente sua interpretação tornou-se mais complexa. De maneira geral os valores numéricos das constantes de força utilizadas nas vibrações de rede do  $Mg(OH)_2$  são menores que as do  $Ni(OH)_2$ , em concordância com a eletronegatividade do Mg e Ni. Correlacionando a constante de interação entre os sítios O-H,  $k_7(O-H/O-H)$ , do campo de força utilizado com o conjunto de constantes de força de repulsão e atração:  $f(H..H)$ ,  $f(O..O)$  e  $f(H..O)$ , do modelo iônico; os cálculos nos permitiu verificar que as constantes de força repulsivas  $f(H..H)$  e  $f(O..O)$ , não contribuem para o modo vibracional do estiramento O-H, de forma que,  $k_7(O-H/O-H)$  representa no modelo iônico a constante de força  $f(H..O)$ . Este resultado abre perspectiva para diferenciar ligação de hidrogênio de hidroxídios dos sistemas O-H $\cdots$ O.

- CAPÍTULO IV -

COMPORTAMENTO DOS ESPECTROS INFRAVERMELHO DAS SOLUÇÕES SÓLIDAS



4.1 - Considerações Gerais

Antes de discutirmos os dados observados nos espectros no infravermelho dos  $Mg_x Ni_{1-x} (OH)_2$ , faremos um breve relato do comportamento espectral de soluções sólidas descritos na literatura.

O interesse pela análise do comportamento espectral (Raman e infravermelho) de soluções sólidas é muito grande. Nos trabalhos descritos na literatura, observa-se claramente um vasto número de estudos de soluções sólidas constituídas de sitios monoatômicos. O trabalho pioneiro visando uma interpretação do espectro vibracional para este tipo de sistema foi realizado por Matossi em 1951 [97], onde, as vibrações ópticas do  $Na_x K_{1-x} Cl$  foram analisadas usando um modelo de cadeia linear do tipo ...XYZXZYZZ..., onde X = Na, Y = K e Z = Cl. Um resumo de vários modelos propostos e comportamentos espetrais é descrito por Chang e Mitra [98]. Estes autores, dividem os aspectos espetrais em dois grupos: comportamento de um modo e de dois modos. Para o tipo de um modo, o número de bandas é igual e a posição intermediária a dos compostos puros. Em geral, o número de onda varia proporcionalmente com a composição dos seus componentes, a largura na meia-altura das bandas são relativamente maiores quando comparados com a dos puros, sugerindo que a banda observada pode consistir de um conjunto de bandas próximas que se superpõem. Em soluções sólidas do tipo de dois modos, o número de bandas observadas não é igual ao dos seus compostos puros. Nos espetros observa-se o desdobramento das bandas, cujas intensidades relativas, formas e posições são indicações das proporções dos componentes. Os autores também descrevem soluções sólidas

constituídas de sítios monoatômicos, em que se observa o comportamento do tipo de um modo em determinado intervalo de composição e do tipo de dois modo em outro.

O primeiro estudo de soluções sólidas constituídas de sítios poliatômicos foi realizado por Raju em 1945 [99], que estudou o espectro Raman dos  $\text{Na}_x\text{K}_{1-x}\text{NO}_3$ , observando que o número de bandas de vibrações internas do íon  $\text{NO}_3^-$  é igual, e as posições intermediárias entre as dos  $\text{NaNO}_3$  e  $\text{KNO}_3$ . A literatura descreve muitos estudos de soluções sólidas constituídas de sítios poliatômicos, as de interesse em mineralogia [100-105] apresentam um comportamento que merece ser mencionado. Um exemplo deste tipo de sistema é apresentado na Figura 26, que mostra o espectro no infravermelho na região do estiramento O-H do  $\text{Mg}_3\text{Si}_4\text{O}_{10}(\text{OH})_2$  (talcos sintéticos), com substituição parcial de Mg por Ni, este sistema foi estudado por Wilkins e Ito [103]. No espectro podemos observar o desdobramento das bandas do estiramento O-H, os autores atribuíram as quatro bandas observadas, aos estiramentos O-H vibrando em sítios  $3\text{Mg}^{+2}$ ,  $2\text{Mg}^{+2}\text{Ni}^{+2}$ ,  $\text{Mg}^{+2}2\text{Ni}^{+2}$  e  $3\text{Ni}^{+2}$ .

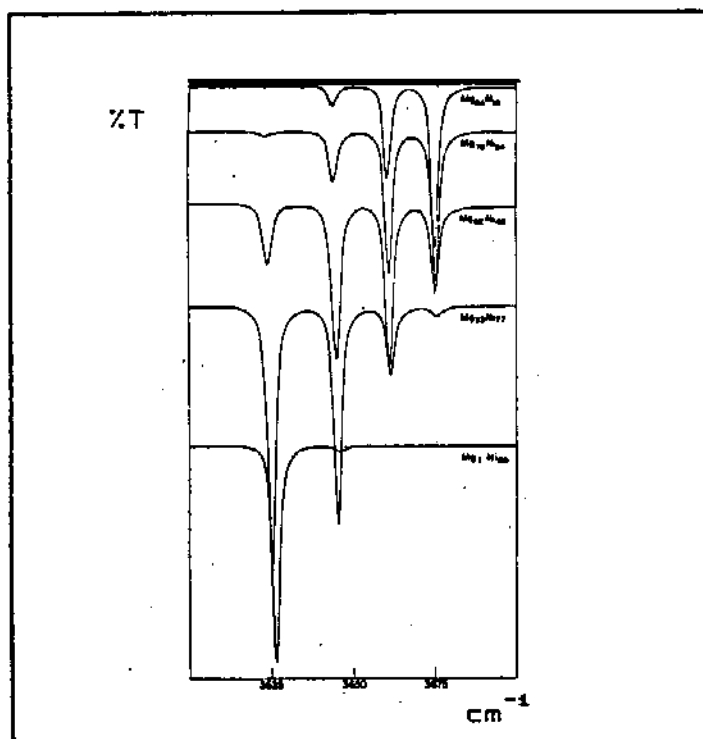


Figura 26 - Estiramento O-H de Talcos Sintéticos MgNi (Ref.103)

Do nosso conhecimento, apesar de muitos estudos de sistemas poliatómicos tenham sido realizados, existem poucos com uma análise vibracional detalhada. Em particular, existem poucos sobre a natureza do espectro no infravermelho de compostos  $M_x^{II}M_{1-x}^{II}(OH)_2$  [16, 59, 70]. A Figura 27 mostra o espectro no infravermelho na região entre 4000 a 400  $\text{cm}^{-1}$  do  $Ni_xZn_{1-x}(OH)_2$ , descrito por Houalla e colaboradores [59], segundo os autores, os espectros A e B são de soluções sólidas com 68% e 84% de Ni, respectivamente, o espectro C do  $Ni(OH)_2$ , podemos verificar que o estiramento O-H dos  $Ni_xZn_{1-x}(OH)_2$  foram observados em números de onda iguais ao do  $Ni(OH)_2$ , os autores nada comentaram a cerca das bandas de vibração externa.

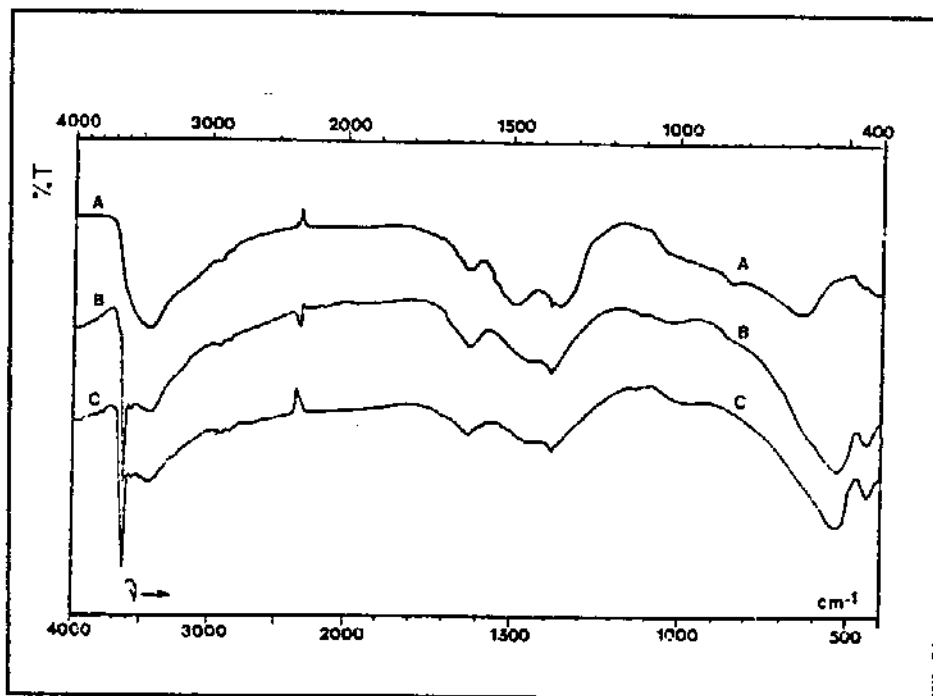


Figura 27 - Espectro no Infravermelho do  $Ni_xZn_{1-x}(OH)_2$  e do  $Ni(OH)_2$  (Ref. 59)

Paikina e colaboradores [16], utilizaram as intensidades relativas das bandas observadas nos espectros no infravermelho ao estudar as mudanças estruturais do  $Co_xNi_{1-x}(OH)_2$  durante a termólise à vácuo. Os mesmos autores [70] estudaram o  $Cd_xCo_{1-x}(OH)_2$ , também através dos espectros no infravermelho na

região de 4000 a 400  $\text{cm}^{-1}$  e por difratometria de raios-X, bem como a mistura mecânica  $\text{Cd(OH)}_2 + \text{Co(OH)}_2$  observando bandas, cujos números de onda nas soluções sólidas são intermediários, e na mistura semelhantes aos dos hidróxidos puros.

#### 4.2 - Resultados Experimentais e Discussão

Os espectros no infravermelho dos  $\text{Mg}_x\text{Ni}_{1-x}\text{(OH)}_2$  e de uma mistura mecânica de  $\text{Mg(OH)}_2 + \text{Ni(OH)}_2$  foram obtidos na região de números de onda compreendida entre 4000 a 400  $\text{cm}^{-1}$ . Os valores dos números de onda e intensidades relativas das bandas observadas encontram-se na Tabela 18. A partir dos dados obtidos foram construídos gráficos da variação dos números de onda dos  $\text{Mg}_x\text{Ni}_{1-x}\text{(OH)}_2$  com a fração molar do Mg. Os gráficos, bem como, as regiões das bandas observadas em alguns compostos estão ilustrados no conjunto de Figuras de 28 a 39. Os resultados da análise vibracional dos dois casos extremos:  $\text{Mg(OH)}_2$  e  $\text{Ni(OH)}_2$ , serão utilizados como referência para discutirmos os dados espectrais observados nas soluções sólidas.

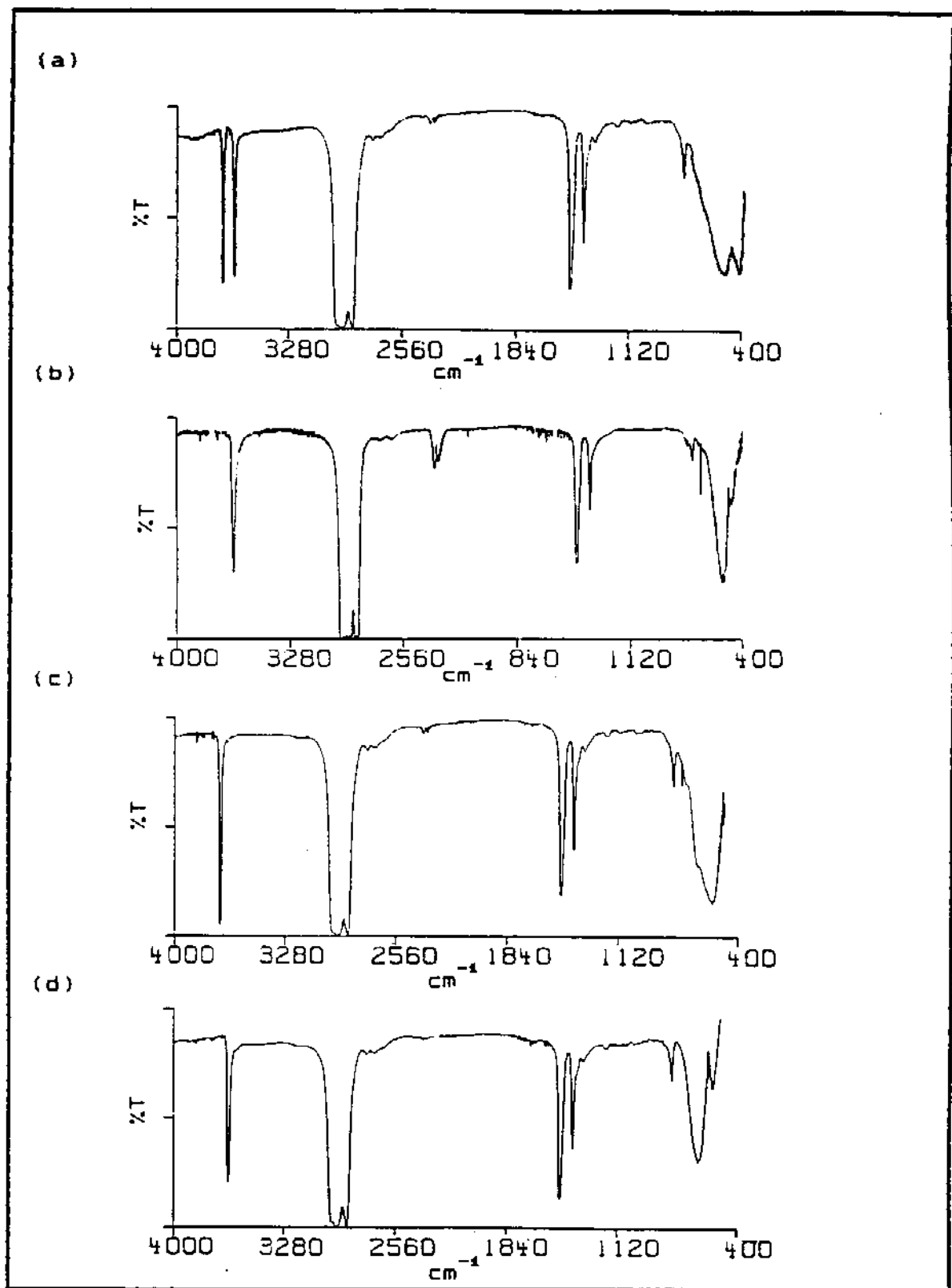
Na Figura 28 são apresentados os espectros no infravermelho na região de 4000 a 400  $\text{cm}^{-1}$  de uma mistura mecânica  $\text{Mg(OH)}_2 + \text{Ni(OH)}_2$ , uma solução sólida  $\text{Mg}_{0,60}\text{Ni}_{0,40}\text{(OH)}_2$  e dos  $\text{Mg(OH)}_2$  e  $\text{Ni(OH)}_2$ , para que possam ser comparados. Nesta Figura e na Tabela 18, podemos observar que o espectro de  $\text{Mg(OH)}_2 + \text{Ni(OH)}_2$  na aparência simplesmente corresponde a superposição dos espectros dos dois hidróxidos puros. Por outro lado, o espectro da solução sólida  $\text{Mg}_{0,60}\text{Ni}_{0,40}\text{(OH)}_2$  é muito semelhante com os dos hidróxidos puros. Espectros de  $\text{Mg(OH)}_2 + \text{Ni(OH)}_2$  comparados com os  $\text{Mg(OH)}_2$  e  $\text{Ni(OH)}_2$  são apresentados na Figura 29. Pela Tabela 18 verificamos que em todos os compostos  $\text{Mg}_x\text{Ni}_{1-x}\text{(OH)}_2$  foi observado uma única banda de estiramento O-H, cujo número de onda é intermediário entre o dos hidróxidos puros, apresentando sempre um deslocamento para número de onda mais alto com o aumento da fração molar de Mg. A Figura 30 mostra a banda de estiramento O-H observada no  $\text{Mg}_{0,13}\text{Ni}_{0,87}\text{(OH)}_2$  comparada com o estiramento O-H dos hidróxidos puros. As bandas de vibração externa dos  $\text{Mg}_x\text{Ni}_{1-x}\text{(OH)}_2$ , somente as correspondentes as observadas em 462  $\text{cm}^{-1}$  no  $\text{Mg(OH)}_2$  e em 549  $\text{cm}^{-1}$

Tabela 18 - Números de onda ( $\text{cm}^{-1}$ ) e intensidades relativas dos  
 $\text{Mg}_x\text{Ni}_{1-x}\text{(OH)}_2$  a  $0,00 \leq x \leq 1,00$  e de uma mistura  
 mecânica  $\text{Mg(OH)}_2 + \text{Ni(OH)}_2$

|   | $A_{2u}$ | $A_{2u}$  | $E_u$   | $E_u$ |
|---|----------|-----------|---------|-------|
| $\text{Mg(OH)}_2$                               | 3698 MF  | 562 m     | 462 F,1 | 368 F |
| $\text{Mg}_{0,88}\text{Ni}_{0,12}\text{(OH)}_2$ | 3696 MF  | ~533 m,om | 484 F,1 | 367 F |
| $\text{Mg}_{0,82}\text{Ni}_{0,18}\text{(OH)}_2$ | 3693 MF  | ~530 m,om | 487 F,1 | 367 F |
| $\text{Mg}_{0,63}\text{Ni}_{0,37}\text{(OH)}_2$ | 3686 MF  | (?)       | 493 F,1 | 367 F |
| $\text{Mg}_{0,60}\text{Ni}_{0,40}\text{(OH)}_2$ | 3685 MF  | (?)       | 495 F,1 | 366 F |
| $\text{Mg}_{0,51}\text{Ni}_{0,49}\text{(OH)}_2$ | 3681 MF  | (?)       | 506 F,1 | 365 F |
| $\text{Mg}_{0,44}\text{Ni}_{0,56}\text{(OH)}_2$ | 3672 MF  | (?)       | 508 F,1 | 353 F |
| $\text{Mg}_{0,39}\text{Ni}_{0,61}\text{(OH)}_2$ | 3665 MF  | (?)       | 512 F,1 | 353 F |
| $\text{Mg}_{0,36}\text{Ni}_{0,64}\text{(OH)}_2$ | 3662 MF  | (?)       | 509 F,1 | 349 F |
| $\text{Mg}_{0,26}\text{Ni}_{0,74}\text{(OH)}_2$ | 3652 MF  | 481 m,om  | 517 F,1 | 348 F |
| $\text{Mg}_{0,13}\text{Ni}_{0,87}\text{(OH)}_2$ | 3644 MF  | 472 m,    | 523 F,1 | 347 F |
| $\text{Ni(OH)}_2$                               | 3635 MF  | 451 m     | 549 F,1 | 348 F |
| $\text{Mg(OH)}_2 + \text{Ni(OH)}_2$             | 3698 MF  |           | 547 F,1 | 368 F |
|   | 3637 MF  |           | 457 F,1 | 347 F |

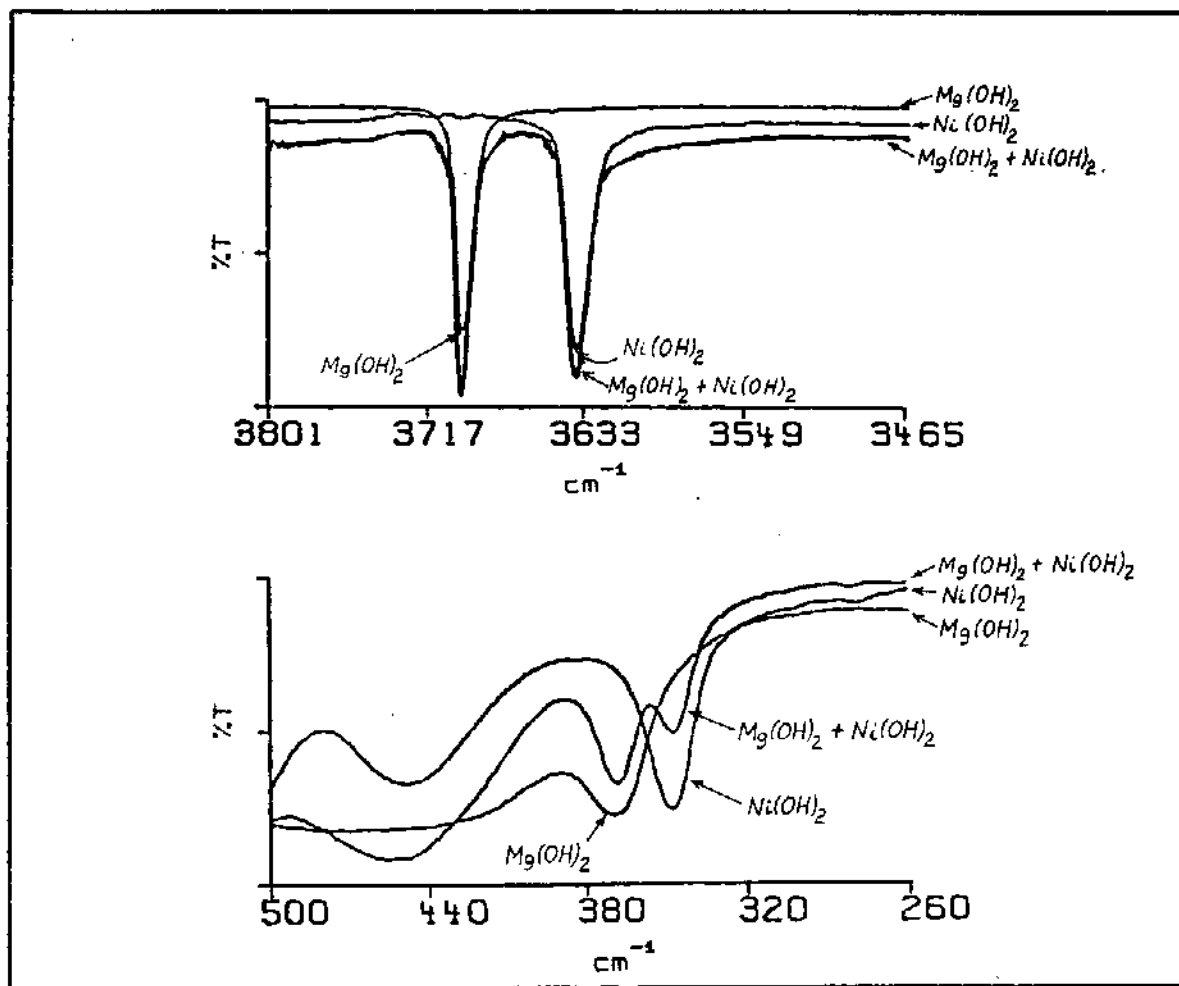
l = banda larga, MF = muito forte, F = forte,

m = média, om = ombro



**Figura 28 - Espectros no infravermelho ( $4000 - 400 \text{ cm}^{-1}$ ) de:**

(a)  $\text{Mg(OH)}_2 + \text{Ni(OH)}_2$     (b)  $\text{Mg}_{0,60}\text{Ni}_{0,40}(\text{OH})_2$     (c)  $\text{Mg(OH)}_2$   
 (d)  $\text{Ni(OH)}_2$



**Figura 29 - Espectros no infravermelho de uma mistura  $Mg(OH)_2 + Ni(OH)_2$  comparado com os hidróxidos puros**

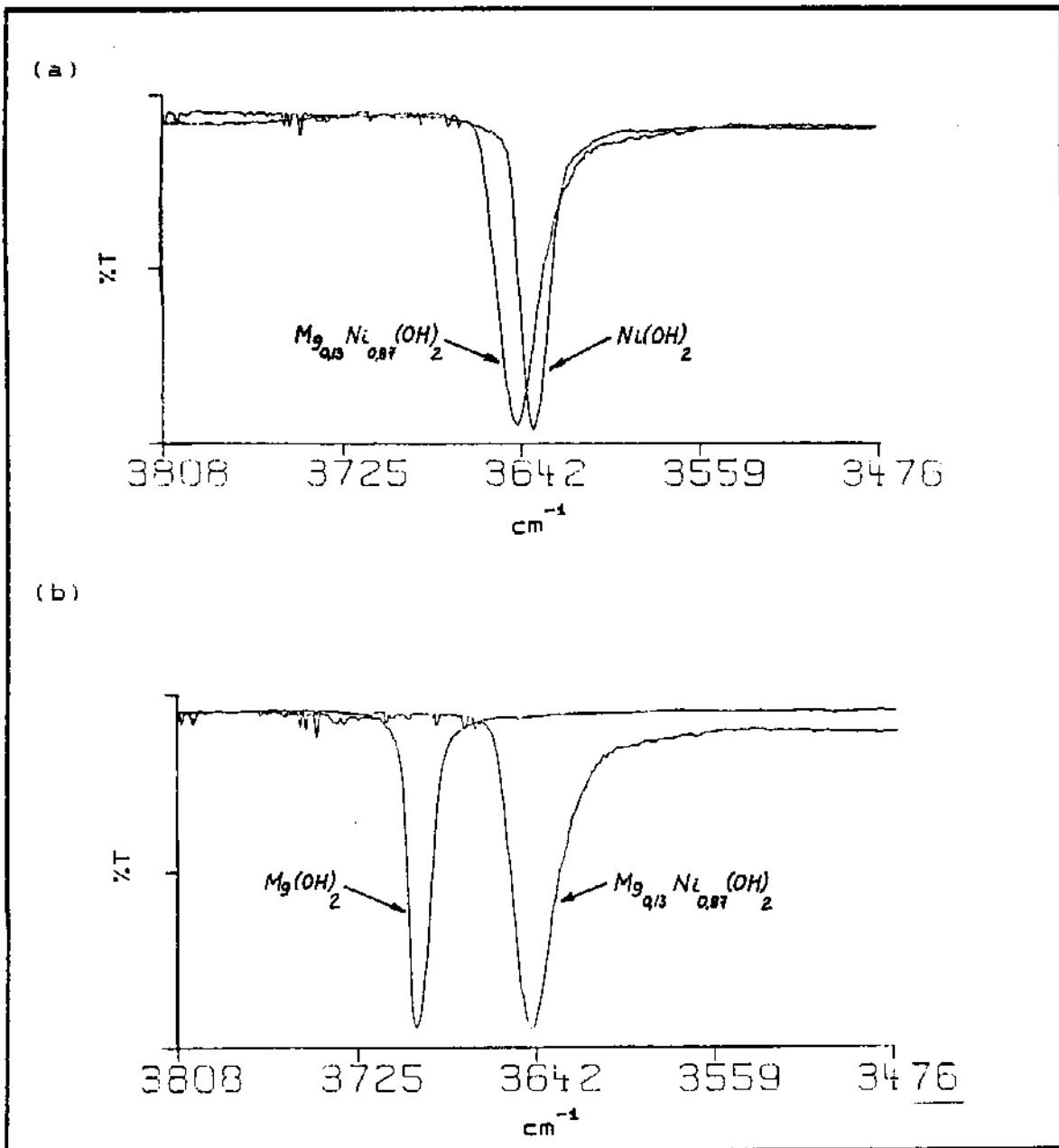


Figura 30 - Espectros no infravermelho ( $3800 - 3470 \text{ cm}^{-1}$ ) do  $\text{Mg}_{0.19}\text{Ni}_{0.87}(\text{OH})_2$  comparado com os puros  
 (a) -  $\text{Ni}(\text{OH})_2$ , (b) -  $\text{Mg}(\text{OH})_2$

no  $\text{Ni}(\text{OH})_2$ , mostram comportamento semelhante ao estiramento O-H, ou seja, o número de onda também é intermediário entre o dos hidróxidos puros, o deslocamento do número de onda com o aumento da fração molar de Mg porém, mostra uma tendência contrária. As bandas dos  $\text{Mg}_x \text{Ni}_{1-x}(\text{OH})_2$  correspondentes às posicionadas em  $562 \text{ cm}^{-1}$  no  $\text{Mg}(\text{OH})_2$  e  $451 \text{ cm}^{-1}$  no  $\text{Ni}(\text{OH})_2$ , não puderam ser definidas em todas as soluções sólidas, tendo em vista que, as bandas largas em  $462 \text{ cm}^{-1}$  no  $\text{Mg}(\text{OH})_2$  e  $451 \text{ cm}^{-1}$  no  $\text{Ni}(\text{OH})_2$  se posicionam em números de onda intermediários aos valores  $562 \text{ cm}^{-1}$  ( $\text{Mg}(\text{OH})_2$ ) e  $451 \text{ cm}^{-1}$  ( $\text{Ni}(\text{OH})_2$ ). Como pode ser visto na Tabela 18, as bandas de número de onda mais baixo, são observadas totalmente separadas das bandas largas na região de  $570$  a  $450 \text{ cm}^{-1}$ , suas posições não são muito sensíveis quando o Ni é introduzido na rede cristalina do  $\text{Mg}(\text{OH})_2$  e vice-versa. Esta invariança nos auxiliou a atribuir esta banda em  $348 \text{ cm}^{-1}$  no  $\text{Ni}(\text{OH})_2$ , como uma banda fundamental da espécie  $E_u$ , onde sua correspondente em  $368 \text{ cm}^{-1}$  no  $\text{Mg}(\text{OH})_2$  foi atribuída no capítulo anterior através do efeito isotópico H/D.

Comparando o número de onda do estiramento O-H, de duas soluções sólidas onde teor de Mg ( $x_{\text{Mg}}$ ) de uma é próximo ao teor de Ni ( $x_{\text{Ni}}$ ) da outra, com o número de onda do estiramento O-H dos hidróxidos puros, verificamos que a banda observada em  $3644$  e  $3635 \text{ cm}^{-1}$  no  $\text{Mg}_{0,13} \text{Ni}_{0,87}(\text{OH})_2$  ( $x_{\text{Mg}} \cong 0,13$ ) e  $\text{Ni}(\text{OH})_2$ , respectivamente, mostram deslocamento de  $9 \text{ cm}^{-1}$ , a observada em  $3696$  e  $3695 \text{ cm}^{-1}$  no  $\text{Mg}_{0,88} \text{Ni}_{0,12}(\text{OH})_2$  ( $x_{\text{Ni}} \cong 0,12$ ) e  $\text{Mg}(\text{OH})_2$ , respectivamente, mostram deslocamento de apenas  $3 \text{ cm}^{-1}$ . A banda observada em  $3685$  e  $3665 \text{ cm}^{-1}$  no  $\text{Mg}_{0,60} \text{Ni}_{0,40}(\text{OH})_2$  ( $x_{\text{Mg}} \cong 0,60$ ) e  $\text{Mg}_{0,39} \text{Ni}_{0,61}(\text{OH})_2$  ( $x_{\text{Ni}} \cong 0,61$ ), respectivamente, quando comparado com os hidroxídios de Mg e Ni respectivamente, mostram deslocamento de  $13$  e  $35 \text{ cm}^{-1}$ . Comparando o estiramento O-H do  $\text{Mg}_{0,51} \text{Ni}_{0,49}(\text{OH})_2$  ( $x_{\text{Mg}} \cong x_{\text{Ni}}$ ) em  $3681 \text{ cm}^{-1}$  com a do  $\text{Mg}(\text{OH})_2$  em  $3698 \text{ cm}^{-1}$  e o do  $\text{Ni}(\text{OH})_2$  em  $3635 \text{ cm}^{-1}$  verificamos deslocamento de  $17$  e  $46 \text{ cm}^{-1}$  respectivamente. O resultado mostra que, soluções sólidas cujo teor de Mg de uma é próximo do teor de Ni da outra, mostram deslocamento do número de onda do estiramento O-H diferente, quando comparado com o dos hidróxidos puros. A Figura 31 mostra o gráfico da variação do número de onda do estiramento O-H dos  $\text{Mg}_x \text{Ni}_{1-x}(\text{OH})_2$  em função do teor de Mg ajustada em duas retas que se interceptam a  $x \cong 0,60$ .

Conforme foi mencionado brevemente no capítulo introdutório, os difratogramas de raios-X de pó destes compostos sugerem, através da posição e intensidade dos picos, que o arranjo estrutural não foi alterado e que os  $Mg_x Ni_{1-x} (OH)_2$ , possuem um reticuló cristalino cujas dimensões devem ser intermediárias às dos hidróxidos puros. Em uma nota do comportamento do difratograma de raio-X de pó dos  $Co_x Ni_{1-x} (OH)_2$  realizado por Natta e Rejna em 1926 [106], estes autores descrevem que as soluções sólidas estudadas apresentaram parâmetros estruturais  $a$  e  $c$  intermediários aos dos hidroxídos puros. Em 1928 Natta e Passerini [18] em um estudo mais detalhado, voltaram a investigar os difratogramas de raio-X de pó dos  $Co_x Ni_{1-x} (OH)_2$ ,  $Ca_x Cd_{1-x} (OH)_2$ ,  $Cd_x Ni_{1-x} (OH)_2$ ,  $Cd_x Mn_{1-x} (OH)_2$ ,  $Co_x Mg_{1-x} (OH)_2$ ,  $Mg_x Ni_{1-x} (OH)_2$ ,  $Ca_x Mg_{1-x} (OH)_2$ ,  $Mg_x Zn_{1-x} (OH)_2$ ,  $Ni_x Zn_{1-x} (OH)_2$ . Os parâmetros estruturais dos  $Co_x Ni_{1-x} (OH)_2$ , descritos por estes autores encontram-se na Tabela 19, onde pode ser observado para este sistema, uma relação regular do parâmetro  $a$  com a composição dos compostos puros, por outro lado, o parâmetro  $c$  mostra um comportamento irregular.

Tabela 19 - Parâmetros Estruturais do  $Co_x Ni_{1-x} (OH)_2$  (Ref.18)

| Composto                     | $a$ ( $\text{\AA}$ ) | $c$ ( $\text{\AA}$ ) |
|------------------------------|----------------------|----------------------|
| $Co(OH)_2$                   | 3,19                 | 4,657                |
| $Co_{0,80} Ni_{0,20} (OH)_2$ | 3,16                 | 4,645                |
| $Co_{0,65} Ni_{0,35} (OH)_2$ | 3,15                 | 4,646                |
| $Co_{0,50} Ni_{0,50} (OH)_2$ | 3,13                 | 4,632                |
| $Co_{0,30} Ni_{0,70} (OH)_2$ | 3,11                 | 4,634                |
| $Ni(OH)_2$                   | 3,07                 | 4,605                |

No capítulo anterior, para os  $M(OH)_2$ , foi verificado um comportamento regular da variação do número de onda do estiramento O-H com a distância entre duas camadas de oxigênios ( $d_4^{+}(O..O)$ ). Utilizando o gráfico da Figura 24 (b), determinamos  $d_4^{+}(O..O)$  dos  $Mg_x Ni_{1-x} (OH)_2$ . Os resultados obtidos encontram-se na Tabela 20.

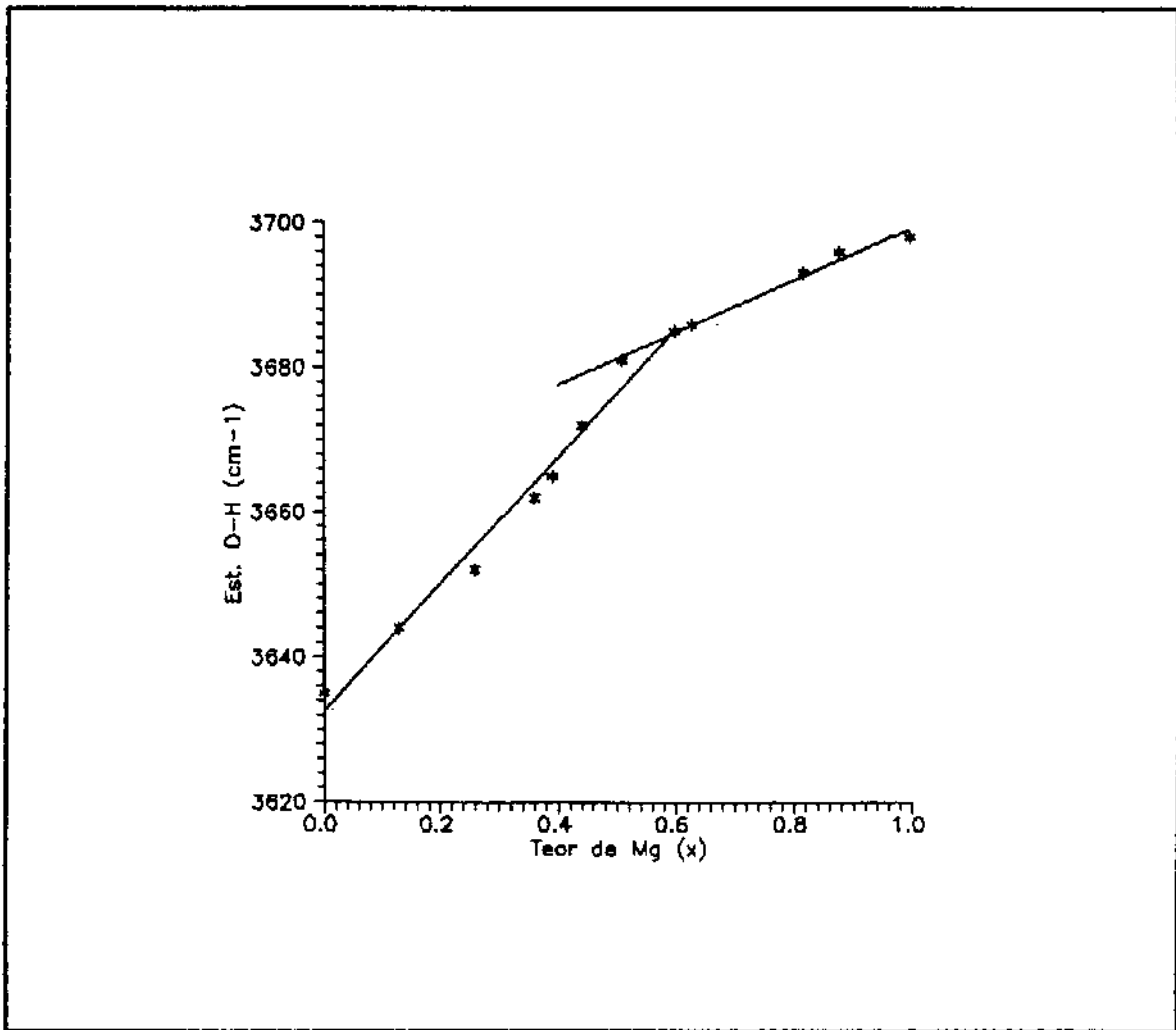


Figura 31 - Gráfico da variação do número de onda do estiramento O-H ( $3700 - 3620 \text{ cm}^{-1}$ ) dos  $\text{Mg}_x\text{Ni}_{1-x}(\text{OH})_2$  em função do teor de Mg

Tabela 20 - Distâncias entre duas camadas de oxigénios  
 $(d_{\text{4}}(\text{O...O}))$  ( $\text{\AA}^\circ$ ) dos  $\text{Mg}_x \text{Ni}_{1-x}(\text{OH})_2$ , lidos a partir do gráfico apresentado na Fig. 24 (b).

| Composto   | $d_{\text{4}}(\text{O...O})$ |
|--|------------------------------|
| $\text{Mg}(\text{OH})_2$                         | 2,671 (Exp.)                 |
| $\text{Mg}_{0,98} \text{Ni}_{0,02}(\text{OH})_2$ | 2,670                        |
| $\text{Mg}_{0,82} \text{Ni}_{0,18}(\text{OH})_2$ | 2,670                        |
| $\text{Mg}_{0,69} \text{Ni}_{0,31}(\text{OH})_2$ | 2,668                        |
| $\text{Mg}_{0,60} \text{Ni}_{0,40}(\text{OH})_2$ | 2,668                        |
| $\text{Mg}_{0,51} \text{Ni}_{0,49}(\text{OH})_2$ | 2,665                        |
| $\text{Mg}_{0,44} \text{Ni}_{0,56}(\text{OH})_2$ | 2,659                        |
| $\text{Mg}_{0,39} \text{Ni}_{0,61}(\text{OH})_2$ | 2,651                        |
| $\text{Mg}_{0,36} \text{Ni}_{0,64}(\text{OH})_2$ | 2,648                        |
| $\text{Mg}_{0,26} \text{Ni}_{0,74}(\text{OH})_2$ | 2,633                        |
| $\text{Mg}_{0,19} \text{Ni}_{0,87}(\text{OH})_2$ | 2,615                        |
| $\text{Ni}(\text{OH})_2$                         | 2,575 (Exp.)                 |

Para a análise das três bandas relacionadas com movimentos de rede, dois de translação e um de rotação, dois aspectos são relevantes: primeiro, para o modo translacional de simetria  $A_{2u}$ , a análise de coordenadas normais dos hidróxidos puros, evidenciaram através dos elementos das matrizes  $L_{cs}^{-1}$  (Tabela 15), a predominância da coordenada cartesiana simetrizada relativa ao movimento do íon metálico ( $CS_{05}$ ); segundo, para os modos rotacional do sítio O-H e translacional dos sítios M, O-H da espécie de simetria  $E_u$ , o deslocamento isotópico H/D das bandas fundamentais dos  $Mg(OH)_2/Mg(OD)_2$  e a análise de coordenadas normais dos  $Mg(OH)_2$  e  $Ni(OH)_2$ , evidenciaram que estes modos estão acoplados entre si. Os espectros na região de vibração externa, dos  $Mg_xNi_{1-x}(OH)_2$  à  $x \cong 0,88, 0,51$  e  $0,13$  são apresentados nas Figuras de 32 a 34 e nas Figuras 35 e 36 os espectros dos  $Mg_xNi_{1-x}(OH)_2$  à  $x \cong 0,51$  e  $0,13$  são comparados com os puros.

Analizando inicialmente as bandas do movimento translacional de simetria  $A_{2u}$ , correspondentes às observadas em  $562\text{ cm}^{-1}$  no  $Mg(OH)_2$  e em  $451\text{ cm}^{-1}$  no  $Ni(OH)_2$ . Nos  $Mg_xNi_{1-x}(OH)_2$  estas bandas, só puderam ser determinadas em soluções sólidas diluídas, tendo em vista que a  $x \cong 0,63, 0,60, 0,51, 0,44, 0,39, 0,36$ . tais bandas estão superpostas às largas que se posicionam em  $549\text{ cm}^{-1}$  no  $Mg(OH)_2$  e em  $451\text{ cm}^{-1}$  no  $Ni(OH)_2$ . O gráfico da variação do número de onda em função do teor de Mg para as bandas determinadas é apresentado na Figura 37, os resultados sugerem uma tendência a um comportamento regular do número de onda com o teor de Mg. Como foi mostrado, as bandas largas que se posicionam em  $549\text{ cm}^{-1}$  no  $Mg(OH)_2$  e em  $451\text{ cm}^{-1}$  no  $Ni(OH)_2$ , atribuídas à espécie de simetria  $E_u$ , foram ajustadas pelo método computacional de deconvolução de bandas experimentais pelo programa FIT (Figuras 12 e 13 e Tabela 9) utilizando componentes adicionais, necessárias para o ajuste da assimetria destas bandas, de forma que, o método computacional, não nos auxiliaria a localizar a posição da banda de simetria  $A_{2u}$ .

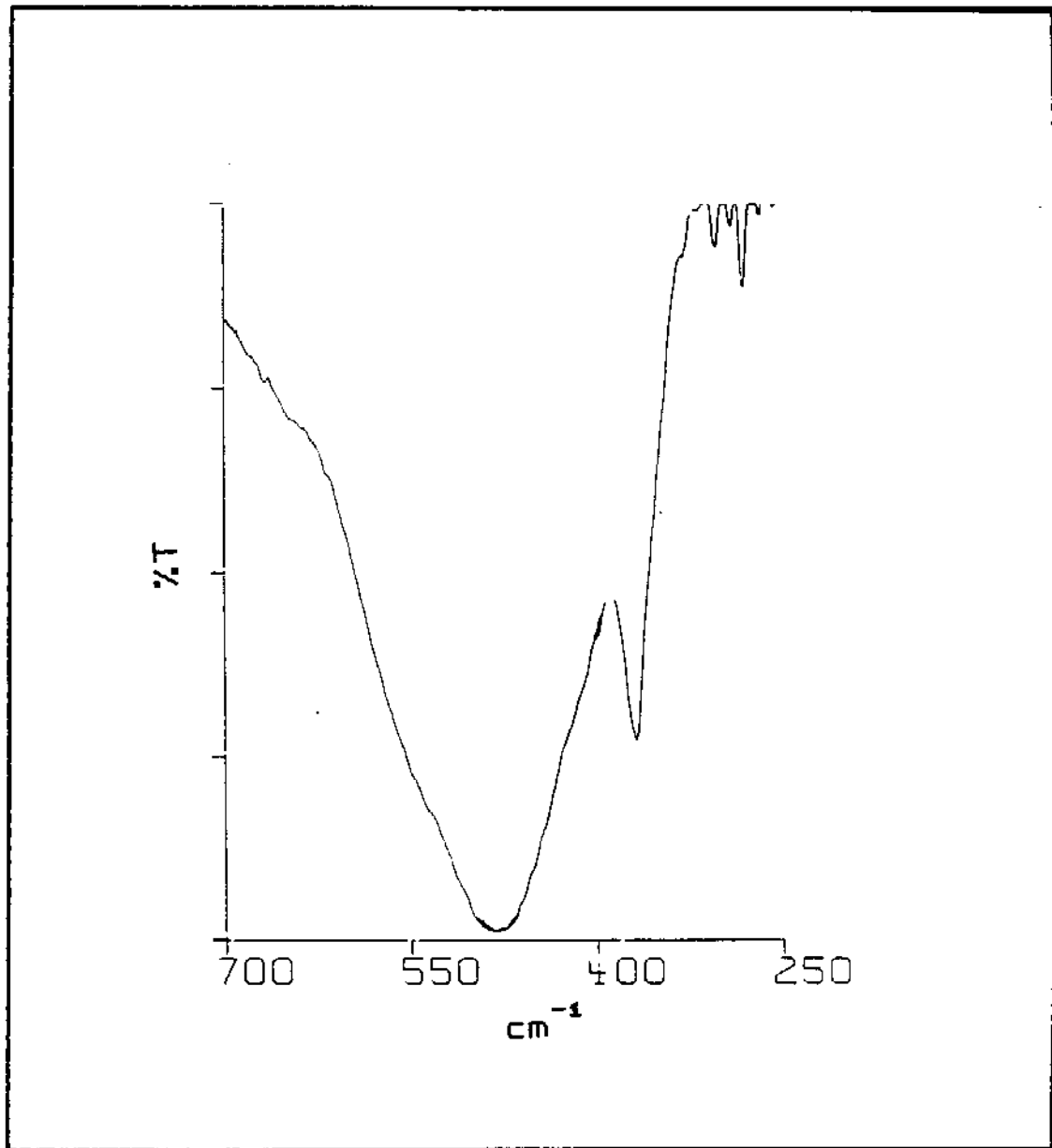


Figura 32 – Espectro no infravermelho (700 – 250 cm<sup>-1</sup>)  
do  $Mg_{0,88}Ni_{0,12}(OH)_2$

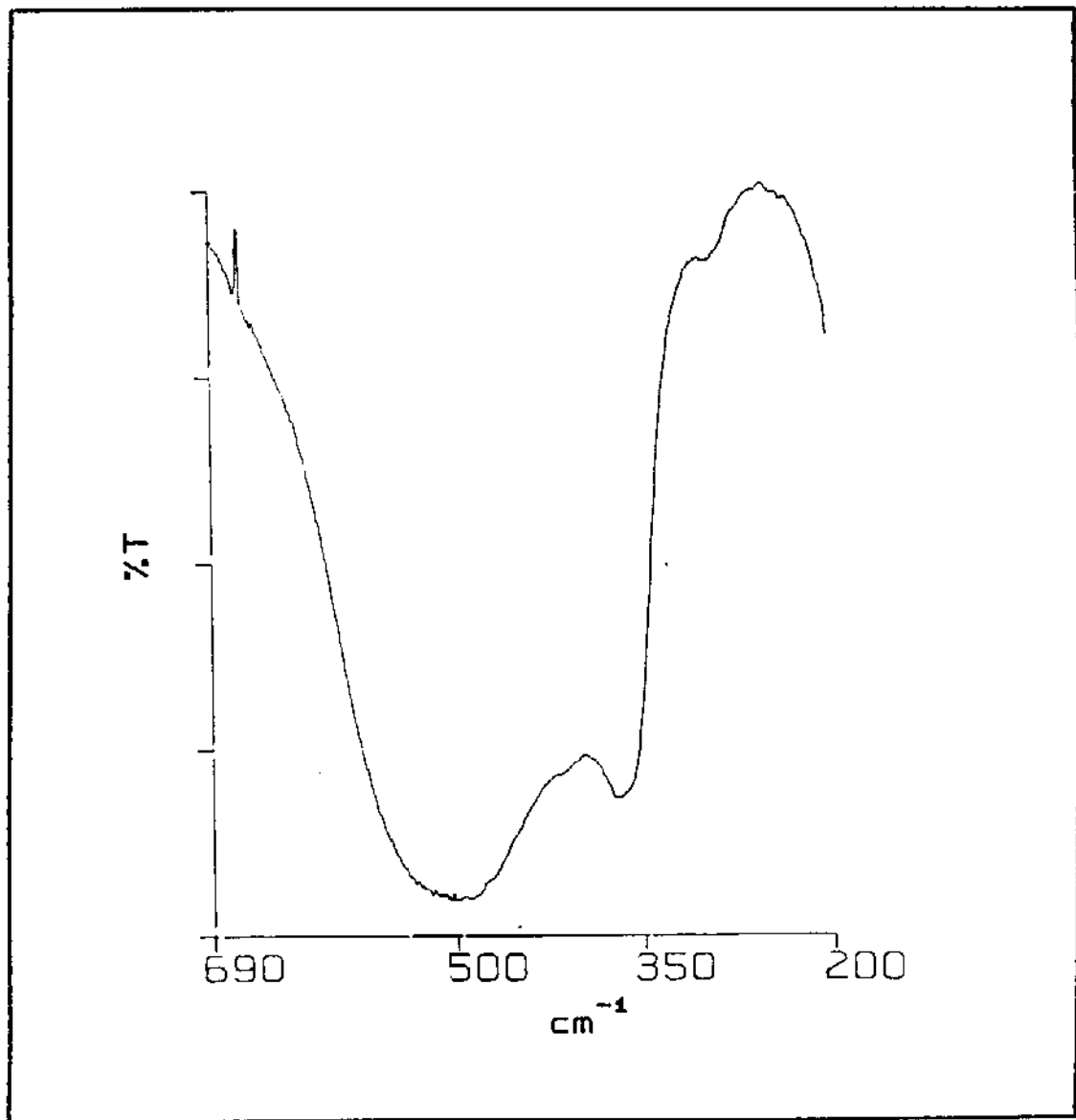


Figura 33 - Espectro no infravermelho (690 - 200  $\text{cm}^{-1}$ )  
do  $\text{Mg}_{0,51}\text{Ni}_{0,49}(\text{OH})_2$

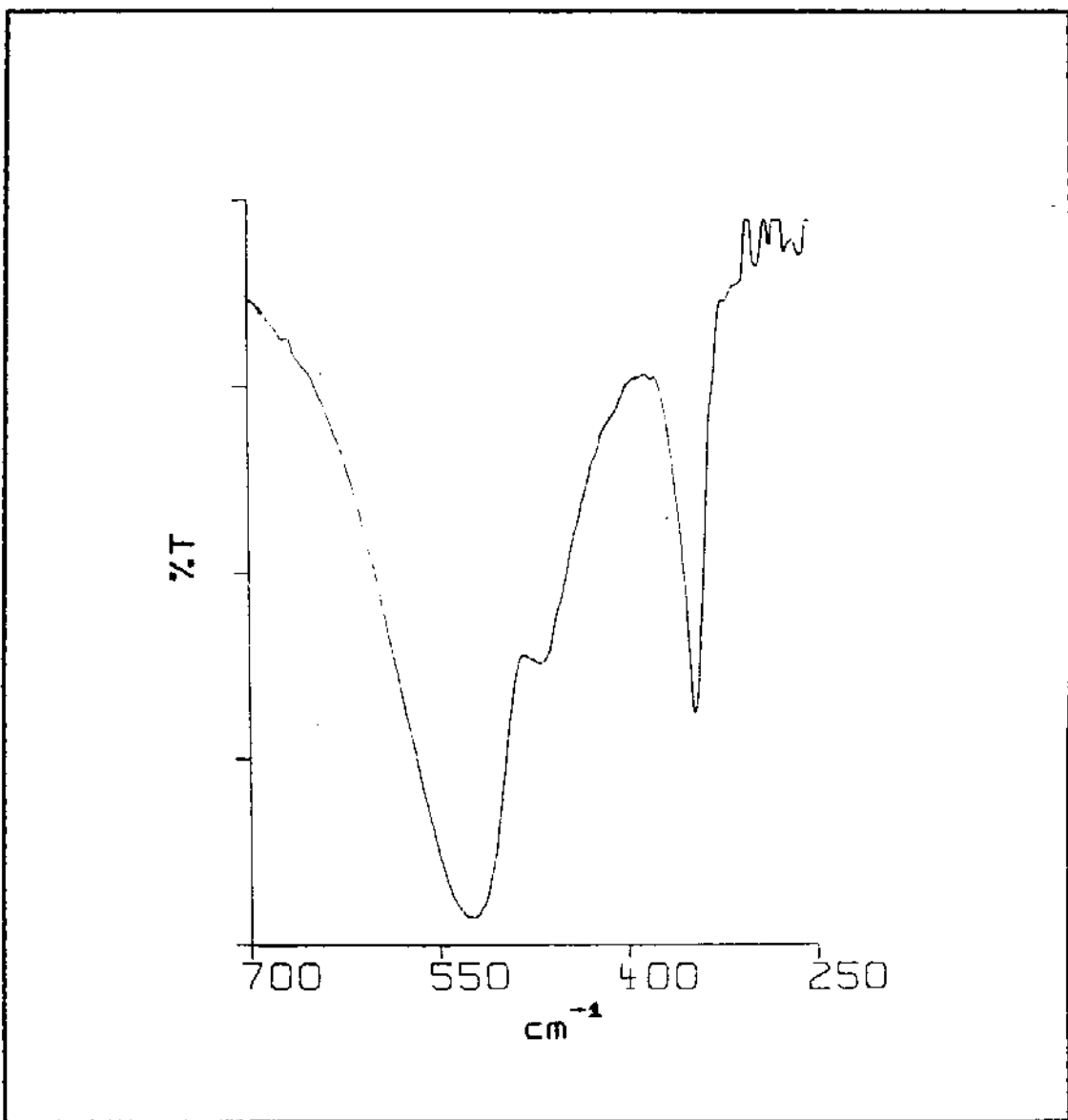


Figura 34 – Espectro no infravermelho (700 – 250  $\text{cm}^{-1}$ )  
do  $\text{Mg}_{0.19}\text{Ni}_{0.87}(\text{OH})_2$

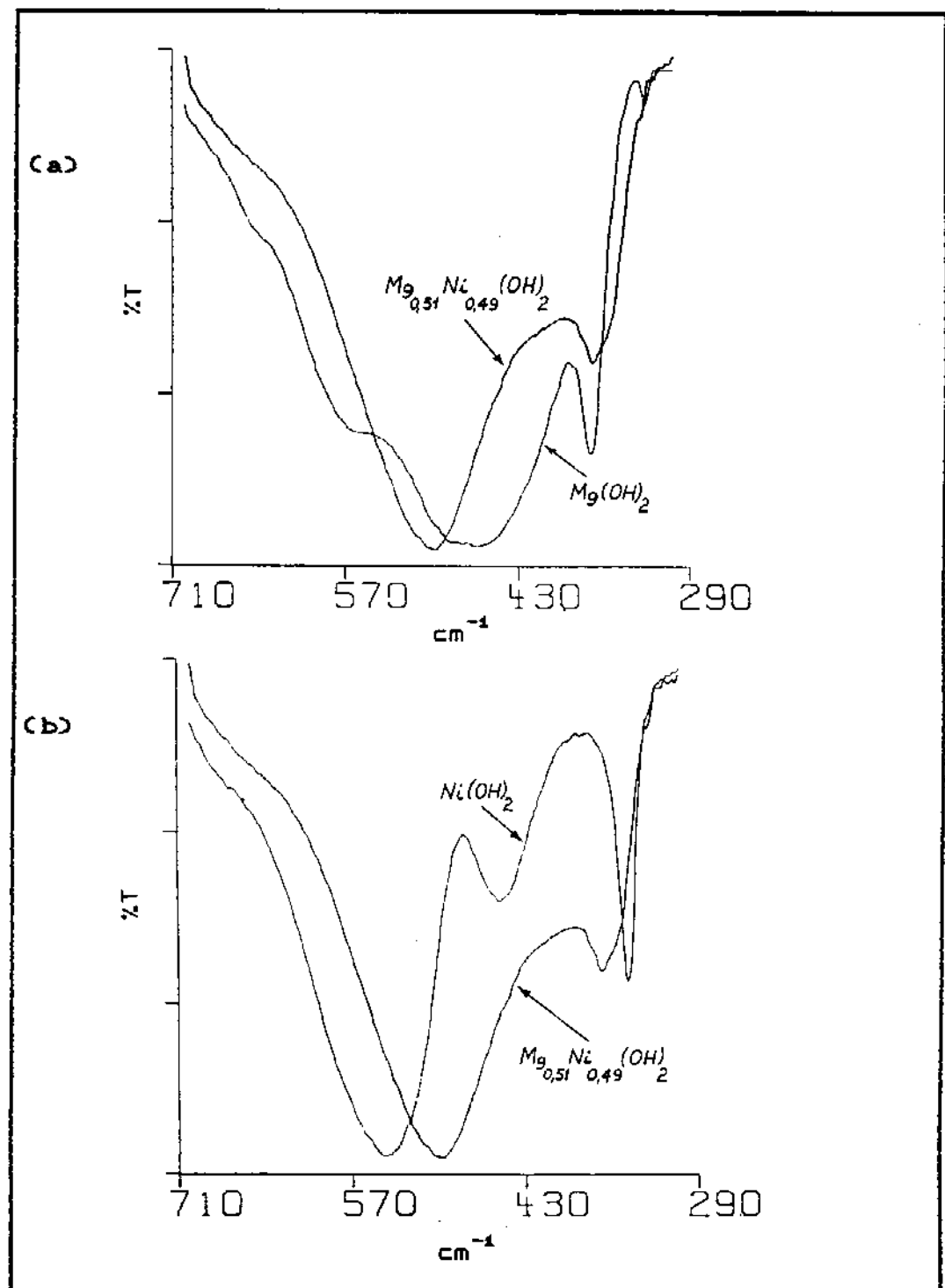
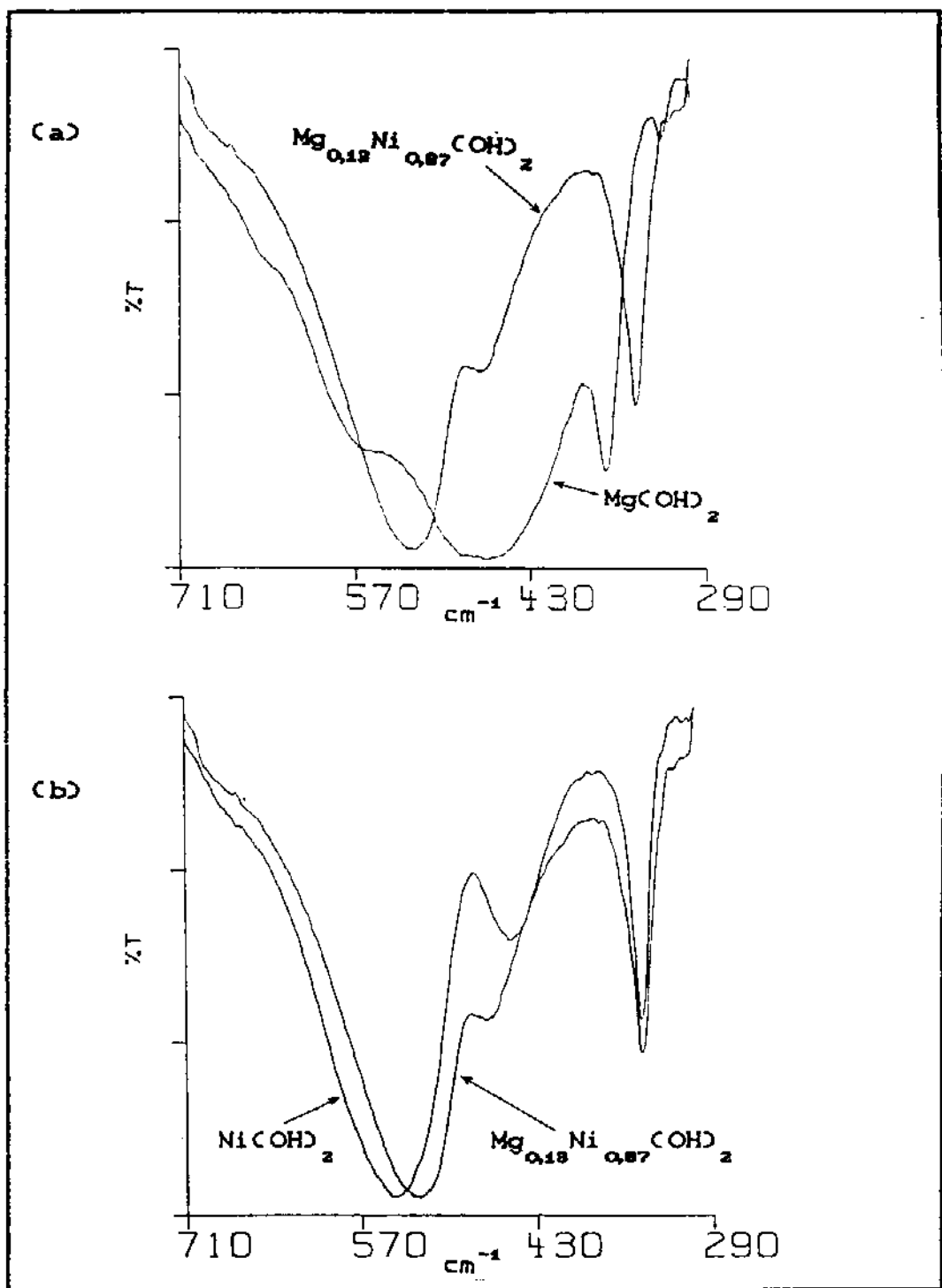


Figura 35 - Espectros no infravermelho (710 - 290 cm<sup>-1</sup>)  
do  $Mg_{0,51}Ni_{0,49}(OH)_2$  comparado com  
(a) -  $Mg(OH)_2$  (b) -  $Ni(OH)_2$



**Figura 36 - Espectros no infravermelho (710 - 290 cm<sup>-1</sup>)**  
**do  $Mg_{0.19}Ni_{0.87}(OH)_2$  comparado com**  
**(a) -  $Mg(OH)_2$  (b) -  $Ni(OH)_2$**

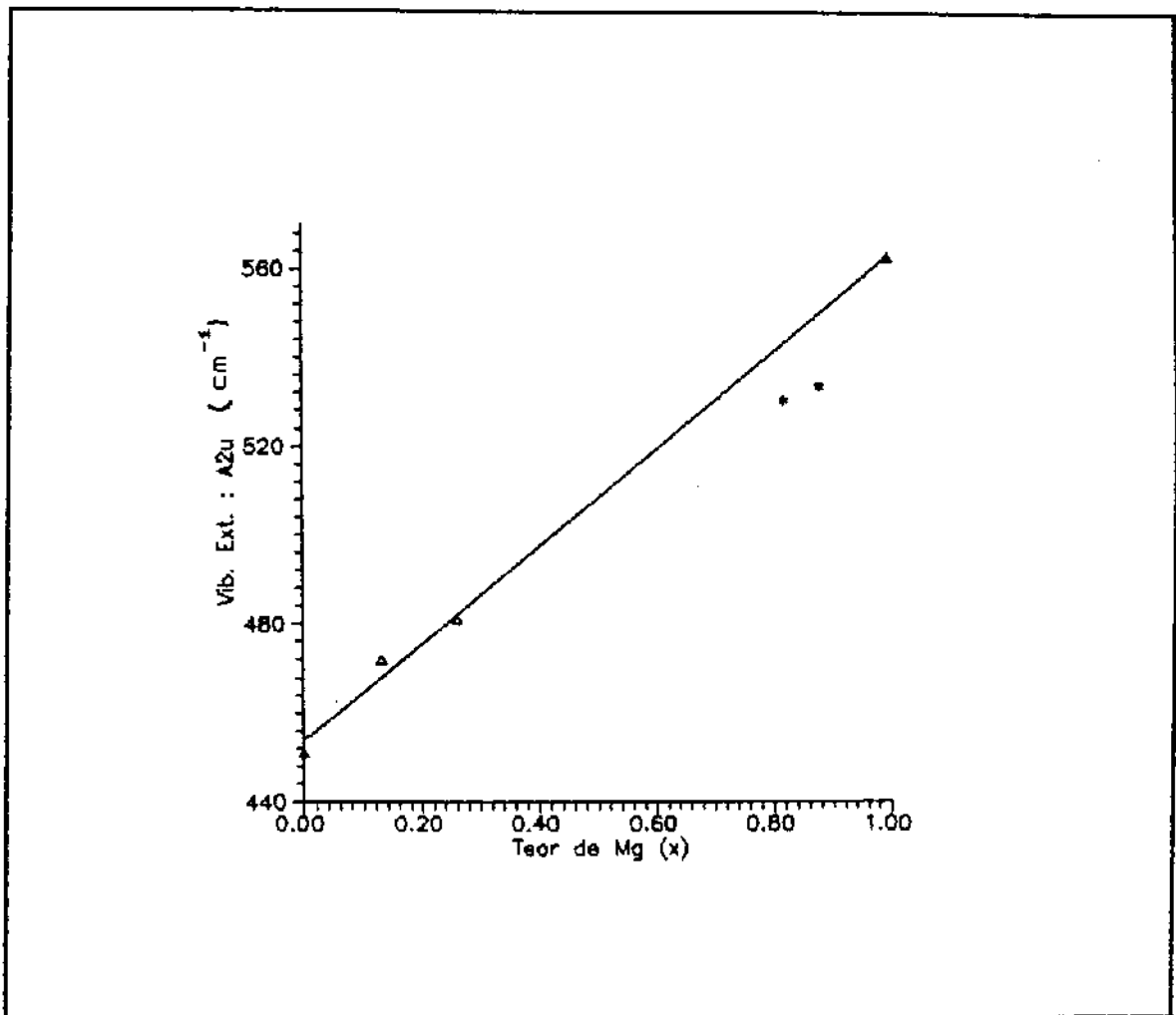


Figura 37 - Gráfico da variação do número de onda ( $570 - 440 \text{ cm}^{-1}$ ) da Vibração Externa ( $A_{2u}$ ) dos  $\text{Mg}_x \text{Ni}_{1-x}(\text{OH})_z$  em função do teor de Mg (x)  
(\*) bandas com incerteza na sua posição.

A banda característica em  $462 \text{ cm}^{-1}$  no  $\text{Mg(OH)}_2$  e  $549 \text{ cm}^{-1}$  no  $\text{Ni(OH)}_2$ , são de simetria  $E_u$  e estão acopladas às observadas em  $368$  e  $348 \text{ cm}^{-1}$ , respectivamente. Na Figura 38 são apresentados os gráficos da variação do número de onda das bandas de simetria  $E_u$  em função do teor de Mg, onde podemos observar que as duas bandas mostram um comportamento bem regular. Analisando as bandas dos  $\text{Mg}_x\text{Ni}_{1-x}\text{(OH)}_2$  correspondentes às observadas em  $462 \text{ cm}^{-1}$  no  $\text{Mg(OH)}_2$  e  $549 \text{ cm}^{-1}$  no  $\text{Ni(OH)}_2$ , verificamos que se posicionam, sempre em números de onda intermediários aos dos hidróxidos puros. Comparando os números de onda das bandas em  $462 \text{ cm}^{-1}$  no  $\text{Mg(OH)}_2$  e  $549 \text{ cm}^{-1}$  no  $\text{Ni(OH)}_2$  com suas correspondentes nos  $\text{Mg}_x\text{Ni}_{1-x}\text{(OH)}_2$ , verificamos que à  $x_{\text{Mg}} \cong 0,51$  observa-se o mesmo deslocamento de  $\cong 44 \text{ cm}^{-1}$  em relação aos hidróxidos puros, à  $x_{\text{Mg}} \cong 0,13$  e  $x_{\text{Ni}} \cong 0,12$  encontram-se deslocadas em relação aos hidróxidos de Mg e Ni, respectivamente, de  $\cong 63 \text{ cm}^{-1}$ ; da mesma forma, à  $x_{\text{Mg}} \cong 0,39$  e  $x_{\text{Ni}} \cong 0,40$  encontram-se deslocadas de  $\cong 52 \text{ cm}^{-1}$  em relação aos hidróxidos de Mg e Ni, respectivamente.

Analizando as bandas dos  $\text{Mg}_x\text{Ni}_{1-x}\text{(OH)}_2$  correspondentes às observadas em  $368$  e  $348 \text{ cm}^{-1}$  no  $\text{Mg(OH)}_2$  e  $\text{Ni(OH)}_2$ , respectivamente, verificamos que em soluções sólidas diluídas o número de onda é muitos próximos dos valores dos hidróxidos puros, atingindo um valor de  $553 \text{ cm}^{-1}$  à  $x_{\text{Mg}} \cong 0,40$ . Esta banda mostra um deslocamento de  $15,5 \text{ cm}^{-1}$  em relação aos  $\text{Mg(OH)}_2$  e  $\text{Ni(OH)}_2$  respectivamente. Por outro lado, a banda observada em  $347 \text{ cm}^{-1}$  no  $\text{Mg}_{0,49}\text{Ni}_{0,07}\text{(OH)}_2$ , posiciona em número de onda mais baixo à observada em  $348 \text{ cm}^{-1}$  no  $\text{Mg(OH)}_2$ , este mesmo comportamento foi verificado na banda correspondente da mistura mecânica  $\text{Mg(OH)}_2 + \text{Ni(OH)}_2$ .

Outro aspecto interessante no comportamento espectral dos  $\text{Mg}_x\text{Ni}_{1-x}\text{(OH)}_2$  é ilustrado na Figura 39 que mostra os espectros de duas soluções sólidas  $\text{Mg}_{0,36}\text{Ni}_{0,64}\text{(OH)}_2$  e de duas  $\text{Mg}_{0,49}\text{Ni}_{0,07}\text{(OH)}_2$ , para cada composto, as duas soluções sólidas foram preparadas separadamente, utilizando as mesmas condições experimentais. Estes resultados são importantes pois mostram a possibilidade de reproduzir os dados experimentais.

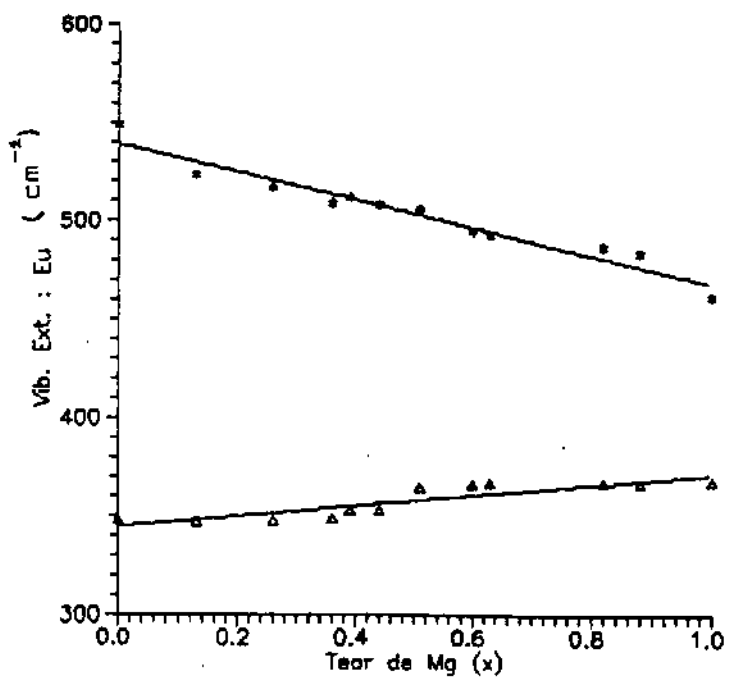


Figura 38 - Gráfico da variação dos números de onda ( $600 - 300 \text{ cm}^{-1}$ ) das Vibrações Externas ( $E_u$ ) dos  $\text{Mg}_x\text{Ni}_{1-x}\text{OH}_2$  em função do teor de Mg (x)

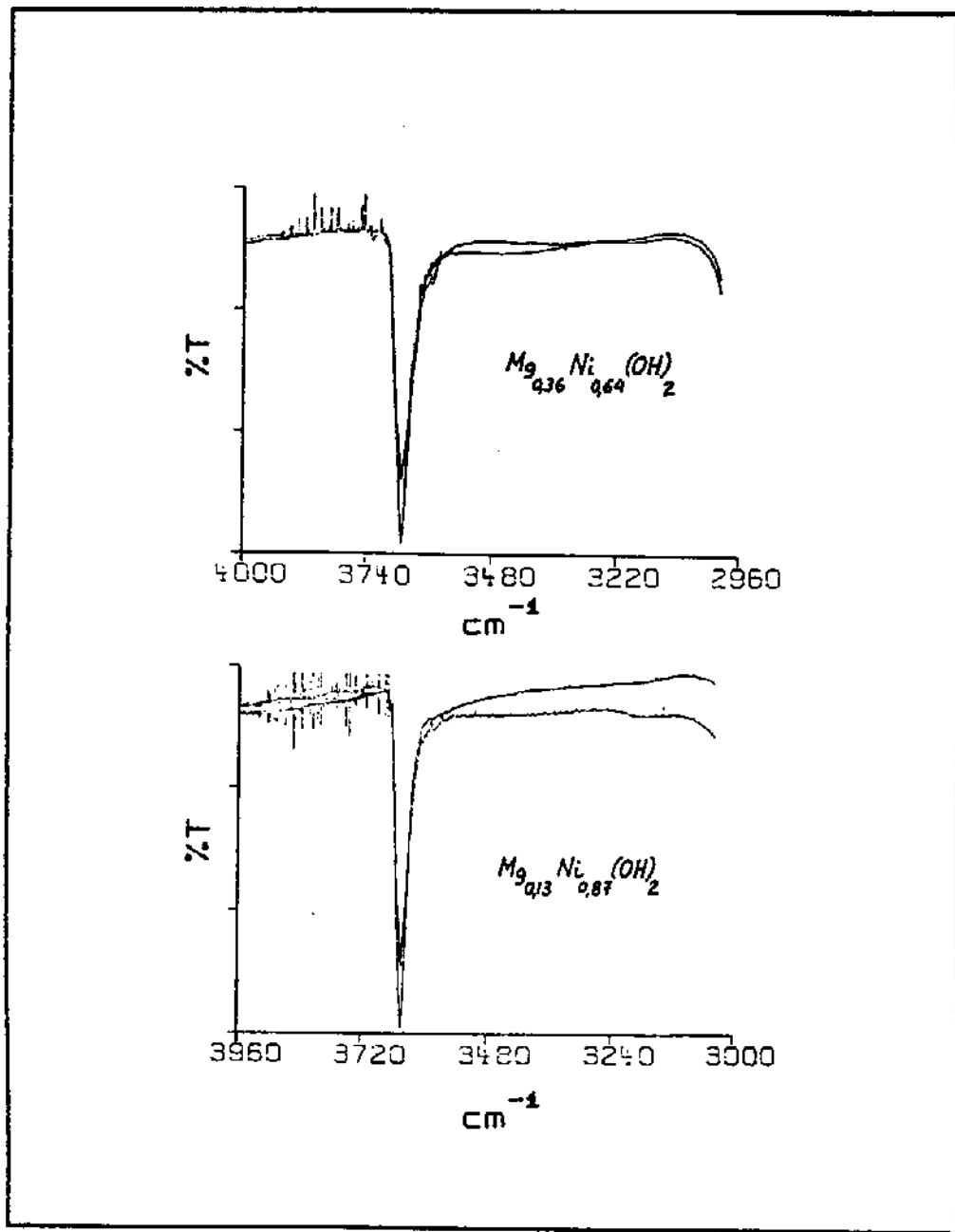


Figura 39 - Espectros no infravermelho do estiramento O-H de duas soluções sólidas  $\text{Mg}_{0.96} \text{Ni}_{0.44} (\text{OH})_2$  e duas  $\text{Mg}_{0.43} \text{Ni}_{0.87} (\text{OH})_2$  mostrando a reproduutibilidade dos dados

- CAPÍTULO V -

CONCLUSÃO E PERSPECTIVAS

Os resultados da análise vibracional dos hidróxidos de magnésio e níquel, aqui apresentados e discutidos quando comparados com os anteriormente descritos na literatura, mostram uma melhoria na interpretação dos dados, tendo em vista que muitos aspectos de controvérsia na análise vibracional desses compostos foram esclarecidos, dentre tais aspectos destaca-se: o entendimento do deslocamento dos números de onda do estiramento O-H nos  $M(OH)_2$  e a diferença entre os números de onda dos estiramentos O-H das espécies  $A_{1g}$  e  $A_{2u}$ , as atribuições e os efeitos de ligação química e de massa das vibrações de rede.

Embora sejam compostos difíceis de sintetizar com alto grau de pureza e sob a forma cristalina hexagonal, o controle das condições experimentais, aliado ao controle de absorção de  $CO_2$  e de oxidação, através de vidraria Schlenk e de linha de vácuo, nos permitiu obter os compostos com alto grau pureza e sob a forma cristalina hexagonal. No que diz respeito aos compostos  $Mg_xNi_{1-x}(OH)_2$  a formação da mistura aquosa dos sais de  $Ni^{++}$  e  $Mg^{++}$  com um alto grau de homogenidade assegurou a formação de soluções sólidas uniformes. Utilizando as mesmas condições experimentais nas sínteses foi possível obter soluções solidas.  $Mg_xNi_{1-x}(OH)_2$  iguais.

No decorrer das discussões dos resultados ficou evidente a importância de investigar o deslocamento da vibração interna no campo de força cristalino através do espectro no infravermelho do  $Mg(OH,D)_2$ . Os cálculos das regras isotópicas H/D aplicada ao  $Mg(OH)_2/Mg(OD)_2$  mostraram, mais uma vez, que a regra isotópica do produto utilizando um modelo harmônico funciona razoavelmente bem para sistemas sólido cristalino. Estes cálculos, também foram importantes nas discussões do acoplamento cinemático dos modos rotacionais e translacionais de simetria  $E_u$ .

No que se refere a análise de coordenadas normais dos  $Mg(OH)_2$  e  $Ni(OH)_2$ , conforme foi discutido como conclusão parcial no capítulo três, o campo de força aplicado, um modelo de ligação covalente ajustou os estiramentos O-H das espécies  $A_{1g}$  e  $A_{2u}$  com dois termos:  $K_1(H-O)$  e  $K_7(H-O/H-O)$ , onde experimentalmente a magnitude da separação entre os números de onda do estiramento O-H  $A_{1g}$  e  $A_{2u}$  indicou que a interação entre os sítios O-H é efetiva. Por outro lado, as vibrações de rede, consistindo de movimentos de sítios iônicos foi necessário no mínimo sete termos para ajustar um campo de força covalente ao representar ligações iônicas.

A interpretação dos dados espectrais das soluções sólidas,  $Mg_xNi_{1-x}(OH)_2$ , ficou vinculada à dos hidróxidos puros. Utilizando os dados da variação do número de onda do estiramento O-H com a distâncias entre duas camadas de oxigénios dos  $M(OH)_2$ , foi possível determinar as distâncias entre duas camadas de oxigénios dos  $Mg_xNi_{1-x}(OH)_2$ . O gráfico da variação do número de onda do estiramento O-H em função do teor de Mg, foi ajustada utilizando duas retas. Por outro lado, as vibrações externas as bandas de simetria  $E_u$  mostram um comportamento regular da variação do numero de onda em função do teor de Mg ( $x$ ) e as de simetria  $A_{2u}$ , os resultados sugerem um comportamento também regular. As bandas de vibração externa podem sofrer efeitos de ligação química e de massa, de forma que, correlações do número de onda com distâncias entre os átomos, raios iônicos e massa do ion metálico dos  $M(OH)_2$  devem ser encorajadas, visando aplicá-las aos  $Mg_xNi_{1-x}(OH)_2$ .

A continuação do trabalho aqui apresentado lança novas perspectivas para o futuro desenvolvimento de uma metodologia de análise vibracional de soluções sólidas. Para isto consideramos importante como prosseguimento deste estudo, as seguintes sugestões de trabalho: análise vibracional de um maior número de hidróxidos metálicos bivalentes como por exemplo o  $Zn(OH)_2$  e  $Cd(OH)_2$ , tendo em vista que uma compreensão mais detalhada dos efeitos de ligação química e de massa nas vibrações de rede serão obtida se mais hidróxidos metálicos bivalentes forem estudados. Estudos de soluções sólidas  $M_x^{II}M'^{II}_{1-x}(OH)_2$  contendo outros metais como por exemplo  $Co_xMg_{1-x}(OH)_2$  e  $Co_xNi_{1-x}(OH)_2$ . Os parâmetros

cristalinos a e c dos  $Mg_xNi_{4-x}(OH)_z$  também merecem ser investigados e comparados com os parâmetros dos hidróxidos puros.

## BIBLIOGRAFIA

- 1 - COOLEY, J. W. & TUKEY, J. W. *Math. Comput.*, 19: 297, 1965.
- 2 - FELLGETT, P. B. *J. Phys. Radium*, 19: 187, 1958.
- 3 - JACQUINOT, P. *17e Congres du GAMS, Paris*, 1954.
- 4 - DENNISON, D. M. *Rev. Mod. Phys.*, 3: 280-285, 1931.
- 5 - WILSON, E. B.; DECIUS, J. C. & CROSS, P. C. *Molecular Vibrations*, McGraw-Hill, New York, 1955.
- 6 - MERLIN, A. & TEICHER, S. *Compt. Rend.*, 236: 1892-1894, 1953.
- 7 - BAGNO, O. & LONGUET, J. E.- *J. Chim. Phys.* 51: 434-438, 1954.
- 8 - LEVINA, S. A. *Doklady Akad. Nauk. Belores. S.S.R.* 4(7): 291-294, 1960. (CA-55:25570a).
- 9 - CHALYI, V. P. *Russ. Inorg. Chem.*, 8(2): 135 - 138, 1963.
- 10 - CHALYI, V. P. & ZORYA, V. T. *Russ. Inorg. Chem.*, 9(11): 1369-1372, 1964.
- 11 - FIGLARZ, M. & BIHAN, S. *C. R. Acad. Sc. Paris*, 270(26C): 2131, 1970.
- FIGLARZ, M. & BIHAN, S. *C. R. Acad. Sc. Paris*, 272(C): 580-583, 1971.
- 12 - SAKASHITA, M. & SATO, N. *Bull. Chem. Soc. Jap.*, 46(7): 1983-1987, 1973.
- 13 - SUONINEN, E.; JUNTUNEN, T.; JUSLEN, H. & PESSA, M. *Acta Chem. Scand.*, 27(6): 2013-2019, 1973. (CA-80:7793w).
- 14 - OSWALD, H. R. & ASPER, R. *Preparation and Crystal Growth of Material with Layered Structures*, Lieth, R. M. A. (ed), 77-140, 1977.
- 15 - SCHOLDER, R. & WEBER, H. *Z. Anorg. Allg. Chem.*, 216: 159, 1933.
- 16 - PAIKINA, L. A.; RAKHOVSKAYA, S. M.; SAL'KOVA, L. I.; VERESHCHAGINA, L. A.; GVOZDYUKOVA, G. B. & ZAKHAROVA, D. K. *Inorg. Mat.*, 17 (10): 1348-1352, 1981.
- 17 - BUCHANAN, R. A.; CASPER, H. H. & MURPHY, J. *J. Appl. Opt.*, 2(11): 1147-1150, 1963.
- 18 - NATA, G. & PASSERINI, L. *Gazz. Chim. Ital.*, 59: 597-619, 1929.
- 19 - PACKTER, A.; & UPPALADINNI, S. C. *Cryst. Res. Technol.*, 19(1): 33-41, 1984. (CA-100:92142g).

- 20 - CHALYI, V. P. & SHOR, O. I. *Sov. Prog. Chem.*, 27: 7-11, 1961.  
21 - HOULLA, M.; TURLIER, P.; BARDET, R. F.; URBAIN, H. &  
TRAMBOUZE, Y. *Ann. Chim.*, 8: 175-180, 1973.  
22 - COBLENTZ, W. W. *The Phys. Rev.*, 20: 252-258, 1905.  
23 - PLYLER, E. K. *The Phys. Rev.*, 28: 284-290, 1926.  
24 - RANDALL, H. M. & NIELSEN, H. H. *Phys. Rev.*, 31: 1131, 1928.  
25 - TA, Y. *Acad. Sc. Compt. Rend.*, 211: 467-468, 1940.  
26 - DUVAL, C. & LECOMTE, J. *Bull. Soc. Franc. Mineral.*, 66:  
284-292, 1943.  
DUVAL, C. & LECOMTE, J. *Bull. Soc. Chim.*, 8: 713-724, 1941.  
27 - LOUISFERT, J. J. *Phys. Radium*, 8(8): 21-28, 1947.  
28 - AMINOFF, G. *Z. Kristallogr.*, 41: 407-431, 1919.  
AMINOFF, G. *Z. Kristallogr.*, 56: 506-509, 1921.  
29 - BERNAL, J. D. & MEGAW, H. D. *Proc. Roy. Soc.*, 151A: 384-420,  
1935.  
30 - MARA, R. T. & SUTHERLAND, G. B. B. M. J. *Opt. Soc. Am.*,  
43(11): 1100-1102, 1953.  
31 - PETCH, H. E. & MEGAW, H. D. J. *Opt. Soc. Am.*, 44(9):  
744-746, 1954.  
32 - ELLEMAN, D. D. & WILLIAMS, D. J. *Chem. Phys.*, 25: 742, 1956.  
33 - BUSING, W. R. & LEVY, H. A. J. *Chem. Phys.*, 26(3): 563-568,  
1957.  
34 - HEXTHER, R. M. & DOWS, D. A. J. *Chem. Phys.*, 25(3): 504-509,  
1956.  
35 - MARA, T. R. & SUTHERLAND, G. B. B. M. J. *Opt. Soc. Am.*, 46:  
464, 1956.  
36 - BUSING, W. R. & MORGAN, H. W. J. *Chem. Phys.*, 28: 998-999,  
1958.  
37 - HEXTHER, R. M. J. *Opt. Soc. Am.*, 48(11): 770-774, 1958.  
38 - BENESI, H. A. J. *Chem. Phys.*, 30: 852, 1959.  
39 - MITRA, S. S. J. *Chem. Phys.*, 39(11): 3031-3033, 1963.  
40 - DEHLER, O. & GUNTHARD, H. H. J. *Chem. Phys.*, 51(11):  
4714-4719, 1969.  
41 - PHILLIPS, B. A. & BUSING, W. R. J. *Phys. Chem.*, 61: 502,  
1957.  
42 - WICKERSHEIM, K. A. J. *Chem. Phys.*, 29: 1197, 1958.  
43 - BUCHANAN, R. A. J. *Chem. Phys.*, 31(4): 870-874, 1959.

- 44 - WICKERSHEIM, K. A. *J. Chem. Phys.*, 31(4): 863-869, 1959.
- 45 - SNYDER, R. G.; KUMAMOTO, J. & IBERS, J. A. *J. Chem. Phys.*, 33(4): 1171-1177, 1960.
- 46 - HEXTOR, R. M., *J. Chem. Phys.*, 34(3): 941-947, 1961.
- 47 - KRISHNAMURTI, D. *Proc. Ind. Acad. Sci.*, 50(A): 223-253, 1959.
- 48 - CABANNES-OTT, C. *Ann. Chim.*, 5: 905-960, 1960.
- 49 - MITRA, S. S. *Sol. Stat. Phys.*, 13: 1-80, 1962.
- 50 - PADANYI, Z. V. *Sol. Stat. Comm.*, 8: 541-543, 1970.
- 51 - DAWSON, P. *J. Raman Spectrosc.*, 1: 359 - 364, 1973.
- 52 - DAWSON, P. *Sol. Stat. Comm.*, 10: 41-43, 1972.
- 53 - DAWSON, P.; HADFIELD, C. D. & WILKISON, G. R. *J. Phys. Chem. Sol.*, 34: 1217-1225, 1973.
- 54 - BHAGAVANTAM, S. & VENKATARAYUDU, T. *Proc. Indian Acad. Sci.*, 9(A): 224, 1939.
- 55 - BHAGAVANTAM, S. & VENKATARAYUDU, T. *Theory of Groups and its Application to Physical Problems*. Andhra University, Waltair, 1962.
- 56 - MITRA, S. S. *Z. Kristal.*, 116: 149-153, 1961.
- 57 - FATELEY, W. G.; DOLLISH, F. R.; McDEVITT, N. T. & BENTLEY, F. F. *Infrared and Raman Selection Rules for Molecular and Lattice Vibrations: The Correlation Method*. Wiley-Interscience, New York, 1972.
- 58 - MINKOVA, N.; KRUSTEVA, M. & NIKOLOV, G. *J. Mol. Struct.*, 115: 23-26, 1984.
- 59 - HOUALLA, M.; PERRICHON, V. & TURLIER, P. *C. R. Acad. Sc. Paris*, 284(c): 1-4, 1977.
- 60 - DEHELER, O. & GUNTHARD, H. H. *J. Chem. Phys.*, 48(5): 2036-2045, 1968.
- 61 - ISHII, M.; SHIMONOUCHI, T. & NAKIRA, M. *Inorg. Chim. Acta*, 1: 387-392, 1967.
- 62 - PAMPUCH, R. & PTAK, W. *Ceramika*, 14: 7-36, 1970.
- 63 - FREUND, F. *Spectrochim. Acta*, 26(A): 195-205, 1970.
- 64 - RYSKIN, Y. I. & STAVITSKAYA, G. P. *Opt. Spectrosc.*, 50(2): 216-217, 1981.
- 65 - LUTZ, H. D.; ECKERS, W. & HAEUSELER, H. *J. Mol. Struct.*, 80: 221-224, 1982.
- 66 - TROKHIMETS, A. I. *J. Appl. Spectrosc.*, 39(3): 1059-1062, 1983.

- 67 - BRINDLEY, G. W. & KAO, C. C. *Phys. Chem. Miner.*, 10: 187-191, 1984.
- 68 - TSYGANENKO, A. A. *J. Struct. Chem.* 16(4): 536-540, 1975
- 69 - KRUGER, M. B.; WILLIAMS, Q. & JEANLOZ, R. *J. Chem. Phys.*, 91(10): 5910-5915, 1989.
- 70 - PAIKINA, L. A.; RAKHOVSKAYA, S. M.; VERESHCHAGINA, L. A.; ZAKHAROVA, O. K. & GVOZDYUKOVA, G. B. *Inorg. Mat.*, 21(1): 56-59, 1985.
- 71 - HARTERT, E. & GLEMSER, O. *Naturwissenschaften*, 40: 199-200, 1953
- 72 - WELLS, A. F. *Structural Inorganic Chemistry*, 3ed., Oxford-London 540-564, 1962.
- 73 - SZYTULA, A.; MURASIK, A. & BALANDA M. *Phys. Stat. sol. (b)*, 43: 125-128, 1971.
- 74 - TURRELL, G. *Infrared and Raman Spectra of Crystals*, Academic Press, London, 1972.
- 75 - DECIUS, J. C. & HEXTHER, R. M. *Molecular Vibrations in Crystals* McGraw-Hill, New York, 1977.
- 76 - HASE, Y. *Analise Vibracional de Alguns sais de Litio Monohidratado Utilizando-se Efeitos Isotopicos*, Campinas, Universidade Estadual de Campinas, (1984) Tese de Livre - Docencia.
- 77 - SHIMANOUCHI, T.; TSUBOI, M. & MIYAZAWA, T. *J. Chem. phys.*, 35: 1597-1612, 1961.
- 78 - HASE, Y. *Programas para Analise de Coordenadas Normais*, Inst. Quim., Universidade Estadual de Campinas, Campinas, Brasil, 1981.
- 79 - YOSHIDA, I. V. P. & HASE, Y. *Spectrosc. Let.*, 12(5):, 409-414, 1979.  
HASE, Y. & YOSHIDA, I. V. P. *J. Mol. Struct.*, 56: 297- 299, 1979.
- 80 - HASE, Y. & YOSHIDA, I. V. P. *Chem. Phys. Let.*, 65(1): 46-49, 1979.
- 81 - HASE, Y. *Spectrosc. Let.*, 20(1): 37-44, 1987.
- 82 - HASE, Y. *Monatshefte fur Chemie*, 119: 425-427, 1988.
- 83 - JONES & PITHA *Band Fit Optimization Program*, Revision 5.2 by JÚLIO C. D.L., Instituto de Química, Universidade de São Paulo, São Paulo, Brasil, 1976.

- 84 - HROSTOWSKI, H. J. & PIMENTEL, G. C. *J. Chem. Phys.*, 19: 661-662, 1951.
- 85 - HIERBERT, G. L. & HORNING, D. F. *J. Chem. Phys.*, 20: 918-919, 1952.
- 86 - JONES, H. L. *J. Chem. Phys.*, 22(2): 217-219, 1954.
- 87 - ERNST, T. *Z. Phys. Chem. (Leipzig)* 20: 65, 1933.
- 88 - NAKAMOTO, K.; MARGOSHES, M. & RUNDLE, R. E. *J. Chem. Soc.*, 77: 6480-6486, 1955.
- 89 - PIMENTEL, G. C. & SEDERHOLM, C. H. *J. Chem. Phys.*, 24: 639, 1956.
- 90 - PIMENTEL, G. C., & McCLELLAN, A. L. *The Hydrogen Bond*, Freeman, San Francisco, 1960.
- 91 - SCHROEDER, R. & LINPPINCOTT, E. R. *J. Chem. Phys.*, 61: 921-928, 1957.
- 92 - LINPPINCOTT, E. R. & SCHROEDER, R. *J. Chem. Phys.* 23(6): 1099-1106, 1955.
- 93 - YAMAMOTO, A.; SHIRO, Y. & MURATA, H. *Bull. Chem. Soc. Jap.*, 48(4): 1102-1106, 1975.
- 94 - NAKAGAWA, I.; TSUCHIDA, A. & SHIMANOUCHI, T. *J. Chem. Phys.*, 47(3): 982-989, 1967.
- 95 - KANESAKA, I.; TSUCHIDA, M. & KAWAI, K. *J. Raman Spectrosc.*, 13(3): 253-256, 1982.
- 96 - SHIMANOUCHI, T. & SUZUKI, I. *J. Chem. Phys.*, 42(1): 296-308, 1965.
- 97 - MATOSSI, F. *J. Chem. Phys.*, 19 (2): 161-163, 1951.
- 98 - CHANG, L. F. & MITRA, S. S. *Adv. Phys.*, 20 (85): 359-404, 1971.  
- CHANG, L. F. & MITRA, S. S. *Phys. Rev.*, 172 (3): 924-933, 1968.
- 99 - RAJU, M. K. *Proc. Ind. Acad. Sci. (A)* 22: 150, 1945.
- 100 - STUBICAN, V. & RUSTUM, R. *Am. Miner.*, 46: 32-51, 1961.
- 101 - VEDDER, W. *Am. Miner.* 49: 736-768, 1964.
- 102 - BURNS, R. G. & STRENS, R. G. *Science*, 153: 890-892, 1966.
- 103 - WILKINS, R. W. T. & ITO, J. *Am. Miner.*, 52: 1649-1661, 1967.
- 104 - BRINDLEY, G. W.; BISH, D. L. & WAN, H.-M. *Am. Miner.* 64: 615-625, 1979.
- 105 - RESHETOV, V. A.; TUGUSHEV, R. E. & BURASHINIKOVA, M. M. *J.*

*Appl. Chem.* 61(12): 2415-2419, 1988.

106 - NATTA, G. & REJNA, A. R. *Acc. Lincei*, 4: 48, 1926.

- APÊNDICE -

PARTICIPAÇÃO EM CONGRESSOS E PUBLICAÇÕES

*Participação em Congressos*

- 9º Encontro Regional de Química - São Carlos SP

Apresentando o Trabalho: Estudo Vibracional Através de FT-IR dos Hidróxidos de Níquel e de Magnésio

Autores: Oliveira E. F. & Hase Y.

Local: Universidade de São Carlos - São Carlos SP

Data: 06 a 08 de Dezembro de 1990

- 14ª Reunião Anual da SBQ

Apresentando o Trabalho: Estudo Vibracional de Soluções Sólidas do Tipo  $Mg_xNi_{1-x}(OH)_2$

Autores: Hase Y. & Oliveira E. F. de

Local: Caxambu - MG

Data: 15 a 18 Maio de 1991

- 15ª Reunião Anual da SBQ

Apresentando o Trabalho: Investigação da Estrutura Cristalina do Sistema  $Mg_xNi_{1-x}(OH)_2$  Baseando-se em Análise de Grupo de Fator

Autores: Hase Y. & Oliveira E. F. de

Local: Caxambu - MG

Data: 27 a 31 Maio de 1992

- 16ª Reunião Anual da SBQ

Apresentando o Trabalho: Análise de Coordenadas Normais dos  $Mg(OH)_2$  e  $Ni(OH)_2$

Autores: Hase Y. & Oliveira E. F. de

Local: Caxambu - MG

Data: 25 a 29 Maio de 1993

- 18<sup>a</sup> Reunião Anual da SBQ

Apresentando o Trabalho: Análise de Coordenadas Normais dos  
 $Mg(OH)_2$  e  $Ni(OH)_2$

Autores: Hase Y. & Oliveira E. F. de

Local: Caxambu - MG

Data: 30 de maio a 02 de Junho de 1995

- 18<sup>a</sup> Reunião Anual da SBQ

Apresentando o Trabalho: Estudo por Espectroscopia Vibracional de Soluções Sólidas  $Mg_x Ni_{1-x} (OH)_2$

Autores: Hase Y. & Oliveira E. F. de

Local: Caxambu - MG

Data: 30 de maio a 02 de Junho de 1995.

*Publicações*

Livros de Resumo

- 14<sup>a</sup> Reunião Anual da Sociedade Brasileira de Química

The Vibrational Study of Solid Solutions  $Mg_x Ni_{1-x} (OH)_2$ . Ester Figueiredo de Oliveira & Yoshiyuki Hase.

The Vibrational spectra of the solid solutions.

$Mg_x Ni_{1-x} (OH)_2$  were investigated in the wavenumber region between 4000-40  $\text{cm}^{-1}$  using the Fourier transform infrared spectroscopy.

The compounds have been prepared by precipitation from aqueous solutions of Mg:Ni rate 1:2, 1:1 and 2:1. The observed infrared spectral data have been analyzed by consideranting the site symmetry  $C_{\text{sv}}$  or its subgroups for the O-H site.

The formation of solid solutions has been confirmed by means of the spectroscopic and X-ray diffraction techniques. (QI-067)

- 15<sup>a</sup> Reunião Anual da Sociedade Brasileira de Química

The Investigation of the Structure of Solid Solutions

$Mg_{0.33}Ni_{0.67}(OH)_2$  Ester Figueiredo de Oliveira & Yoshiyuki Hase

Factor group analysis was applied to understand the observed infrared spectra of the solid solutions

$Mg_{0.33}Ni_{0.67}(OH)_2$ , by considering the possible and simple crystal structure. The observed spectral data of

$Mg_{0.33}Ni_{0.67}(OH)_2$  (1Mg:2Ni) showed only one large band in the region O-H stretching. The width of the band indicates the possibility of existing of overlapping componentes.

The results of the factor groups analysis carried out for some simple  $D_{3d}^4$  and  $C_{2h}^1$  structure showed two and six bands, respectively. (FQ-070)

- 16<sup>a</sup> Reunião Anual da Sociedade Brasileira de Química.

Normal Coordinate Analysis of the Optically Active Vibrational Mode of Nickel and Magnesium Hydroxide. Ester Figueiredo de Oliveira & Yoshiyuki Hase.

The vibracional analysis of the optically active vibrations of  $Mg(OH)_2$  and  $Ni(OH)_2$ , have been studied by means of their infrared spectra. The wavenumbers were calculated by applications of the Wilson GF matrix method developed for single crystal Shimanouchi et al (*J. Chem. Phys.* 35: 1597-1612, 1961).

The calculated wavernumbers show a tendency for agreement with the observed wavernumbers. By calculating the eigenvect of the  $G_{op}^{cs}$  matrix, it is show that  $E_u$  rotational lattice modes couple with translation ones. The M-O interaction force constants 0,70 md/ $\text{Å}^2$  ( $Mg(OH)_2$ ) and 1,11 md/ $\text{Å}^2$  ( $Ni(OH)_2$ ) lead to conclusion that the M-O interaction in the  $M(OH)_2$  crystal have been more ionic than covalent character. (FQ-045)

- 18<sup>a</sup> Reunião Anual da Sociedade Brasileira de Química.  
Normal Coordinate of the Optically Active Vibrational of  
of Mg(OH)<sub>2</sub> and Ni(OH)<sub>2</sub>. Ester Fiqueiredo de Oliveira &  
Yoshiyuki Hase.

The vibracional analysis of the optically-active internal and lattice vibrations for Mg(OH)<sub>2</sub> and Ni(OH)<sub>2</sub>, have been studied by Raman and infrared spectroscopies.

The results show that the calculated wavenumbers is in better agreement with the fundamental observed when corrected for anharmonicity ( $K_{O-D} = 1,026K_{O-H}$ ). *J. Chem. Phys.* 42(1): 296-308, 1965). The interaction between the sites is effective and the metallic ion do not contribute to the internal vibrational.

- 18<sup>a</sup> Reunião Anual da Sociedade Brasileira de Química.  
Vibrational Study of Solid Solutions - Mg<sub>x</sub>Ni<sub>1-x</sub>(OH)<sub>2</sub>.  
Ester Fiqueiredo de Oliveira & Yoshiyuki Hase.

The observed spectral data of Mg<sub>x</sub>Ni<sub>1-x</sub>(OH)<sub>2</sub> showed only one large band in the region O-H stretching. The band shifts between M(OH)<sub>2</sub> were interpreted by considering bond chemistry nature. The graph of the variation of wavenumber O-H stretching with a distance between layer oxygen of the M(OH)<sub>2</sub> has been used to get some empiric role applied in the Mg<sub>x</sub>Ni<sub>1-x</sub>(OH)<sub>2</sub>. (QI-683/2)